

ՀՅԱԿԱԿԱՆ ՍՈՒ ԳԻՏԱԴՐՅԱԼԽԵՐԻ ԱԿԱԴԵՄԻԱ

ԳԵՐԱՊՐԻՎԱԿԱՆ ԳԻՏԱԴՐՅԱԼԽԵՐԻ ԲՆԱՏԵՏՈՒՏ

Ա. Ե. ՔՈԶՈՐՅԱՆ

ՂԱՓԱՆԻ ՊՂՆՁԻ ՀԱՆՔՎԱՅՐԻ
ԿՈՄՍՈՄՈԼԻ ՀԱՆՔԸ

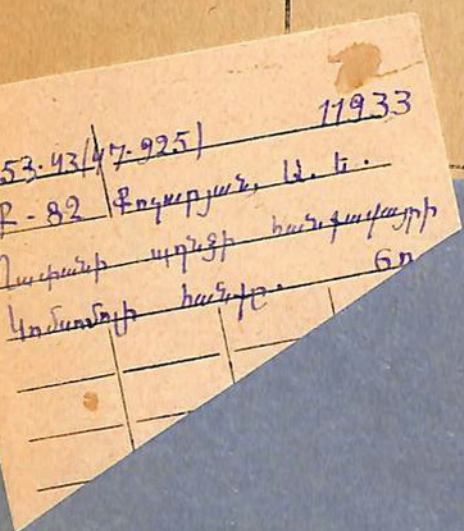


ՀՅԱԿԱԿԱՆ ՍՈՒ ԳՈ. ՀՐԱՄԱՐԱԿՁՈՒԹՅՈՒՆ

ԵՐԵՎԱՆ

1948

КНИГА ДОЛЖНА БЫТЬ
ВОЗВРАЩЕНА НЕ ПОЗДНЕ
УКАЗАННОГО ЗДЕСЬ СРОКА



ՀԱՅԿԱԿԱՆ ՍՍՌ ԳԻՏՈՒԹՅՈՒՆՆԵՐԻ ԱԿԱԴԵՄԻԱ

ԳԵՂԱՔԻԱԿԱՆ ԳԻՏՈՒԹՅՈՒՆՆԵՐԻ ԻՆՍՏԻՏՈՒՏ

553.43(47.825)

Ձ - 82

ԱՏՈՒԳՎԱՆ Է 1961 թ.

Ա. Ե. ՔՈՉԱՐՅԱՆ

ՂԱՓԱՆԻ ՊՂՆՁԻ ՀԱՆՔԱՅՐԻ
ԿՈՄՍՈՄՈԼԻ ՀԱՆՔԸ



ՀԱՅԿԱԿԱՆ ՍՍՌ ԳԱ ՀՐԱՄԱՐԱԿՁՈՒԹՅՈՒՆ

ԵՐԵՎԱՆ

1948

Պատ. Խմբագիր՝ Ա. Տ. ԱՍԼԱՆՅԱՆ

A —
15608

А. Е. КОЧАРЯН

КОМСОМОЛЬСКИЙ РУДНИК
КАФАНСКОГО МЕСТОРОЖДЕНИЯ МЕДИ

Изд. АН Арм. ССР, Ереван, 1948 г.
(На армянском языке)

ՀԵՂԻՆԱԿԻ ԿՈՂՄԻՑ

Շատ գժվարին ու պատախանառու գործ է գրել որևէ մի լուրջ աշխատություն այնպիսի հանքավայրի կամ նրա հանքերի մասին, որպիսին է Ղափանի հանքավայրը, որը բազմից այցելվել ու նկարագրվել է մի ամբողջ շարք հետազոտողների կողմից և որի մասին գրվել են մենագրություններ ու տասնյակ աշխատություններ: Չնայած դրան, հեղինակը հիմնվելով 1942—43 թ. թ. Հայկական ՍՍՌ ԳԱ Գեոլոգիական Գիտությունների ինստիտուտի արշավախմբի կազմում իր կատարած հետազոտությունների վրա, սույն աշխատությունում փորձում է հանքագումարի բերել այն ամենը, ինչ գոյություն ունի այդ հանքավայրի և նրա Կոմսոմոլի հանքի մասին և տալ իր նոր դրույթները: Այդ նպատակի համար ուսումնասիրման է ենթարկվել Կոմսոմոլի հանքը, կազմվել է նրա ջրակայքի մանրամասն գեղուգիական-լիթոլոգիական քարտեզը և նկարագրվել հանքի 50-ից ավելի հանքային երակները: Միաժամանակ օգտագործվել են արշավախմբի այն նյութերը, որոնք այս կամ այն շափով լույս են սփռել ընդհանրապես Ղափանի հանքավայրի գեղուգիական կառուցվածքի և սորովայրացն ու գենեգիսի հարցերի վրա:

Ղափանի պղնձի հանքավայրի մասին գրված բազմաթիվ աշխատություններից ամենամեծածավալն ու վերջիններից մեկը դա Վ. Ն. Կոտլյարի և Ա. Լ. Դողինի (14) մենագրությունն է, որն ամփոփել է մինչև 1934—35 թ. թ. եղած նյութերը: Սակայն հանքի գործունեության հաջորդ տասնամյակը նշանավորվել է նրա բուռն, մինչև այդ շտեսնաված ծաղկմամբ: Այդ ժամանակամիջոցում կուտակվել է հսկայական և շափազանց հետաքրքիր վաստական նյութ, որը հնարավորություն է տալիս նախորդ հետազոտողների:

կողմից առաջադրված հիմնական դրույթների մեջ մտցնել որոշ կարևոր լրացումներ ու արժատական փոփոխություններ:

Ներկա աշխատության նպատակը կայանում է այդ ամբողջ նոր նյութի վերլուծման և գիտական ընդհանրացման մեջ, որը հնարավորություն կտար հանքում հետագա հետախուզական և շահագործման աշխատանքներին հաղորդել նպատակասլացություն:

Քննարկվող հանքի ուսումնասիրություններին մասնակցել են նաև գեղողներ Թ. Հ. Արևշատյանը և Ս. Ա. Բուրիկյանը: Աշխատությունը գրելու ժամանակ օգտագործվել են Ջափանի հանքավայրի նախորդ հետազոտողների մեքենատիպ ու տպագիր նյութերը:

Աշխատանքի ընթացքում իրենց արժեքավոր խորհուրդներով՝ լուրջ օգնություն են ցույց տվել գեղողիական-միներալոգիական գիտությունների թեկնածուներ՝ Յու. Ա. Արապովը (արշավախմբի պետ) և Հ. Գ. Մաղաքյանը, որոնց հայտնում եմ իմ խորին երախտագիտությունը:

I. Ն Ա Խ Ա Բ Ա Ն

Դափանի, մոտ մեկ դար շահագործվող այդ հանրածանոթ հանքավայրը գտնվում է Հայկական ՍՍՌ հարավ-հարավ-արևելյան մասում, Դափանի շրջանում և տեղադրված է Ողջի գետի միջին հոսանքի ու նրա ձախ վտակ Խալաջի միջև (գծ. 1), իսկ քննարկման առարկա հանդիսացող Կոմսոմոլի հանքը տեղադրված է Դափան քաղաքից Յ կմ դեպի հյուսիս, Կավարտ գետակի վերին հոսանքում:

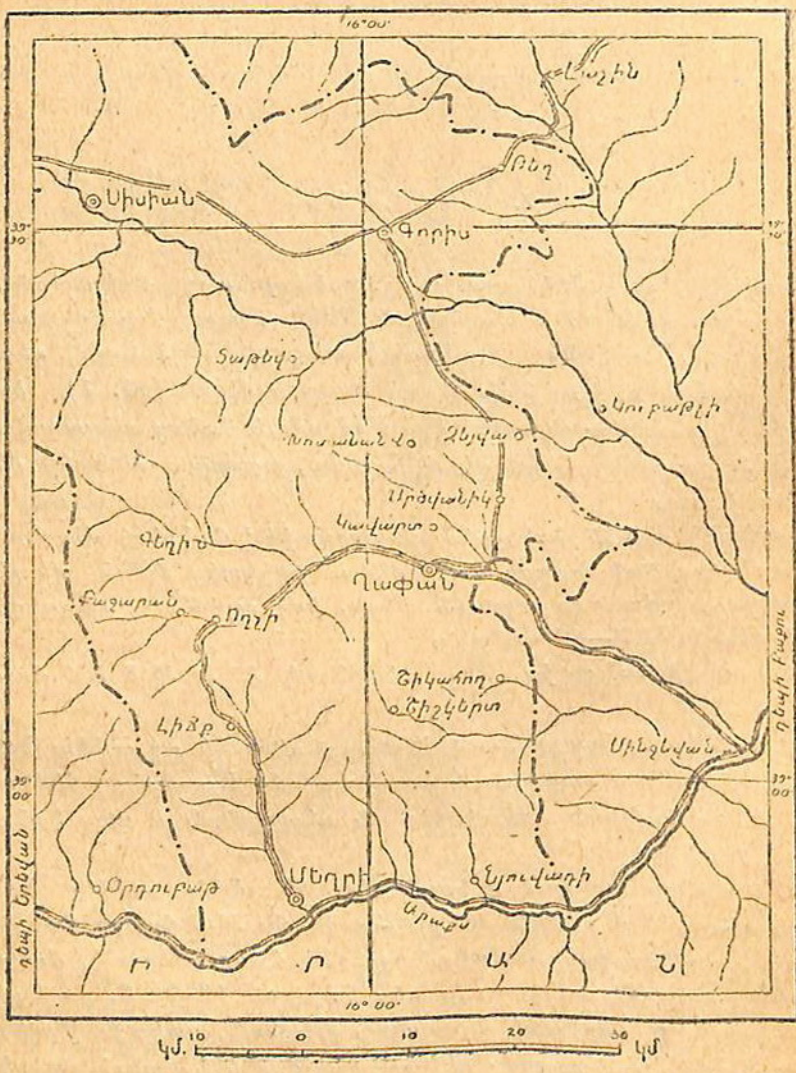
Դափանի պղնձի հանքավայրի բազմաթիվ հանքերի մեջ Կոմսոմոլի հանքը հանքաքարի հանույթի տեսակետից մինչև վերջին տարիներս զրավում էր առաջին տեղը, իսկ այժմ այդ տեղը զիշում է միայն № 7—10/ հանքին:

Կոմսոմոլի հանքն իր մեջ միացնում է № № 5 և 6 հանքերը:

№ 5 հանքը տեղադրված է Կավարտ գետակի աջ ափին: Նրա մուտքն ունի 970 մ բացարձակ քարձրություն: Այս հանքը հիմնադրվել է դեռ նախքան Հոկտեմբերյան ռեռուցիան և վերականդարվել է 1925 թ.:

№ 6 հանքը գտնվում է նույն գետակի ձախ ափին: Նրա մուտքն ունի 962 մ բացարձակ քարձրություն: № 6 հանքը հանդիսանում է սովորական ժամանակաշրջանի հանք: Ծիշտ է, հանքարդյունաբերող Մ. Կոմսոմոլով դեռ նախքան 1905 թ. բացել է այս հանքի ± 0 հորիզոնի հիմնական շտոլնան, սակայն վերջինս նպատակ ուներ շահագործել «Բեյովկ» կոչվող հին հանքի ստորին հորիզոնները, ինչպես նաև հեռացնել այնտեղ կոստակվող ջրերը:

№ 6 հանքի հիշատակվող շտոլնան վերականգնվել է 1925 թվին:



Ֆ. 1. Հայկական ԱՍՏ հաբակ-տըկելսան մասի շրջահայման քարտեզը

Կոմսոմոլի հանքից հանված հանքաբարի ճիշտ քանակը դրժմ վար է որոշել, քանի որ № 5 հանքի շահագործման սկիզբը մեղ տանում է դեպի նպաստելուցիոն ժամանակաշրջանը:

Կոմսոմոլի հանքում մինչև այժմ հայտաբերվել է ավելի քան 50, իրենց արդյունաբերական նշանակությամբ ծայր աստիճան անհամարժեք հանքային երակներ, որոնցից ամենափոքրերը տվել են ընդամենը մի քանի տասնյակ, իսկ մեծերը՝ տասնյակ հազար տոննա հանքաբար: Բավական է ասել, որ հանքի երակներից 5-ը տվել են հանված հանքաբարի ընդհանուր քանակի 63,45 տոկոսը, իսկ միայն № 29 երակը տվել է հանքի ամբողջ հանուլթի մոտ 25 տոկոսը: Այդ գիգանտ երակը կարող է դիտվել որպես մի ամբողջ հանքավայր:

№ 5 հանքը բաղկացած է 6 հորիզոններից՝ +0,— 12,—24,—34,—45 և —60 սահեն: Բացի դրանցից հանքից 60 մ ցած տեղադրված «Կապիտալ շտոլնան» կարելի է համարել նրա սուրբին երրորդ հորիզոնը: № 5 հանքը — 24 հորիզոնի փորվածքների միջոցով միանում է № 3, իսկ —60 հորիզոնի միջոցով № 6 հանքի հետ:

№ 5 հանքում հայտաբերվել է 7 երակ, որոնցից արդյունաբերական արժեք ունեցել են միայն № 1 և 4 երակները և շահագործմել:

№ 6 հանքը հանդիսանում է Ջափանի պղնձկոմբինատի ամենախոշոր հանքերից մեկը, իսկ մինչև 1943—44 թ. թ.՝ նրա ամենահզոր հանքը: Հանքի վերին շրու հորիզոններն իրար հետ միացած են ուղղաձիգ կույր հանքահորով էլեկտրական վերամբարձ սարքավորմամբ հանդերձ և բավականաշատ բարեկարգ սանդուղքային մուտքով: № 6 հանքը սանդուղքներով միացված է նաև «Կապիտալ շտոլնայի» հետ:

Կապիտալ շտոլնան միացնում է Լենինյան խմբի բոլոր հանքերը և բացի շահագործման ու հետախուզական նպատակներ իրագործելուց, հանդիսանում է այդ հանքերից հանվող ամբողջ հանքաբարի փոխադրման հիմնական ուղին: Հանքաբարը էլեկտրաբարձերով տեղափոխվում է հարստացուցիչ ֆաբրիկան:

Անհրաժեշտ է նշել, որ երակների հետախուզման հիմնական

շրջանումը եղել է ու մնում է այսպիս կոչվող կվերշլադային սիստեմը: Կոմսոմոլի հանքի երակների համարյա զուգահեռ դասավորությունը այդ սիստեմը դարձնում է շափաղանց էֆեկտիվ և ամենահարմարը հանվող հանքաքարի փոխադրման տեսակետից:

Ներկայումս հիմնական աշխատանքները կենտրոնացված են № 6 հանքի ստորին հորիզոններում (գլխավորապիս կապիտալ շորովագի հորիզոնում), իսկ վերին հորիզոններում (-70 և -100) հանվում են որոշ երակների առանձին մասերը միայն:

II. ԿՈՄՍՈՄՈԼԻ ՀԱՆՔԻ ՏԵՂԱՄԱՍԻ ԳԵՈՂՈԳԻԱԿԱՆ ԿԱՌՈՒՅՑՎԱԾՔԸ

Կոմսոմոլի հանքն իր գեոլոգիական կառուցվածքով անխղեւիորեն կապված է Շափանի հանքավայրի ողջ հանքաղաշտի հետ, այդ իսկ պատճառով այս փոքր ինչ նեղ վերնադրի տակ համառոտ կերպով տրվում է նաև վերջինիս գեոլոգիական կառուցվածքն ու ստրոկուրան:

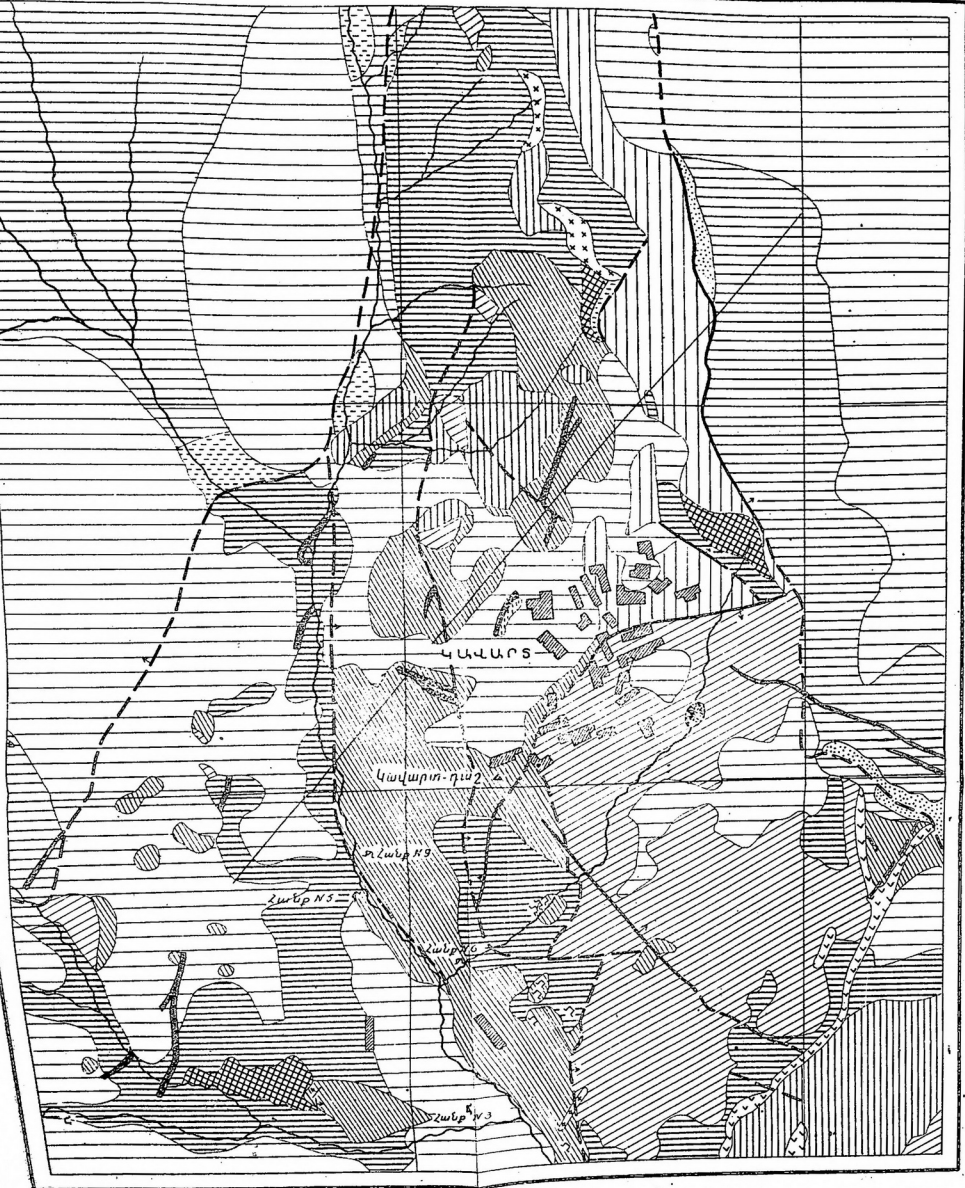
Շափանի հանքաղաշտը գրավում է մոտ 20—25 քառ. կմ. տարածություն: Նա կազմված է հիմնականում յուրայի հասակի հրաբխածին-նստվածքային ապառներով՝ պլագիոկլազային և քվարցային պորֆիրիտներով, նրանց տուփերով ու տուփորբեկչիաներով, տուփոկոնգլումերատներով ու տուփուալվազաքարերով:

Վերը թվարկած ապառներից քվարցային և պլագիոկլազային պորֆիրիտները և ավելի պակաս չափով նրանց տուփորբեկչիաները հանքաղաշտում ունեն ամենալայն տարածումը: Շափանի հանքավայրի երակներն առավելապես տեղադրված են այդ ապառների մեջ:

Շափանի հանքավայրը հարում է վերոհիշյալ ապառներով կազմված այսպիս կոչվող Ռզի-Խոտաննայի անտիկլինային ծալքի միջուկին:

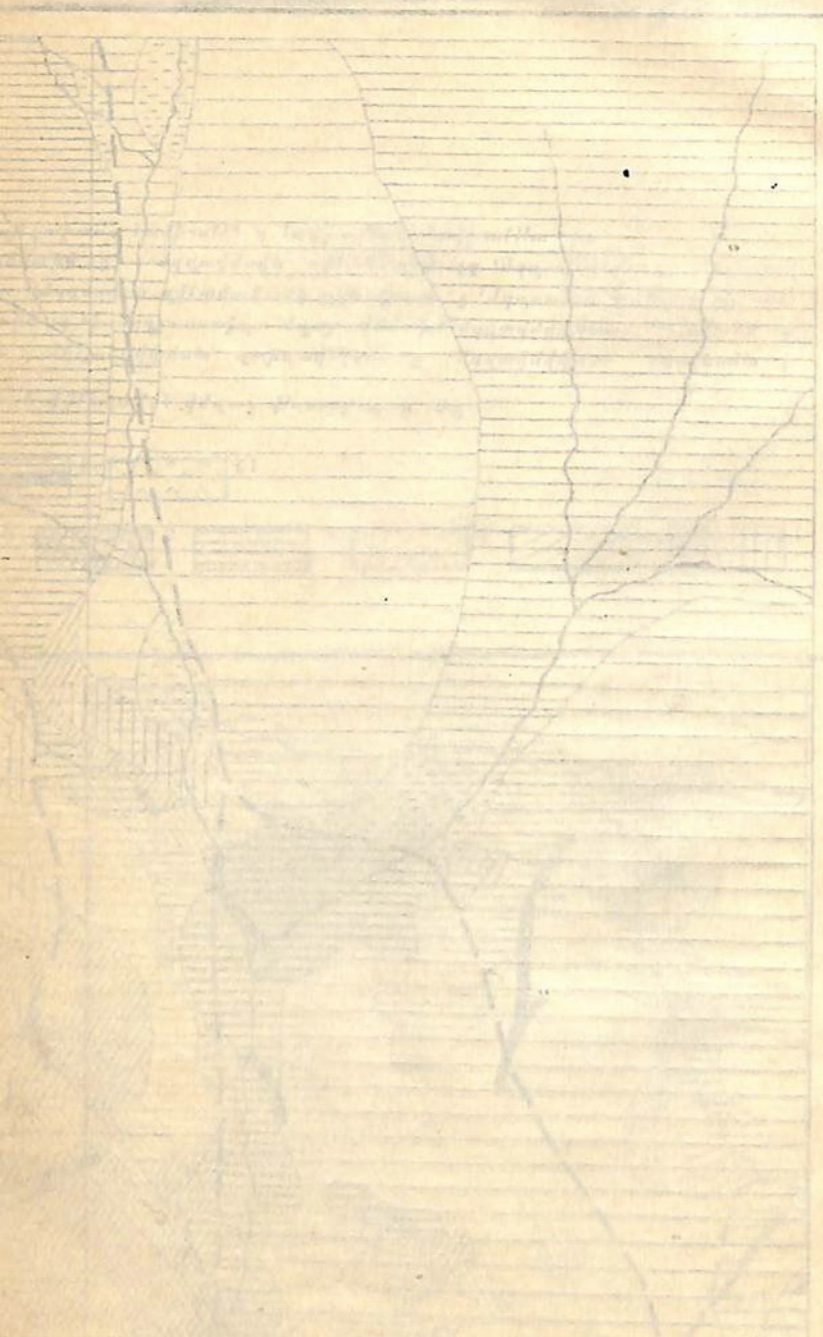
Ա. ՍՏՐԱՏԻԳՐԱՖԻԱ ԵՎ ԼԻԹՈԼՈԳԻԱ

Համաձայն Վ. Ն. Կոտլյարի և Ա. Լ. Դոդինի (14), Շափանի հանքաղաշտը կազմով հրաբխածին ապառները ստորաբաժանվում են երեք հիմնական հաստվածքի:



Գ. 2. Կոմոմալի հանքի շրջակաւորի գործական-լիթոլոգիական սխեմատիկ քարտեզը.

1. պաղիուկ, պորֆիրիտներ, 2. ըրեկահանման պորֆիրիտներ և պաղիուկ, պորֆիրիտների տուֆորեհիլյաններ, 3. տուֆիք և տուֆիտներ, 4. վելացոցակի պորֆիրիտների թվաքանակը մասն մէջասանելեանք, 5. բարձրացած պորֆիրիտների տուֆորեհիլյաններ, 6. հրդաքանակակի պորֆիրիտներ, 7. տափակն կրաքարակին պատճեններ անդամանական, 8. կողոքանակներ տուֆորեհիլյաններ, 9. խոշոքանակներ տուֆորեհիլյաններ, 10. գորիքիներ, 11. թվացոցակին դիբրիներ, 12. թվացոցակին ալբունոֆիրներ, 13. զիարացներ և զիարազալին պորֆիրիտներ, 14. ալբունութափ, գելուսներ և էլուսներ նոսպանցներ, 15. տեկտոնական գծեր՝ նեսամուգված և ենթադրվող.



I. Ստորին, հաճախ էպիդոտացված, հիմնականում պլազմիոլազային պորֆիրիտների հաստվածք, տուֆերի և տուֆորֆեկչիաների ենթաշերտերով։ Դրա հաստությունն անցնում է 500 մ. հասակը ենթազրաբար որոշված է որպես ստորին յուրա։

Ստորին պորֆիրիտները դեպի վեր աստիճանաբար, առանց տեսանելի ընդմիջման փոխվում են երկրորդ հաստվածքի ապառներով։

II. Քվարցային պորֆիրիտների հաստվածք. ընդգրկում է իր մեջ քվարցային ու մասամբ անքվարց պորֆիրիտները, նրանց տուֆերն ու տուֆորֆեկչիաները։ Այս հաստվածքի ապառների հաստությունը տատանվում է 150 և 300 մ. ահմաններում. ըստ հասակի վերաբրվում է ստորին յուրայի վերին հորիզոններին։

Այս հաստվածքը տրանսգրեսիվ կերպով, փոքր անկյունային աններդաշնակությամբ ծածկվում է երրորդ հաստվածքի ապառներով։

III. Տուֆոպորֆիրիտացին ապառների հաստվածք տուֆովագաբրերի և կրաքարերի փոքր շերտախմբերով։ Երրորդ հաստվածքի հաստությունը հանքադաշտի սահմաններում հասնում է մոտ 900 մ. հասակը ենթազրաբար որոշված է որպես միջին յուրա։

Պահանի պղնձի հանքայնացումը տեղայնացված է գլխավորապես 2-րդ հաստվածքի սահմաններում, իսկ ինչ մնում է վերին, 3-րդ հաստվածքի հանքադաշտի ձևավորման մեջ խաղացած դերին, ապա այն Վ. Ն. Կոտլյարի, Ա. Լ. Դոդինի և ուրիշների կարծիքով հանդում է հիպոռիթերմալ հանքաբեր լուծույթների էմլրանակորման։

Վ. Ն. Կոտլյարը և Ա. Լ. Դոդինը (14) ենթադրում են, որ էկզրանավորմանը նպաստել է այսպես կոչվող կավարտի վերներվածքը և տուֆովագաբրերի և տուֆոկոնվլումներատների մի բարակ շերտի (1—3 մ) առկայությունը այդ հաստվածքի ներքնակողում։

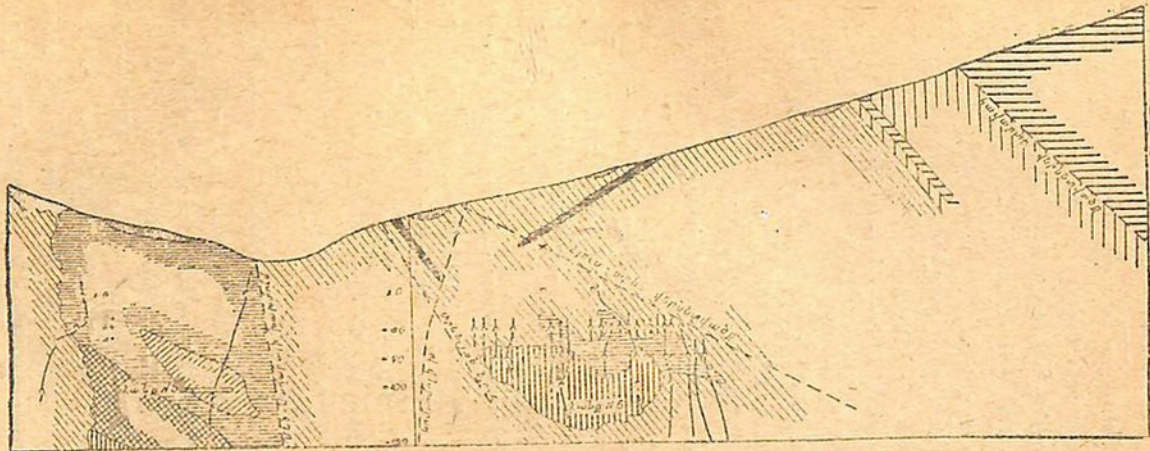
Անհրաժեշտ է նշել, որ իսկապես հանքաբեր լուծույթների տեղայնացնումը կատարվել է բացառապես երկրորդ հաստվածքում։ Սակայն երրորդ, միջին յուրայի հասակի հաստվածքին անմիջապես հարող ոչ մի, բիշ թե շատ նշանակալից հանքամարմին չի արձանագրված։

Հանքարեր լուծույթները կամ էկրանավորութել են մինչ հանքացին խախտումներով միջին յուրայի հաստվածքից զդալի հեռավորության վրա, կամ ճանապարհին իրենց համարյա ողջ մետաղական բեռը թափելով սուլֆիդներից աղքատացել են այն տատիճան, որ առաջացրել են պիրիտի ու խալկոպիրիտի ցան և հանքանյութից զուրկ կալցիտի ու քվարցի երակներ, որոնք շատ բնորոշ են ստորին յուրայի հանքարեր հաստվածքի առաստաղամերձ մասերի համար: Այսպիսով, միջին յուրայի հաստվածքին նման դեր վերագրելու փորձը, ըստ մեզ, զուրկ է որևէ հիմքից:

Անտարակույս, այն գեպքում, եթե հանքարեր լուծույթները հասնեին միջին յուրայի հաստվածքին, նրանք կանգ կառնեին և նրա ներքնակողում կտային հանքանյութերի զգալի կուտակումներ: Բացի յուրայի վերը թվարկված ապառներից հանքադաշտում սահմանակալ տարածության վրա հանդիպում են նաև չորրորդական հասակի ալլյուվիալ, գելյուվիալ ու էլյուվիալ նստվածքներ, ինչպես նաև անդեղիտ-բազալտային լավաներ: Վերջիններս տարածված են միայն Խալաջ գետի ավագանում:

Վերջապես հանքադաշտի յուրայի հասակի վերը նշված հաստվածքները ճեղքվել ու ներարկվել են հրային ապառներով, ներկայացված բլարցային գիորիտներով, դոլերիտներով, քվարցային պորֆիրներով, քվարցային ալբիտոֆիրներով, դիաբազներով ու դիաբազային պորֆիրիտներով: Հրային ապառները հանքադաշտում հանդես են գալիս վորք զանգվածների ձևով, իսկ դիաբազներն ու դիաբազային պորֆիրիտները սովորաբար առաջացրել են զանազան շափերի դեյլեր:

Անցնելով Ռափանի հանքավայրի շրջանի ապառների նկարագրությանը, անհրաժեշտ է վերապահություն անել, որ այստեղ ամենամեծ ուշադրություն դարձվում է Կոմսոմոլի հանքի կառուցվածքում անմիջապես մասնակցող ապառներին, ընդորում վերը բերված կտրվածքի I և II հաստվածքները միացվում ու նկարագրվում են որպես մի միասնական, ստորին յուրայի հասակի հաստվածք (գծ. 2):



1 2 3 4 5 6 7 8 9

ԳՃ. 3. Կոմսոմոլի հանքի տեղամասի գեոլոգիական կարվածքը.

1. պորֆիրիտական պորֆիրիտական բանք, 2. պլազմակաղապարի պորֆիրիտական բանք, 3. բվարցային պորֆիրիտական բանք, 4. բվարցային պորֆիրիտական բանք, 5. հիդրօթերմալ ամբաղջապահ փոփոխված տպաներ, 6. տուֆոզին կրաքարային տպաների սերիա, 7. խոշորաբեկոր տուֆորին կչեաներ, 8. ղիաքաղներ և ղիաքաղային պորֆիրիտներ, 9. ալյուվիալ

ղելլուվիալ և էլյուվիալ նայվածքներ:

1. Քվարցային պորֆիրիտներ բվարցի խոշոր անջատումներով. շատ լայն տարածված են հանքավայրի հարավ-արևելյան մասում, ինչպես նաև Բարձրաթռում գյուղի շրջանում: Դրանք պարունակում են տուֆորեկլիաների ու տուֆոկոնդլոմերատների առանձին ենթաշերտեր:

Քվարցային պորֆիրիտները ներկայացված են մասսիվ և բրեկչիանման տարբերակներով, որոնց միջև քիչ թե շատ որոշակի սահման չկա և նրանք աստիճանական անցումներով փոխանցվում են իրար: Քվարցային պորֆիրիտների մեջ փոքր քանակությամբ հանդիպում են նույն պորֆիրիտների տուֆորեկլիաներ ու տուֆոկոնդլոմերատներ:

Քվարցային պորֆիրիտները վերագրվում են 2-րդ հրաբխածին հաստվածքի ստորին հորիզոններին: Դրանց հաստությունը դըմար է որոշել:

Նկարագրվող պորֆիրիտներն իրենց մեջ հանքանյութերի ոչ մի, քիչ թե շատ նշանակալից կուտակում չեն պարունակում և հանքաբեր շերտախմբից անջատվում են Կավարտասուի վերնետվածքի սիստեմի խախտումներով:

Այս ապառների ամենաբնորոշ առանձնահատկությունը հանդիսանում է քվարցի բավական լավ դարդացած դիպիրամիդային բյուրեղների առկայությունը, որոնց մեծությունը կողի երկարությամբ տատանվում է միլիմետրի մասերից մինչև 4—5 սմ: Բացի դա, ապառում հանդիպում են 2—3 սմ մեծության հասնող քարքարված ամֆիբոլի պրիզմայաձև հատիկներ ու դաշտային զպաթի մանր պորֆիրային անջատումներ:

Միկրոսկոպի տակ ապառն ունի պորֆիրային ստրոկտորա: Պորֆիրային ցաները, որոնք կազմում են ապառի 10—20 տոկոսը, ներկայացված են թթու պլագիոկլազով՝ ալբիտով, մասամբ քվարցով և քորիտի պսևդոմորֆոզներով ըստ Հորնբլենդի:

Հիմնային զանգվածը իրենից ներկայացնում է միկրոլիտային մի ագրեգատ, բաղկացած քլորիտի թեփուկներից, դաշտային շպաթից և հանքային միներալների հատիկներից: Երկրորդական միներալներից ապառում հանդիպում են կարբոնատ, քլորիտ, հանքային միներալ, հաղվագեպ, սերիցիտ և քվարց:

Հստ իրենց պետրոգրաֆիական կազմության քվարցային տուֆոբեկչիաները, տուֆոկոնգլոմերատներն ու տուֆերը շատ են տարրերվում վերը նկարագրված ապառից:

2. Պլազմիոկլազային պորֆիրիտները հանքադաշտում շատ լայն տարածություն են գրավում: Հանքավայրի արևելյան մասում դրանք ծածկում են քվարցային պորֆիրիտներին և սփռվում բրեկչիանման պորֆիրիտների ու քվարցի մանր անջատումներ պարունակող քվարցային պորֆիրիտների տակ:

Պլազմիոկլազային պորֆիրիտները կազմում են նաև Սայադդաշի արևմտյան լանջը, որտեղ նրանք ծածկվում են տուֆոբեկչիաներով և բրեկչիանման պորֆիրիտներով: Վերջապես հանքավայրի հարավային մասում պլազմիոկլազային պորֆիրիտները տեղադրված են տուֆոբեկչիաների վրա և իրենց հերթին ծածկված են բրեկչիանման պորֆիրիտներով: Այստեղ պլազմիոկլազային պորֆիրիտները պարունակում են շերտավոր տուֆիտների բավականաշափ հաստ շերտախումբ:

Պլազմիոկլազային պորֆիրիտները ներկայացված են մոխրագույն-կանաչավուն, գորշ-կանաչավուն, գորշ-դեղնագույն և մոխրագույն տարրերակներով:

Պլազմիոկլազային պորֆիրիտները արտակարգ խոշոր դեր են կատարում Շափանի հանքադաշտի լիթոլոգիայում առհասարակ, Կոմսոմոլի հանքում մասնավորապես: Դրանք կազմում են 2-րդ հրաբխածին հաստվածքի ստորին հորիզոնները:

Պլազմիոկլազային պորֆիրիտները Կոմսոմոլի հանքում առանց տեսանելի ընդմիջման դեպի վեր փոխարինվում են քվարցային պորֆիրիտներով: Ամբողջ հանքում ոչ մի տեղ չ' հաջողվել նկատել քիչ թե շատ որոշակի սահման քվարցային և պլազմիոկլազային պորֆիրիտների միջև: Դա բացատրվում է նրանով, որ այդ երկու ապառների հիդրոթերմերի աղղեցությամբ խիստ փոխվածությունը քողարկում է նրանց տարրերությունը և հաճախ քվարցի պորֆիրային ցաների քանակը քվարցային պորֆիրներում այնքան աննշան է, իսկ հատիկներն այն աստիճան փոքր (մնականակ մասեր), որ հնարավոր չէ տեղում տարրերել այդ ապառները: Բացի սկզբնական քվարցի ներկայությունից այդ ապառները ճանաչելու ոչ մի ուրիշ հատկանիշ չկա և նրանց սահմանագծումը կատարվում է միայն միկրոսկոպի օգնությամբ,

№ 6 հանքի վերին հորիզոններում ($+0, -40$) պլագիոկլատ գայլին պորֆիրիտները բացակայում են, իսկ ստորին հորիզոններում ($-70, -100$) դրանք կազմում են այդտեղ տարածված ապառների մոտ 45 տոկոսը: Էլ ավելի ցած, Կապիտալ շտոլնայի հորիզոնում պլագիոկլատային պորֆիրիտներն արդեն տիրապետող դիրք են գրավում:

Այսպիսով, № 6 հանքի -40 և -60 հորիզոնների միջև գոյություն ունեցող 120 մ հատվածը հանդիսանում է քվարցային ու պլագիոկլատային պորֆիրիտների փոխադարձ շերտընդհշման տեղամաս: -100 հորիզոնից ցած գերակշռում են պլագիոկլատային, իսկ -40 հորիզոնից վեր՝ քվարցային պորֆիրիտներն ու նրանց հաշվին առաջացած հիդրօթերմերով ամբողջապես փոփոխված ապառներով:

Պլագիոկլատային պորֆիրիտների գիրքը տարածության մեջ պարզորոշ կերպով երևում է հորիզոնների այստեղ զետեղված հատակագծերից ու ուղաձիգ կտրվածքներից:

№ 5 հանքում պլագիոկլատային պորֆիրիտները էական նշանակություն են ձեռք բերում ավելի վերին հորիզոններում ($-20, -34$ սաժ.), որտեղ նրանք առաջացնում են առանձին մեկուսացած ելքեր:

Պլագիոկլատային պորֆիրիտների հաստությունը Կոմսոմոլի հանքի սահմաններում հասնում է մոտավորապես $75-100$ մ:

Անհրաժեշտ է նշել, որ պլագիոկլատային պորֆիրիտների ամրությունը սերտորեն կապված է հիդրօթերմերով նրանց փոփոխվածության աստիճանի ու բնույթի հետ: Այն դեպքերում, եթե քվարցացումը գերազանցում է սերիցիտացումից ու քլորիտացումից ապառը դառնում է ավելի ամուր և հակառակը:

Միկրոսկոպի տակ սովորաբար շատ լավ է արտահայտված ապառի պորֆիրային ստրոմատորան: Պլագիոկլազի պորֆիրային ցաները կազմում են ապառի $15-20$ տոկոսը, նրանց մեծությունը հասնում է $0,5-1,0$ մմ (ընդլայնական կտրվածքում), ձեռք մեծ մասամբ անկանոն է, երբեմն կլոր, որոշ դեպքերում նկատվում են երկրորդական միներալների՝ սերիցիտի, քլորիտի և կարբոնատի պակասություններ ըստ պլագիոկլազի:

Ապառը հիմնականում կազմված է հետեւյալ երկրորդական

Ճիներազներից՝ սերիցիտ, քլորիտ, կարրոնատ, հանքային միներալ և քվարց:

3. Քվարցային պորֆիրիտներ քվարցի մանր անջատումներով: Այս ապառը հափանի հանքագաղտում հանդես է գալիս առանձին տեղամասերով, որոնք ցուց են տրված գեոլոգիական-լիթոլոգիական քարտեզով (գծ. 2):

Քվարցային պորֆիրիտները համաձայն իրենց գրաված ստրատիգրաֆիական դիրքի պետք է վերագրվեն 2-րդ հրաբխածին հաստվածքի վերին հորիզոններին, քանի որ նրանք ծածկում են վերը նկարագրած պլագիոկլազային պորֆիրիտներին: № 6 հանքի սահմաններում պլագիոկլազային պորֆիրիտները ակներևաբար ծածկվում են քվարցային պորֆիրիտներով: Իսկ վերշիններս դեպի վեր ֆացիալ կերպով փոխվում են բրեկչիանման պորֆիրիտներով ու նրանց տուֆորբեկչիաններով:

Քվարցային և պլագիոկլազային պորֆիրիտների փոխհարաբերությունը բացահայտ կերպով երևում է նաև «Բաննից» առվակի շրջանում: Այդտեղ, ինչպես նաև № 6 հանքում, քվարցային պորֆիրիտները ծածկում են պլագիոկլազային պորֆիրիտներին, իսկ իրենք սփռվում տուֆորբեկչիաններով շերտավորվող բրեկչիանման պորֆիրիտների տակ: Նույնպիսի պատճեր է դիտվում № 3 և 4 հանքերի շրջանում ու այլ վայրերում:

Քվարցային պորֆիրիտները Կոմսոմոլի, տուանձնատպես № 6 հանքի սահմաններում գերազագույն դիրք են գրավում: Դրանց հաստությունն այդտեղ հասնում է ավելի քան 120 մ:

Քվարցային պորֆիրիտներն ամենալայն տարածում ունեն № 6 հանքի —70 և —100 հորիզոններում (գծ. 6 և 7), իսկ № 5 հանքում երկրորդական տեղ են գրավում:

Արտաքուստ քվարցային պորֆիրիտներն իրենցից ներկայացնում են առավելապես բաց և մուգ մոխրագույն, բայց կապտավուն ու սովորաբար կանաչավուն երանգով ամուր տպառներ:

Միկրոսկոպի տակ ապառի առողջութան պորֆիրային է: Հիդրոթերմալ պրոցեսները խիստ կերպով այլափոխել են ապառի նախնական բնույթը, այդ իսկ պատճառով նրան պլագիոկլազային պորֆիրիտներից տարբերելու միակ շափանիշը սկզբնական քվարցի ներկայությունն է: Պորֆիրային անջատումները (5—25

տոկ.) ներկայացված են քվարցով, պլագիոկլազով, գունավոր ու հանքային միներալներով:

Քվարցի պորֆիրային հատիկները սովորաբար լավ են պահպանված. կլորացած են, երբեմն պատահում են քառանկյուն, էլ ավելի հազվադեպ վեցանկյուն բիպիրամիդաների. Լճին ուղղահայաց կտրվածքներով:

Պլագիոկլազի պորֆիրային անշատումները ենթարկվել են շատ խիստ քայլայման և շատ հաճախ ամբողջապես տեղակալվել սերիցիտով ու մասամբ քլորիտով, երկրորդական քվարցի ու պիրիտի խառնուրդով (պակասումորփոզներ): Բացի դա, ապառի պորֆիրային ցաների կազմի մեջ մասնակցում են կարբոնատ, հազվադեպ ակտինոլիտային հորնբլենդ և ապատիտ:

Հիմնային զանգվածը կազմված է վերը թվարկված երկրորդական միներալների միկրոլիտներից և այնքան խիստ է քայլայմած, որ համարյա հնարավոր չի դիտել նրա ստրուկտուրան: Միայն հազվագյուտ դեպքերում կարելի է նկատել միկրոբյուրեղային կամ միկրոանդեղիտային ստրոկտուրայի հետքերը:

4. Պլագիոկլազային պորֆիրիտների տուփորբեկչիաներն ամենից լայն տարածված են հանքավայրի հյուսիս-արևմտյան մասում, № 7—10 հանքից արևմուտք: Տուփորբեկչիաների ելքեր կան նաև Կավարտ գյուղի շրջանում, Խըրդա-Մաղարա հանքից դեպի հարավ-արևմուտք և մի շաբթ այլ վայրերում:

Տուփորբեկչիաները խիստ արտահայտված ստրատիգրաֆիական հորիզոն շեն առաջացնում: Հանքավայրի շրջանի ստրատիգրաֆիական կտրվածքում դրանք տարրեր դիրք են գրավում: Կավարտ գյուղի շրջանում ինչպես պլագիոկլազային, այնպես էլ քվարցային պորֆիրիտները, իսկ № 7 հանքի տեղամասում պլագիոկլազային պորֆիրիտները ծածկվում են տուփորբեկչիաներով:

Տուփորբեկչիաները սովորաբար սերտ կերպով կազմված են մասսիվ ու բրեկչիանման պլագիոկլազային պորֆիրիտների հետ և հաճախ աննկատելի կերպով փոխանցվում են վերջիններիս:

Նման դեպքերում նրանց միջև անց է կացվում պայմանական սահման, ինչպես Կավարտ գյուղի մոտ, կամ թե պարզապես միացվում են մի հաստվածքի մեջ:

Կան տուփորբեկչիաների խոշորաբեկոր ու մանրաբեկոր տար-

բերակներ, առաջինի բեկորներն ընդլացնական կտրվածքում հաս-
նում են 20—25 սմ, իսկ երկրորդներին՝ 1—2 սմ:

Անհրաժեշտ է նշել, որ հիգրոթերմալ պրոցեսները մեծ մա-
սամբ բողարկել են բրեկչիանման պորֆիրիտների ու տուֆորենկ-
չիաների միջև եղած տարբերությունները:

Կոմսոմոլի հանքում ինչպես պլագիոկլազային, այնպես էլ
բվարցային պորֆիրիտների տուֆորենկչիաներն ամենից լայն տա-
րածված են № 5 հանքի սոսորին հորիզոններում (—60):

№ 6 հանքում տուֆորենկչիաներն աննշան տեղ են գրավում
և սովորաբար առաջացնում են անկանոն ձևի ոչ մեծ մարմիններ
(գծ. 6):

Տուֆորենկչիաներն իրենց մեջ ընդգրկում են մի շարք հան-
քային երակներ, ինչպես կոմսոմոլի, այնպես էլ ուրիշ հանքե-
րում:

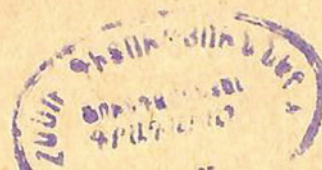
Արտաքին տեսքով պլագիոկլազային պորֆիրիտների տուֆո-
րենկչիաները իրենցից ներկայացնում են մուգ-մոխրագույն և
մոխրագույն-կանաչավուն ապառներ, բաղկացած տուֆոգեն նյու-
թով ցեմենտաված պլագիոկլազային պորֆիրիտների սրածայր բե-
կորներից:

Միկրոսկոպի տակ պարզուց կերպով երեսում է պլագիոկլա-
զային պորֆիրիտների բեկորների միկրոանդեզիտային ստրոկ-
տուրան: Տուֆորենկչիաների ցեմենտը կազմված է երկրորդական
միներալներից՝ բլորիտից, բվարցից, սերիցիտից, պիրիտից, կար-
բոնատներից և ճշգրիտ չորոշվող միկրոլիտներից:

5. Տուֆերը և տուփիտները ստորին լուրայի հաստվածքում
շատ աննշան տեղ են գրավում. ինքնուրուց ստրատիգրաֆիական
հորիզոններ չեն առաջացնում և հանդես են գալիս ենթաշերտերի
ու տեղ ոչ մեծ մարմինների ձևով, մեծ մասամբ տուֆորենկչիա-
ների ու պորֆիրիտների մեջ:

Տուփերն ու տուփիտներն իրենցից ներկայացնում են առա-
վելապես շերտավոր, մանրահամտիկ կանաչավուն ու դեղնա-մոխ-
րագույն ապառներ: Դրանք համարյա բոլորն էլ ենթարկվել են
հիգրոթերմալ փոփոխության և պարունակում են պիրիտի մանր
ցան:

6. Քվարցային պորֆիրիտների տուփորենկչիաները Պափանի
հանքադաշտում գտալի տեղ են գրավում: Դրանք հարում են բվար-



ցային պորֆիրիտների զարգացման շրջաններին և, կամ ծածկում
են նրանց; ինչպես № 10 հանքի տեղամասում, կամ թե սփռվում
նրանց տակ:

Տուֆորբեկշիաները առավելապես խոշորաբեկոր մոխրագույն
ապառներ են: Դրանք № № 5 և 7 հանքերում իրենց մեջ ընդգրկում
են մի շարք արդյունաբերական երակներ: Այդ ապառների հաս-
տությունը տատանվում է լայն սահմաններում և հասնում է, մի
քանի տասնյակ մետրի:

Քվարցային պորֆիրիտների բեկորների կառուցվածքն ու
կազմովթյունը միանգամայն նման է վերը նկարագրված, քվարցի
մանր անջատումներով բնորոշ քվարցային պորֆիրիտներին: Այս
տուֆորբեկշիաների ցեմենտը բաղկացած է սերիցիտից, քլորիտից,
պիրիտի հատիկներից, երեսմն կարբոնատից, ինչպես նաև քվար-
ցի և, հազվադեպ, աբրիտի պորֆիրային անջատումների հատիկ-
ներից:

7. Բրեկշիանման պլազմիոկլազային պորֆիրիտները նշվում են
№ 6 հանքից հարավ-արևելք, Խըրդա-Մաղարա հանքի շրջանում և
Սայադ-դաշի արևմտյան լանջին: Շատ հաճախ դիտվում է բրեկ-
շիանման պորֆիրիտների աստիճանական փոխանցում մի կողմից
դեպի առավելապես պլազմիոկլազային պորֆիրիտների տուֆո-
բրեկշիաները, մյուս կողմից մասսիվ պլազմիոկլազային պորֆի-
րիտները:

№ 6 հանքից հարավ-արևելք տեղադրված բրեկշիանման պլա-
զմիոկլազային պորֆիրիտները հավանաբար պատկանում են ստո-
րին յուրայի 2-րդ հրաբխածին հաստվածքի վերին հորիզոններին:
Դրանց հաստությունը դժվար է որոշել:

Բրեկշիանման պլազմիոկլազային պորֆիրիտներն արտաքուստ
իրենցից ներկայացնում են մոխրագույն ապառներ, փոփոխված
տարրերակները դեղնա-շագանակագույն են: Տուֆորբեկշիաներից
տարբերվում են իրենց ավելի ամուր ցեմենտով:

Ապառի բեկորները (2—3-ից մինչև 10—15 սմ ընդայնա-
կան կտրվածքում) կազմված են պլազմիոկլազային պորֆիրիտնե-
րից. պլազմիոկլազը մեծ մասամբ քայլաված է և տեղակալված
գլխավորապես քլորիտով, քվարցով, մասամբ էլ կարբոնատով ու
սերիցիտով:

Հիմնային զանգվածը բաղկացած է պորֆիրիտի, երկրորդա-

կան միներալներով եզրապատված, մանր բեկորներից: Համեմատաքար թարմ տարբերակներում երբեմն նկատվում է հիմնային զանգվածի միկրոանդեղիտային ստրոկտորա:

8. Հիդրօքերմերով ամբողջապես փոփոխված ապառներ հանդիպում են հանքադաշտի մի շարք տեղամասերում: Հիդրոթերմալ պրոցեսներն այս կամ այն շափով փոփոխել են ջափանի հանքաբեր հաստվածքի բոլոր ապառները: Տեղ-տեղ, մանավանդ հանքային երակներին հարող տեղամասերում հիդրոթերմալ պրոցեսներն այն աստիճան խորն են ընթացել, որ ապառների սկզբնական ստրոկտորայից ու կազմությունից ոչ մի հետք չի մնացել:

Հիդրոթերմալ պրոցեսների հետևանքով փոփոխված ապառները շատ լայն են տարածված Կոմսոմոլի հանքի շրջանում և հատկապես նրա վերին հորիզոններում:

Այդ ապառներն առաջացել են առավելապես և հաշիվ քվարցային պորֆիրիտների, մասամբ պլագիոկլազային պորֆիրիտների և այլ ապառների:

Հիդրոթերմերով ամբողջապես փոփոխված ապառներն արտաքուստ իրենցից ներկայացնում են երկաթի ջրային օքսիդներով ներկված գեղին կամ գորշ-շագանակագույն ապառներ: Դրանք հաճախ քվարցացած են, տեղ-տեղ հարստացած կարբոնատով և մեծ մասամբ պարունակում են պիրիտի ցան:

Այդ ապառների համար բնորոշ է մակերեսային հողմահարման պրոցեսների վերադրումը հիդրոթերմալ պրոցեսներին, որով պայմանավորվել է այսպես կոչվող «մարաշների» առաջացումը:

Նմարագրվող ապառների ամբությունը կախված է նրանց հողմահարման, սերիցիտացման ու քվարցացման աստիճանից: Առկա են բոլոր անցումները բոլորովին փիրուն տարբերակներից մինչև երկրորդական շատ ամուր քվարցիտները:

Միկրոսկոպի տակ դժվար է որոշել ապառի սկզբնական բնույթը: Երեսում է միայն հիմնային զանգվածը, ամբողջապես կազմված երկրորդական քվարցից, քլորիտից, սերիցիտից, երբեմն կարբոնատից և շատ հազվադեպ ալբիտից ու պիրիտից: Ապառի ստրոկտորան անհամաշափ հատիկավոր է, տեղ-տեղ նկատվում են միկրոանդեղիտային կամ միկրոֆելիզիտային ստրոկտորաների մնացորդներ:

9. Տուփոգեն-կրաքարային ապառների սերիան հանքադաշտի կազմության մեջ երկրորդական դեր է կատարում: Այդ սերիայի ապառները մերկանում են Կավարտ գյուղի Հյուսիս-արևելյան մասում, որտեղ նրանք կազմում են մի փոքր սինկլինային ծալք, որի արևելյան թևը կտրվում է այսպես կոչվող Կավարտ-դաշի խախտման գծով: Ապառների տվյալ սերիան իր մեջ ընդգրկում է բվարցային պորֆիրիտների կրային տուֆոբրեկչիաներ, կրային տուֆեր, կրաքարեր, կրային տուֆոավազաքարեր, պորֆիրիտների տուֆոկոնգլոմերատներ ու տուֆեր:

Վերը թվարկված ապառները կարելի է դիտել որպես մի փոքր փակ ավազանի ավելի խորջրյա ֆացիայի պրոգովտներ, ավազան, որի մեջ նստվածքառաջացումն սկսվել է տուֆոբրեկչիաներից և վերջացել պորֆիրիտների տուֆոկոնգլոմերատներով, ու տուֆերով:

Կրաքարային ապառների այսպես կոչվող Կավարտի սերիան տեղադրված է պլագիոկլազային պորֆիրիտների խոշորաբեկոր տուֆոբրեկչիաների հզոր հաստվածքի հիմքում:

Պահանջի հանքավայրի հարավային մասում կրաքարային տուֆոբրեկչիաները տուֆերի ենթաշերտերով ավելի լայն տարածում ունեն և գրավում են նույն ստրատիգրաֆիական դիրքը, ինչ որ Կավարտի սերիայի ապառները:

Կրաքարային տուֆոբրեկչիաներն իրենցից ներկայացնում են դեղնավուն կամ դեղնա-մոխրագույն խոշորաբեկոր ապառներ: Տուֆոավազաքարերը արտաքուստ ներկայացնում են ամուր մանրահատիկ ապառներ կայծքարացած տեղամասերով: Այստեղ հնարավոր չէ բերել սերիայի բոլոր ապառների նկարագրությունը, քանի որ դա մեղ շատ հեռու կտաներ:

10. Պորֆիրիտների խոշորահատիկ տուֆոավազաքարերը, տուֆոկոնգլոմերատներն ու տուֆերը նկարագրվող շրջանում կազմում են 1—3 մ հաստության մի շերտ, որն ընկած է պլագիոկլազային պորֆիրիտների խոշորաբեկոր տուֆոբրեկչիաների հիմքում: Այդ շերտը տեղ-տեղ շափազանց բարակում կամ բոլորովին կտրվում է:

Հիշատակվող տուֆոավազաքարերի շերտավոր մանրահատիկ

տարբերակներ հանդիպում են Նուրիբաղի առվակների շրջանում, որտեղ նրանք ընկած են վերը նշված տուֆոկոնգլոմերատների տակ և նրանց հետ միասին տալիս են մանր ծալքեր: Այդ մանրահատիկ տուֆովալազաքարերի մեջ հանդիպել են վատ պահպանված ամոնիտներ:

11. Պլազիոկլազային պորֆիրիտների խոշորաբեկոր տուֆո-բեկինիաները հանդիպանում են միջին յուրայի ամենատարածված ապառները. դրանք կազմում են հանքադաշտի հյուսիս-արևելյան, հյուսիսային և հյուսիս-արևմտյան մասերը:

Այստաքին տեսքով տուֆորեկլիաները իրենցից ներկայացնում են մոխրագույն և գորշ-մոխրագույն, թույլ փոփոխված ապառներ, որոնց բեկորները (հասնում են մինչև 40—50 սմ) կազմված են պլազիոկլազի խոշոր պրիզմատիկ բյուրեղներով բնորոշ ամուր պորֆիրիտներից:

Միջին յուրայի հաստվածքում հանքանյութեր առայժմ շեն հանդիպել: Նրա մեջ նշվում են միայն հանքանյութերից զերծ քվարց-կարբոնատային և քվարց-բարիտ-կարբոնատային քարակերակիներ:

Միկրոսկոպի տակ տուֆորեկլիաները կազմված են վիտրո-ֆիրային պլազիոկլազային պորֆիրիտից, որի հիմնային զանգվածը բաղկացած է պլազիոկլազի և մոնոկլինային պիրոքսենի միկրոպիտներից: Պորֆիրային ցաների պլազիոկլազը ներկայացված է բիտովնիտով, որը սովորաբար տեղակալված է երկրորդական միներալներով:

Տուֆորեկլիաների ցեմենտը ունի բրեկլիանման կառուցվածք և կազմված է միենաւը պորֆիրիտների բեկորներից ու պլազիոկլազի առանձին հատիկներից:

12. Էֆուզիվ դոլերիտները սակավ տարածված ապառներ են և հանդիպանում են հանքավայրի հյուսիսային ու հյուսիս-արևմտյան մասում. դրանք հարում են վերը նկարագրված տուֆորեկլիաների ներքնակողին: Էֆուզիվ դոլերիտները հանդիպանում են գորշ-մոխրագույն ապառներ հատիկային կառուցվածքով և միկրոանդեղիտային ստրոկտուրայով:

ԽԾՐՈՒԶԻՎ Ա.Պ.Ս.ՌՆԵՐ

13. Քվարցային դիորիտները, քվարցային զաքրոռ-դիորիտները, դիորիտ-պորֆիրիտները և դոլերիտները աշքի են ընկնում

գորշ-մոխրագույն և գորշ-կանաչավուն գունավորումով: Այս խըմ-բի ապառները հանքաղաշտի արևմտյան և հարավ-արևմտյան մասերում առաջացրել են առանձին դեյքեր և ոչ մեծ ինտրուզիվ մարմիններ: Դեյքերի հաստությունը տատանվում է 15 մինչև 20—25 մետր, իսկ երկարությունը՝ 10 մ մինչև 130—140 մ և ավելի: Դրանք տարածվում են դեպի N0 30—50 աստիճան և զարդարում առավելապես դեպի: Հյուախ-արևմուտք:

Նշվող ապառների ստրոմտուրան լրիվ բյուրեղային կամ պորֆիրային է: Լրիվ բյուրեղային տարրերակներում ապառի մոտ 70 տոկոսը կազմված է ալբիտի իդիոմորֆ հատիկներից: Պորֆիրային ապառներում, որոնք բնականաբար հարում են ինտրուզիաների ծայրամասերին, պարզորոշ կերպով երևում են դաշտային շպաթի բաց և երկրորդական քլորիտի մուգ գույնի հատիկներ: Այդ տարրերակում պլագիոկլազը որոշված է որպես լաբրագոր: Պլագիոկլազի հատիկների արանքը լցված է մոնոկլինային պիրոքսենի, երկրորդական քլորիտի, հորնբլենդի և քվարցի ավելի մանր հատիկներով (մոտ 30 տոկոս): Գունավոր միներալները ներկայացված են քլորիտով, հազվադեպ հորնբլենդով և բիոտիտով:

Ապառի հիմնային դանդաղածը բաղկացած է ապակենման կամ կիսապակենման մասսայից: Իր ստրոմտուրայով նկարագրվող ապառը մոտենում է դիորիտին:

Որոշ տեղերում դիտվում են միջանկյալ ապառներ քվարցային դիորիտներից դեպի պլագիոգրանիտները (Կավարտի վերին առվակից Հյուախ) և գաբրոսդիորիտները:

14. Քվարցային պորֆիրներ նշվում են Սայադ-դաշի շրջանում և մի քանի այլ վայրերում: Սայադ-դաշի շրջանում դրանք առաջացրել են դեպի հյուախ-արևմուտք ձգված և համարյա հրար դուզահեռ երկու ինտրուզիվ զանգվածներ: Անտարակույս այդ ինտրուզիաների վերելքը կատարվել է Ողջի-Խոտանանի ծալքի առանցքային թուլացած մասով: Քվարցային պորֆիրները երբեմն առաջացնում են երակային տիպիկ ինտրուզիվ մարմիններ, որոնք հավանաբար բարձրացել են տեկտոնական ճեղքերով:

Նկարագրվող ապառների սահմաններում արձանագրված են մի շարք հանքային երակներ (Աբդուլ-Հասան երակը, Հաջիի խմբի

մի երակ և այլն): Այդ հանգամանքը վկայում է քվարցային պորֆիրների մինչհանքային հասակի մասին:

Քվարցային պորֆիրներն արտաքուատ իրենցից ներկայացնում են դաշտային շպաթի սպիտակ կամ վարդագույն պորֆիրային հատիկներ պարունակող մոխրագույն ապառներ:

Միկրոսկոպի տակ պարզուող կերպով երևում է ապառի պորֆիրային ստրուկտուրան: Պորֆիրային անջատումները կազմված են քվարցի հատիկներից, ալբիտից, քլորիտով ու սերիցիտով լըցված պլագիոկլազից և գունավոր միներալի մնացորդներից: Քվարցի պորֆիրային անջատումները եզրապատված են կալիումական դաշտային շպաթի պելլուացած թաղանթով:

Պլագիոկլազի ավելի կատարյալ իզոմորֆիզմը քվարցի ու կալիումական դաշտային շպաթի համեմատությամբ ապառի ստրուկտուրան մոտեցնում են միկրոգրանիտայինին:

15. Քվարցային ալբիտոֆիրներ հանգիպում են Սայադ-դաշ և Սարի-թոփրախ լեռնագագաթներին, Ողջի գետի ձախ ափին, «Բաննիյ» առվակի ձորակում և այլն: Դրանք հանդես են գալիս առավելապես դեյլիանման մարմինների ձևով, որոնք հավանաբար նույնպես բարձրացել են տեկտոնական ճեղքերով և ամենայն հավանականությամբ ունեն մինչհանքային հասակ:

Այդ գեյլերի համար բնորոշ է զառիթափ անկում և տեղ-տեղ տեկտոնական բնույթի կոնտակտներ:

Քվարցային ալբիտոֆիրները ավելի թարմ տեսք ունենալու հիման վրա ընդունվում են որպես մինչհանքային հասակի ամենավերջին ինտրուզիվ ապառներ:

Քվարցային ալբիտոֆիրները ամուր մոխրագույն ապառներ են դաշտային շպաթի ու քվարցի մանր պորֆիրային անջատումներով (կազմում են ապառի մոտ 25 տոկոսը):

Միկրոսկոպի տակ ապառի ստրուկտուրան պորֆիրային է: Պորֆիրային հատիկները (մինչև 1—1,5 մմ) ներկայացված են գլխավորապես պլագիոկլազով և հազվադեպ սերիցիտով տեղակալված ալբիտով: Քվարցն ունի համեմատաբար փոքր նշանակություն:

Ապառի հիմնային դանդաղածը տարասեռ է: Նկատվում է ինչպես միկրոֆելզիտային, այնպես էլ միկրոլիտային ու միկրոգրա-

նիտային ստրուկտուրաներ: Հիմնային զանգվածը կազմված է ալբիտից, կալիոմական դաշտային շպաթից, սկզբնական քվար-ցից, երկրորդական քվարցից, քլորիտից և հանքային միներալից:

16. Դիաբազներն ու դիաբազային պորֆիրիտները դեյկերի ցանցով ծածկում են հանքադաշտը, մանալանդ նրա արելյան մասը (գծ. 2): Դեյկերն առավելապես ունեն հյուսիս-հյուսիս-արևելյան տարածում և զափիթափ անկում: Նրանց հաստատությունը տատանվում է 0,1-ից մինչև 15 մ., իսկ երկարությունը մի քանի տասնյակից մինչև հարյուրավոր մետրեր, սահմանները ուղղաձիգ են ու խիստ արտահայտված:

Դեյկերի հասակը որոշված է որպես հետհանքային:

Անհրաժեշտ է նշել, որ հանքավայրի նշվող դեյկերը անկման ուղղությամբ ընդհատվում են, այն էլ տարբեր հորիզոնների վրա: Դրա պատճառը մինչև այժմ պարզ չէ:

Դիաբազներն ու դիաբազային պորֆիրիտները քլորիտացվել ու կարբոնատացվել են, ընդորում բարակ դեյկերն ավելի խիստ են կարբոնատացվել, քան հաստերը:

Դեյկերում հաճախ դիտվում է հետհանքային հասակի պիրիտի ցան և կալցիտի երակներ:

Անհրաժեշտ է նշել՝ որ, Կոմսոմոլի, հատկապես № 6 հանքում դիաբազային դեյկերը հաճախ հատում են հանքային երակները, սակայն սովորաբար չեն տեղաշարժում նրանց: Առհասարակ դեյկերի հաստության և նրանց երկարության միջև որևէ կապ չկա, դիտվում են ինչպես կարճ ու հաստ, այնպես էլ երկար ու բարակ դեյկեր:

Դիաբազային դեյկերը ներկայացված են մոխրագույն ամուր աֆանիտային ապառներով, հաճախ կանաչավուն երանգով: Ապառն ունի պորֆիրային ստրուկտուրա, որի մեջ աշքի են դառնալում պլազմկլազի և գունավոր միներալների պորֆիրային անջատությունը: Ապառի կազմության մեջ մասնակցում են հիմքային պլազմկլազը (50—70 տոկոս), մոնոկլինային պիրոքսենը, քլորիտը, կարբոնատը և պիրիտը:

Ամփոփելով ուսումնասիրվող շրջանի ապառների համառոտ նկարագրությունը, անհրաժեշտ ենք համարում հիմնվելով մի շարք

Արիզ սիլիկատային անալիզների տվյալների վրա բացահայտել նրանց կրած հիգրոթերմալ փոփոխությունների բնույթը:

1. Պարզորոշ կերպով նկատվում է հիգրոթերմերով փոփոխված պորֆիրիտներից ալկալիների հեռացում, որոնց բանակը նորմալ անալիզներում մի քանի անգամ ավելի է:

2. Նկատվում է քիմիակես կապված ջրի ավելացում, որը վկայում է ապառներում սերիցիտի ու քլորիտի լայն զարգացման մասին:

3. Ծառ զգալի է երկաթի քանակի ավելացումը, որը 2—3 անգամ գերազանցում է նրա նորմալ քանակին: Նշանակում է, որ հիգրոթերմերը իրենց հետ բերել են երկաթ, որը առավելապես առաջացրել է պիրիտ, մասամբ էլ մտել քլորիտների կազմի մեջ:

4. Փոփոխված պորֆիրիտներում նկատվում է մագնիումի քանակի ավելացում, որը մուտք է գործել հիգրոթերմերի հետ և մտել քլորիտների կազմի մեջ:

5. Նվազում է կալցիումի քանակը. դա բացատրվում է նրանով, որ պլագիոկլազը համարյա ամենուրեք վեր է ածվել ալբիտի: Սակայն կալցիումը հեռու չի գնացել և կարբոնատի (կալցիտի) ձեռվ մնացել է հենց նույն ապառում:

6. Պլագիոկլազային և քվարցային պորֆիրիտների համար բնորոշ է կավաճողի խիստ տատանում, սակայն նրա քանակը ցածր է: Դա մի կողմից վկայում է ապարից կավաճողի հնարավոր հեռացման մասին (երեւ ալկալիների ալյումինատների ձևով), մյուս կողմից պորֆիրիտների հիգրոթերմալ փոփոխվածության աստիճանի մասին:

7. Սիլիկահողի քանակը կամ մոտ է նորմային, կամ նրանից ցածր է: Դա նշանակում է, որ հիգրոթերմերը քվարց շեն ներմուծել, այլ պորֆիրիտներից որոշ շափով նույնիսկ հեռացրել են այն: Ինչ մնում է հիգրոթերմալ քվարցի զգալի կուտակումներին (որոշ տեղեր), ապա այն հավանաբար արդյունք է ապառներում նախապես գտնվող դաշտային շպաթի, հրաբխային ապակու և այլ մի-ներակների քայլացման:

Հիգրոթերմալ փոփոխությունները նույն պատկերն ունեն նաև մնացած ապառներում:

Այսպիսով, հանքավայրի հրաբխածին ապառների հիգրոթեր-

մալ փոփոխությունները հանդում են ալկալիների նկատելի և կալցիումի, կավաճողի ու երբեմն սիլիկաճողի ավելի թույլ հեռացման, ինչպես նաև երկաթի, մագնիումի ու ջրի նկատելի ներմուծման:

Բ. ՍՏՐՈՒԿՏՈՒՐԱ

Դափանի հանքադաշտի հիմնական ստրոկտորային էլեմենտը հանդիսանում է Ողջի-Խոտանանի անտիկլինային ծալքը, որի հյուսիս-արևելյան փոքրաթեք թերն էլ հենց հարում է հանքամարմինների ճնշող մեծամասնությունը:

Այդ անտիկլինի առանցքը տարածվում է NW 320—340° և անցնում է Սայադ-դաշի բլրաշարքի արևմտյան լանջով և Առաջաձորի գագաթով։ Անտիկլինի հյուսիս-արևելյան թերն ընկնում է 35—40° անկյան տակ, իսկ հարավ-արևմտյան թերը 30-ից մինչև 70° անկյան տակ։

Ողջի-Խոտանանի անտիկլինային ծալքը բարդացվել է մի շարք մանր, երկրորդական կարգի ծալքերով (Կավարտ գյուղի մոտ և Նուրիբաղի առվակների շրջանում և այլն):

Հանքադաշտի ձևավորման և հանքայնացման տեղայնացման գործում բացառիկ կարևոր դեր են կատարել ինչպես սեղինութ, այնպես էլ ավելի մանր դիզյունկտիվ խախտումները, որոնք վերը նշված անտիկլինի հյուսիս-արևելյան թերը մասնատել են առանձին հատվածների, հող պատրաստելով հանքարեր ստրոկտորաների ձևավորման համար։

Այդ խախտումներն ըստ հասակի բաժանվում են երեք խրմբի 1. մինչհանքային խախտումներ, 2. հանքայնացման շրջանի խախտումներ և 3. հետհանքային խախտումներ։ Ըստ տարածման ուղղության դրանք բաժանվում են չորս խմբի՝ 1. հյուսիս-արևմտյան խախտումներ, 2. հյուսիս-արևելյան խախտումներ, 3. միջորեականին մոտ ուղղության խախտումներ և 4. լայնակի ուղղության խախտումներ։

1. Մինչհանքային խախտումները հանքամարմինների ձևավորման տեսակետից ամենակարևորն են։ Գրանցից մի մասը ծառացել է որպես հիգրոթերմերի համար համարյա անթափանց էկրաններ, իսկ մյուս մասը խաղացել է հանքարեր կանալների կամ հանք պարունակող ստրոկտորաների դեր։ Վերջիններիս թվին են

պատկանում երակային Հեղքերը և որոշ բեկորատման զոնաներ:

2. Հանքայնացման շրջանի խախտումներ դիտվում են անհամեմատ ավելի սակավ. դրանց թվին են պատկանում հաճախ հանքային երակները տեղաշարժող և հանքայնացման ավելի ուշ ֆաղի միներալներով լցված ճեղքերը, հանքային երակների անկման հարթությամբ անցնող և հանքային բրեկչիա պարունակող ճեղքերը և, որ շափաղանց կարեոր են, այն երակային ճեղքերը, որոնք բացվել են հանքայնացման այս կամ այն ֆազում և ապա լցվել հանքանյութերով:

Բացառությամբ երակային ճեղքերի, հանքայնացման պրոցեսի ժամանակ առաջացած մնացած խախտումները հանքադաշտի ձևավորման մեջ էական դեր չեն կատարել:

3. Հետհանքային խախտումները համեմատած նախորդների հետ շատ ավելի զայն են տարածված: Դրանց վերաբերում են ինչպես թերթավորված և ձմլված ապառների մի քանի մետր հաստության հասնող գոնաները, այնպես էլ ավելի փոքր ճեղքերը, որոնք պարունակում են $0,5-0,7$ մ հաստության հասնող շփման կավեր: Հետհանքային խախտումների թվին են պատկանում նաև դիաբազներով լցված ճեղքերը:

Հետհանքային խախտումները տարածվում են մի քանի մետրից մինչև մի քանի հարյուր մետր: Դրանք հաճախ վերադրվում են մինչհանքային խախտումներին և մթագնում նրանց նախնական բնույթը:

Հետհանքային խախտումների դերը հանքավայրի կառուցվածքում մեծ չէ: Սակայն հանքային երակներին զգալի շափով տեղաշարժող խախտումները որոշ շափով բարդացրել են նրանց շահագործումը:

ՄԻՆՉԱՆՔԱՅԻՆ ԽԱԽՏՈՒՄՆԵՐ

Հանքաբեր տեղամասում նկատվում են հիմնականում երեք ուղղության մինչհանքային խոշոր խախտումներ՝ հյուսիս-արևելացման, հյուսիս-արևելյան և միջօրեական, որոնք նայած թե ինչ փոխհաբերությունների մեջ են դանդում միմյանց հետ, տու-

շացնում են հանքագոյացման տեսակետից դրական կամ բացառական ստրուկտորաներ:

1. Հյուսիս-արևելայան ռողջության խախտումներ: Այս խմբի խախտումների տեղադրման էլեմենտների համադրումը հանքագաշտի հիմնական ծալքավոր ստրուկտորայի դիրքի և լեռնային զանգվածների շարժման ռողջության հետ (Հյուսիս-արևելք-արևմուտք) հացնում է շափազանց հավանական այն ենթադրությանը, որ տվյալ խախտումները ունեն կոտրվածքային բնույթ: Նկարագրվող խախտումներից արժանի են հիշատակման հետեւալները.

ա) Կավարտի վերնետվածքը տարածվում է դեպի NW 310°—330°, 45 աստճ. անկյան տակ ընկնում է դեպի հյուսիս-արևելք: Նա ամենից ցայտուն արտահայտված է Կավարտ գյուղից հյուսիս-արևելք, Վերին ու Ստորին կավարտյան առվակների միջև ընկած հատվածում, որտեղ նա ներկայացված է առնվազն երկու՝ մեկ մեծ, հիմնական և մեկ փոքր, շատ թույլ արտահայտված, գծերով: Հիմնական խախտումը ներկայացնում է մի խոշոր ձեղքվածք, տեղ-տեղ բոլորովին բացված, իսկ սովորաբար փակված կամ լցված երկրորդական կավագեկորային պրոդուկտներով: Նա ձբգվում է մոտ երկու կիլոմետր, հյուսիս-արևելմուտքում հասնելով մինչև նորաշենի ջրաբաժան կատարին, իսկ հարավ-արևելքում «Բաննից» առվակի վերին հոսանքին, որտեղ նա մարում է:

Կավարտի վերնետվածքը, ըստ երկույթին որոշ շափով տեղաշարժվում է Կավարտ-դաշի տեկտոնական գծով:

Այստեղ նկատենք, որ Կավարտի վերնետվածքը կոմոմուլի հանքի կառուցվածքի հետ անմիջական կապ չունի, սակայն նա արժանի է հիշատակման այն տեսակետից, որ հանքավայրի նախորդ հետազոտողները նրան վերագրում են էկրանի դեր, ինչպես նշվել է վերը:

բ) Հյուսիս-արևելյան վերնետվածքը սահմանափակել է № 6 հանքի սահմաններում շրջանառություն կատարող հիդրոթերմալ լուծույթների տարածումը դեպի հյուսիս-արևելք, որից և ստացել է իր անունը:

Այս վերնետվածքը հայտաբերվել է № 6 հանքի ստորերկրյա փորվածքներում, հիանալի կերպով արտահայտված է —100 հորի-

գոնում, պակաս ցայտում՝ 40 և համեմատաբար վատ՝ 70 և
± 0 հորիզոններում:

Հյուսիս-արևելյան վերնետվածքը տարածվում է դեպի NW
300—335 աստիճան, ընկնում է դեպի հյուսիս-արևելք, անկման
անկյունը տառանվում է 25 և 45° միջև, ընդորում դեպի վեր այն
նկատելի կերպով փոքրանում է:

Այս խախտումը՝ 100 հորիզոնում սահմանափակում է № 6
հանքի ամենախոշոր՝ № 29 երակը: Այստեղ նա ներկայացված է
արտաքուատ մի աննշան փոքր ճեղքով, որը անշուշտ տեսադաշ-
տից դուրս կմնար, եթե այնքան խիստ կերպով շեղեր № 29 երա-
կի ուղղությունը (գծ. 14): Այս մասին ավելի մանրամասը կխոս-
վի հանքամարմինների մորֆոլոգիայի գլխում:

— 70 հորիզոնում նկարագրվող վերնետվածքը արևելքից
սահմանափակում է № № 29, 34 և 34 „C“ երակները, տարածվում
է դեպի NW 330°, ընկնում է դեպի № 35°: Ցայտուն արտա-
հայտված խախտում այստեղ չի նկատվում, սակայն № 34 „C“
երակը հասնելով մի համարյա աննկատելի ճեղքի, խիստ կերպով
շեղփում է դեպի հարավ-արևելք և անցնում նրա ներքնա-
կողով: Նույն երեսով տեղի ունի նաև № 29 երակի հետ:

— 40 հորիզոնում այս վերնետվածքն արգելակել է № № 29,
32 և 36 երակային ճեղքերի զարգացումը, հետեւապես երակային
տիպի հանքայնացման տարածումը դեպի արևելք: Այս հորիզո-
նում վերնետվածքը հարավից դեպի հյուսիս աստիճանաբար մո-
տենում է միջօրենական ուղղությանը, իսկ անկյունը, համեմատած
ստորին հորիզոնների հետ, դառնում է ավելի փոքրաթեք:

± 0 հորիզոնում հյուսիս-արևելյան վերնետվածքը ազդել է
միայն № 20 երակի տարածման վրա: Այս երակը խախտման գծին
մոտենալով ցրվում և տալիս է ցանավոր հանքայնացում:

№ 6 հանքում հյուսիս-արևելյան վերնետվածքի վերնակողում
անցկացված փորվածքներից և ոչ մեկը (№ 29 երակի շտրեկի շա-
րունակությունը՝ 70 հորիզոնում, — 40 և ± 0 հորիզոնների հյու-
սիսային կվերշլաքները և այլն) հանքայնացում չեն հայտաբերել:
Այս հանքամանքը կասկած չի թողնում, որ տվյալ վերնետվածքը
բարձրացող հիդրոթերմերի համար կատարել է անթափանց էկ-
րանի դեր, ստիպել նրանց կենտրոնանալ և արդյունաբերական
հանքամարմին առաջացնել տվյալ հանքային բլոկում:

Հյուսիս-արևելյան վերնետվածքը № 6 հանքի հարավ-արևելյան մասում ամենայն հավանականությամբ խաչաձևվում է Կավարտ-դաշի խախտումն ուղեկցող հիգրոթերմերով խիստ փոփոխված և բեկորատված ապառների լայն զոնայի հետ և որպես էկրան նպաստել է ցանավոր հանքանյութերի առաջացմանը վերջինիս սահմաններում և նրան հարող տեղամասերում:

Դեպի հարավ-արևելք Հյուսիս-արևելյան վերնետվածքն անցնում է Խաղնա-Գյումեյ հանքի շրջանը և միաձուլվում Կավարտ-սուլի ուղիղուալ խախտման կովիսածն դասավորված ճեղքերի բարդ սիստեմին:

գ) Արեւլյան Սայադ-դաշի վերնետվածքը (տարածումը NNW 330—340° — WNW 295°, անկումը №, անկյունը 55—85°) ձգվում է № 7—10 հանքից մինչև № 1—2 հանքը:

Այս խախտումը հայտաբերված է հիշյալ հանքերի ստորերկրյա փորվածքներում խոշոր դեր է կատարել № № 1 և 7 հանքերի հանքամարմինների ձևավորման գործում: Այդ դերը կայացել է նրանում, որ վերնետվածքն արգելակել է հարավ-արևմուտքից դեպի նրա վերնակողը շարժվող հանքաբեր լուծույթների ուղին:

Արևելյան-Սայադ-դաշի վերնետվածքի աղբեցությունը լավ երևամ է № 7 հանքի ցանավոր հանքանյութերի զոնայի, ինչպես նաև № № 1, 1 ԵՏ և 2 երակների արևելյան թեքման մեջ: Այդ նույն աղբեցությամբ է բացատրվում նաև № 1 հանքի № 5 երակի և Բուտիլովյան հանքահորի հատվածի № № 3 և 4 երակների արեվելյան թեքումը, որը սակայն համեմատաբար ավելի թույլ է արտահայտված:

Արևելյան Սայադ-դաշի վերնետվածքը ներկայացված է միքանի սանտիմետրից երբեմն 20 մ հաստության հասնող թերթավորված ապառների զոնայով:

Նշվող վերնետվածքը կոմսոմոլի հանքի կառուցվածքում առանձնապես խոշոր դեր ցի կատարում. նա այսուհետ արծարծվում է՝ այն առնչությամբ, որ կարծես թե սահմանագծում է այդ հանքի տեղամասը հարավ-արևմուտքից, չնայած նրան, որ հիշատակվող խախտման կոմսոմոլի հանքին հարող հատվածը որպես էկրան այնքան է թուլացրել իր աղբեցությունը, որ հանքաբեր լուծույթները թափանցել են նրա վերնակողը և տվել մեկ երակ (№ 1 հան-

քի № 2 եւս — 9 երակը), զրանով իսկ Կոմսոմոլի Հանքի և № 1—2 հանքերի տեղամասերը համարյա միացել են իրար հետ:

2. Հյուսիս-արևելյան ողջուրյան խախտումներ: Այս խախտումների շարքն են դասվում Բաշքենդի և Կավարտ-դաշի բեկվածքները, որոնք անմիջականորեն մասնակցում են Հանքի ըստրուկտորայի մեջ:

ա) Բաշքենդի խախտումը հյուսիս-արևելյուտքից սահմանափակել է № № 3, 4 և 5 հանքերի տեղամասերը մուտք գործած հիդրոթերմերի հետագա շարժումը: Այս խախտման գիծը տեկտոնական կոնտակտ է կազմում հիդրոթերմերով ամբողջապես փռփռիված ստորին յուրայի ապառների և միջին յուրայի էֆուզիվ գոլերիտների ու խոշորաբեկոր տուֆորեկչիաների միջև: Մակերեսում Բաշքենդի խախտումը քողարկված է գելցոպիխալ նստվածքների ծածկոցով և շատ թույլ է արտահայտված:

Համաձայն Վ. Ն. Կոտլյարի տվյալների (14) Բաշքենդի խախտումն անցնում է համանուն գյուղից արևելք. գեպի հյուսիս-արևելք Բաշքենդի առվագի շրջանում նա ներկայացված է մի շարք ճեղքերով, որոնց երկարությամբ դիտվում է հիդրոթերմով փռփռիված և ճմլված ապառների մի շերտ, զառիթափ անկմամբ դեպի արևմուտք: Վերոհիշյալ առվագից գեպի հյուսիս-արևելք Բաշքենդի խախտումը, ըստ երեսութին, խաշածելվում է Մեծ-Մաղարայի խախտման հետ, որն անցնում է մոտավորապես այն կետով, որտեղ Կավարտյան առվագը թափվում է Կավարտ գետակի մեջ:

Ա. Ա. Ջվերյուգայի տվյալների համաձայն № 5 հանքի № 1 երակը հյուսիս-արևելյուտքից սահմանափակվում է Բաշքենդի խախտմանը վերագրվող մի շարք ճեղքերով: Պագալտի հին հանքի շտունաները հայտաբերել են պիրիտի ցանավոր և ոսպնյակաձև ներփակումների հանքայնացման դոնա մինչև 1 մ հաստությամբ: Այդ զոնան տարածվում է № 55—750, 18—40⁰, երթեմն 55 անկյան տակ ընկնում է գեպի հյուսիս-արևելյուտք: Այդ զոնան, հավանաբար, իր գոյությամբ պարտական է Բաշքենդի խախտմանը:

բ) Կավարտ-դաշի խախտում: Այս խախտման գոյությունը, հատեապես նրա գերը Կոմսոմոլի հանքի ձևավորման գործում որոշ հետազոտողների կողմից զրվում է հարցականի տակ կամ պարզապես բացառվում է: Պետք է համաձայնել, որ իսկապես այդ

խախտումը Կոմսոմոլի Հանքի սահմաններում ակնհայտ կերպով շերտահայտված: Մյուս կողմից շի կարելի չնշել, որ Կավարտ գյուղի Հյուախս-արևելյան ծայրամասում գտնվող աղբյուրի մոտ Դավարտ-դաշի խախտումը որոշակիորեն կտրում է այսպիս կոչվող կավարտյան սերիալի շերտավոր ապառները: Վերջիններիս և նրանքած խախտման փոխհարաբերությունը պերճախոս կերպով վկայում է, որ այստեղ տեղի է ունեցել խախտման հյուախս-արևմտյան թերի լեռնային զանգվածների ոչ միայն վարնետում, այլև որոշ տեղաշարժ հորիզոնական ուղղությամբ, որի մասին իր ժամանակ արդարացիորեն նշել է վ. Ն. Կոտլյարը (14):

Վերը հիշատակված աղբյուրի շրջանում Կավարտ-դաշի խախտումը տարածվում է գեղի № 70 աստիճան, անկումը մոտավորապես ուղղաձիգ է, երկկողմանի թույլ թերումով: Դեպի Հարավարեմուտք, մինչև Կավարտ-դաշ բլուրը, այսինքն՝ գյուղի սահմաններում խախտումը մակերեսին համարյա շի նկատվում, իսկ սկսած Կավարտ-դաշից մինչև № 6 հանքի մուտքը պարզ կերպով նկատվում է սովորաբար իրարից մեկուսացած կամ սուրանկյան տակ մինչյանց հատող և տարբեր անկում ունեցող մինչհանքային հասակի ճեղքերի մի բարդ սիստեմ: Ճեղքերի հարթության վրա երբեմն լավ պահպանվել են սահման հայելիներ շեղ խաղերով հանդերձ: Ճեղքերի այդ սիստեմն ուղեկցվում է հիդրոթերմերով փոփոխված ապառների մի լայն, մի քանի տասնյակ մետրի հասնող զոնայով, որն ամբողջապես վերցրած ունի № 30⁰ տարածում և 65—85⁰ անկյան տակ ընկնում է գեղի Հյուախս-արևմուտք, երբեմն էլ հարավ-արևելք: № 6 հանքի մուտքից նա անցնում է դեպի Քելվանի-զամի կոչվող լեռնաճյուղը:

№ 6 հանքի № 1 և № 6 երակների արևելյան թերը թափանցելով Կավարտ-դաշի խախտումն ուղեկցող ճմլված ու բեկորատված երկրորդական քվարցիտների լայն զոնան, խիստ կերպով ճյուղավորվում են, հարստանում քվարցով, ցրվում և տալիս պիրիտի ու խալկոպիրիտի ցան: № 1 երակով (± 0 Հորիզոն) դեպի արևելք անցկացված կվերշլագը և նույն տեղամասում փորված հորանցքերը ցրված հանքանյութերի նման զոնա հայտաբերեցին Կավարտ-դաշի խախտման ներքին, այսինքն՝ հարավ-արևելյան կողմում, որը հավանաբար, այնուամենայնիվ, հարում է Հյուախս-

արևելյան վերնետվածքի ներքնակողին և սրբութ է վերագրվի արդեն Խազնա-Գյումեց Հանքարեր տեղամասին:

№ 6 Հանքի +0 հորիզոնում վերը նշված երակների հատվածում, խիստ կերպով ճմշված և իրենց վրա ուժեղ ճնշման կնիք կրող ապառների լայն զոնայում նկատվում են դեպի N 0 50° տարածվող և 70—75° անկյան տակ դեպի հարավ-արևելք ընկնող մի շարք ճեղքեր, որոնք պետք է որ պատկանեն Կավարտ-դաշի խախտմանը: Այդ ճեղքերից ոմանց ուղղությամբ տեղի են ունեցել Հետհանքային շարժումներ, որոնք տեղ-տեղ քողարկել են խախտման մինչհանքային բնույթը:

Հանքային լուծույթներին ուղղություն տալու, նրանց որոշ հանքային բլոկներում համակենտրոնացնելու գործում Կավարտդաշի խախտումը կատարել է կարեւոր և ակտիվ դեր:

Խախտման զոնայում, ավելի ճիշտ երկու հանքամիջյան (№ 6 և Խազնա-Գյումեց) տարածության մեջ ցանավոր հանքանյութերի առկայությունը համոզիչ կերպով խոսում է այն մասին, որ մինչհանքային խախտման հանդես գալը շրջակա ապառներին հաղորդել է ֆիզիկական (մեխանիկական) այնպիսի հատկություն, որի շնորհիվ նրանք դրկվել են խոշոր երակային ճեղքեր տալու ունակությունից, ճեղքեր, որոնց մեջ տեղի ունենար հիդրոթերմալ լուծույթների ազատ շրջանառության, «Ճեղքերի լցման տիպի» հանքամարմինների՝ երակների ձևավորում:

Նման փոփոխված և ճմշված ապառների սահմաններում, երակային ճեղքերի բացակայության պատճառով, լուծույթների ազատ շրջանառությունը տեղի է տվել տեղակալման ռեակցիային: Խախտման զոնային հարող երակային ճեղքերի ծայրամասերից դեպի զոնայի ապառները մանր ծակոտիների ու ծերպերի միջով մուտք գործած հիդրոթերմալ տեղակալման ռեակցիայի շնորհիվ առաջացրել են ցանավոր հանքանյութեր: Վերը շարադրվածից բխում է, որ այդպիսի հանքայինացման ինտենսիվությունը խախտման զոնային հարող երակային ճեղքերից հեռանալով պետք է թուլանա մինչև պարունակող ապառների ընդհանուր միներալիզացիայի սահմանը: Վ. Ն. Կոտլյարի կարծիքով Կավարտ-դաշի խախտման ամպլիտուդան անկաման ուղղությամբ համառ է մոտ 120 մ (13):

3. Միջօրեականին մոտ ուղղության խախտումներ: Սրանցից

Հանքացին բլոկների ձևավորման համար իրենց կարևորությամբ արժանի են մասրազնին քննարկման՝ Մեծ-Մաղարացինը և նրա, այսպես կոչվող «Արևելյան ճյուղը»:

ա) Մեծ-Մաղարայի խախտումը Վ. Կոտլյարի և Ա. Լ. Դուդինի (13, 14) կողմից մանրամասնորեն նկարագրվել է որպես Ղափանի հանքադաշտի ամենախոշոր ստրուկտուրային էլեմենտներից մեկը: Նա ձգվում է Ղափան քաղաքից համարյա մինչև Նորաշենինի ջրաբաժան բլրաշարքը:

Մեծ-Մաղարայի խախտումն իր անունը ժառանգել է նույնանուն հանքահորից, որտեղ նա առաջին անգամ հաստատվել է: Այդ հանքը գործել է ֆրանսիական արդյունաբերողների օրոք: Այս խախտումը երկրի մակերեսի միայն առանձին հատվածներում է դիտման ենթակա, մնացած մասերում նա ծածկված է ալլուվիալ և գելուվիալ նստվածքներով:

Ռայկոսի անվան հանքահորի շրջանում նշված խախտումը ներկայացված է միջօրեականի ուղղությամբ և 70—75⁰ անկյան տակ դեպի արևելք ընկնող մի ճեղքով: Դեպի հյուսիս նա արևելքից սահմանափակում է «Հին Խրտա» հանքի երակները: Այնուհետև, Մեծ-Մաղարայի խախտումը հանդես է գալիս № 1 հանքամբուխտի լուսամասի № 4 երակի դաշտային շտրեկը (—59 հորիզոն) 1943 թ. հանդիպել է խիստ բեկորատված ապառների, 1 մ հասնող մի զոնայի, երկու կողմից սահմանափակված դեպի արևելք ընկնող զառիթափ ճեղքերով (տարածումը 80 150⁰), որը հավանաբար պատկանում է նկարագրվող խախտմանը: № 1 հանքի ± 0 հորիզոնի հյուսիսային կվերշլատում Ա. Ա. Զվերյուտի անվանումունքում նկարագրել է Մեծ-Մաղարայի խախտման սխտեմին վերագրվող, 20 մ հաստության հասնող ճմլված ապառների մի զոնա, որն արևմտադիր սահմանափակում է նշված հանքի № 1, 2, 3 և 4 երակները, իսկ արևելքից № 5 երակը: Նա 65⁰ անկյան տակ ընկնում է դեպի 80 110⁰: Դեպի հյուսիս-արևելք հիշատակվող զոնան դուրս է գալիս № 1 հանքի շրջանակներից և գնում դեպի Արևելյան Սայադ-դաշի և Մեծ-Մաղարայի խախտումների ենթադրվող հանդուցակետը:

Մեծ-Մաղարայի խախտման հյուսիսային մասը ցայտուն կերպով արտահայտված է Կոմսոմոլի հանքում, որտեղ նա ունի անուրոշ ամպլիտուդայի վարնետվածքի բնույթ: Այստեղ Մեծ-Մաղա-

բայի վարնետվածքը արևելքից սահմանափակում է № 5 հանքի հրակների տարածումը, լավ երեսում է Կապիտալ շտունայում և № 5 հանքի —60 և —34 հորիզոններում: Վարնետվածքն տառանձնապես լավ է արտահայտված № 5 հանքի № 4 երակի հնթահարկացին շտրեկում (Կապիտալ շտունայից 5 մ բարձր), որտեղ նաև ներկայացված է հիգրոթերմերով փոփոխված, խիստ ճմլված և բրեկ-չիացած տպառների մոտ 30 մ հասնող դռնայով: Վերջինս տարածվում է գեպի NW 345—350⁰, անկումը անորոշ է, սակայն, հավանաբար, մոտ է ուղղաձիգ ուղղությանը կամ մասամբ թեքվում է գեպի արևելք:

№ 5 հանքի № 4 երակը Մեծ-Մաղարայի դռնայից մոտ 3 մ վրա բաժանվում է 2 անհավասար մասի. Հյուսիսային ճյուղը՝ ամենահաստը խիստ կերպով շրջվում է գեպի հյուսիս, որոց տարածություն անցնելուց հետո բարակում և կտրվում է, իսկ հարավայինը (բարակը) մինչհանքային դռնայի ներքնակողով անցնող հետհանքային խոշոր ճեղքից (Կոմմոնովի խախտում) տառացիութեն մի քանի սանտիմետրի վրա միանդամից կորցնում է իր հաստությունը, երկճյուղ մի փոքր երակիկի ձևով ընդհուպ մոտենում նրան և կտրվում: Առաջին հայացքից թվում է, թե այդ խոշոր երակը պարզապես կտրվել և տեղաշարժվել է նշված հետհանքային ճեղքով, այնինչ հիմնականում նաև սեպածե վերջանում է մինչ այն. դա բացատրվում է Մեծ-Մաղարայի խախտման ազդեցությամբ, որը արևմուտքից շարժվող հիգրոթերմալ լուծույթների ուղղ վրա ծառացել է որպես անհաղթահարկի արգելակ (գծ. 17):

Կապիտալ շտունայի № 5 հանքի № 4 երակից 50 մ գեպի հյուսիս Մեծ-Մաղարայի խախտումը հանդես է գալիս ճիշտ նույն բնույթով, ինչ որ վերը նշված հնթահարկացին շտրեկում:

Մեծ-Մաղարայի վարնետվածքի արտահայտման հենց նոր հիշատակված կետից մինչև № 5 հանքի № 6 երակի շրջանը Կապիտալ շտունան ոչ մի, թեկուղ աննշան, հանքամարմնի չի հանդիպել. դա պերճախոս կերպով խոսում է Մեծ-Մաղարայի վարնետվածքի կողմից հանքարեր լուծույթների տարածումը սահմանափակելու օգտին և այն մասին, որ նաև սահմանաղատում է երկու հարևան հանքային բլոկները՝ № 5 հանքը № 6 հանքից:

№ 5 հանքի —60 և —30 հորիզոններում Մեծ-Մաղարայի խախտումն արտահայտված է նմանապես թերթավորված և ճմըլ-

ված ապառների զոնայով, որի լայնությունը 20 մ (-60 հորիզոն)՝ փոքրանում և հասնում է 5—7 մ (-34 հորիզոն): Խախտման տեղադրման էլեմենտները այստեղ փոփոխման չեն ենթարկվում:

Մեծ-Մաղարայի խախտման ամպլիտուդան դժվար է որոշել: Ա. Լ. Դոդինի ենթադրությամբ այն հասնում է մոտ 50 մ:

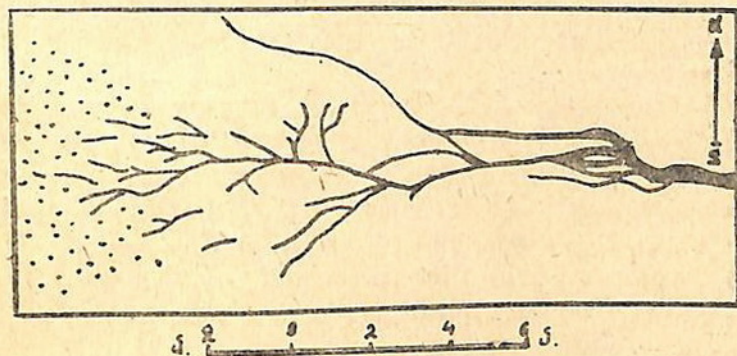
բ) Մեծ-Մաղարայի խախտման «Արևելյան ճյուղ»: № 6 հանքի հանքամարմինների ձևավորման համար շատ խոշոր դեր է կատարել Մեծ-Մաղարայի խախտման այսպես կոչվող «Երևելյան ճյուղը», որն արևմուտքից սահմանափակել է № 6 հանքի հանքայնացումը: Կոմսոմոլիի հանքի սահմաններից դուրս, նրանից դեպի հյուսիս-արևմուտք, Մեծ-Մաղարայի խախտման զոնայից սկիզբ առնելով և անցնելով դեպի հարավ-արևելք, «Արևելյան ճյուղը» հանքաբեր տեղամասից անջատել է սեպաձև մի հատված սուր ծայրով ուղղված դեպի հյուսիս:

«Արևելյան ճյուղն» իր հիմք ներկայացնում է ակնհայտ մինչհանքային հասակ ունեցող ճեղքերի մի սիստեմ, որն ամբողջությամբ առած տարածվում է NW $315-360^0$, ընդորում այդ ճեղքերը հյուսիսում շեղվում են դեպի միջօրեականի ուղղությունը և ընդհուպ մոտենում նրան, իսկ հարավում խիստ կերպով շեղվում դեպի հարավ-արևելք: Այդ ճեղքերն ունեն հյուսիս-արևելյան անկում, առանձին ճեղքերի անկման անկյունը տատանվում է 50° և 90^0 միջև, իսկ ամբողջ զոնան ընկնում է մոտ 60 աստիճանի տակ:

«Արևելյան ճյուղի» ճեղքերն ուղեկցվում են ճալված, երբեմն թերթավորված ապառների զոնայով, որը բնորոշվում է պիրիտի ու խալկոպիրիտի ցանով և քվարցով ու սերիցիտով ցեմենտացած շրջաման բրեկչիաների պարունակությամբ: Այդ զոնայի լայնությունը $0,2-0,5$ մ (-100 հորիզոն) հասնում է 2 մ (-70 հորիզոն): «Արևելյան ճյուղին» հարում է այսպես կոչվող ցանավոր հանքանցութերի զոնան, որն առաջացել է ճիշտ նույն ձևով, ինչ որ Կավարտ-դաշի խախտման հետ կապված զոնան և որի բնութագրմանը կդառնանք ավելի ուշ, հանքամարմինների մորֆոլոգիան նկարագրելիս:

Այսպիսով, «Արևելյան ճյուղի» դերը հանքաբեր լուծուվթների տեղայնացման գործում հանդել է մի յուրօրինակ պատճեշի ըստ տեղեմման, որն արգելակելով երակացին ճեղքերի զարգացումը դե-

աղի արևմոտք, դրանով իսկ սահմանափակել է երակացին տիպի Հանքայնացման տարածումը: Խախտման զոնայի ամբողջապես փոփոխված ապառներին հարող երակացին ճեղքերը խստ ճյուղավորվել են, վերածվելով մի շարք մանր ճեղքերի ու ծերպերի, երբեմն բոլորովին փակվել (դժ. 4):



Դժ. 4. № 15 երակի արևմտյան թել «Արեկելյան ճյուղի» զոնայի մոտ
(հանք № 6):

Որոշ երակացին ճեղքեր խախտման զոնային մոտենալով առաջինաբար շեղել են իրենց ուղղությունը (№ 20 երակը — 70 հոգիզոնում):

Այսուղ ավելորդ չել լինի նշել, որ «Արեկելյան ճյուղի» ազդեցությունը հարավ-արևելքում այնքան է թուլացել, որ հանքաբեր լուծույթները թափանցել են նրա մյուս կողմը և երկու խախտումների միջև ընկած սեպածե «մեռյալ» հատվածում տվել հանքանցութիւ որոշ կուտակում (№ 5 հանքին մինչև այժմ սխալ կերպով վերադրվող № 6 երակը):

«Արեկելյան ճյուղի» ամպլիտուդան որոշել առաջմ հնարավոր չէ:

4. Լայնակի ուղղուրյան խախտումներ կամ երակային ճեղքեր: Վերը նկարագրված խոշոր մինչհանքային խախտումները տարածության մեջ զբաված իրենց զիրքով սահմանադասել են հանքայնացման համար բարենպաստ առանձին թղթիներ, որոնց ներսում առաջ են եկել երակային ճեղքերը: Վերջիններիս ճնշող

մեծամասնությունը հավանաբար առաջացել է այդ խոշոր խախտումների հետ միաժամանակ, սակայն նրանք բացվել, լայնացել են փոքր ինչ ամենի ուշ: Դեռ ամենին, նրանցից մի մասը վերջնականապես ձևավորվել է հանքայնացման բուն շրջանում:

Այս ենթադրությունը հիմնավորվում է նրանով, որ էկրանավորող մինչհանքային խախտումների առաջ երակային ճեղքերը խիստ կերպով ճյուղավորվում են, հաճախ փակվում կամ փոխում ուղղությունն ու անկման անկյունը:

Կոմսոմոլի հանքում կա երակային ճեղքերի երկու սիստեմ՝ լայնակի և միջօրեական: Ամենից լայն զարգացած է լայնակի և նրան մոտ ուղղության երակային ճեղքերի սիստեմը, ճեղքեր, որոնց անկման հարթությունը թեքվում է թե դեպի հյուսիս և թե դեպի հարավ: Այդ ճեղքերի անկման անկյունը տատանվում է 15—20 աստիճանից մինչև 90 աստիճանի սահմաններում. սովորաբար դրանք բավական զարդարակի են և միջին հաշվով ընկնում են 60—80 աստիճան անկյան տակ:

Երակային ճեղքերի երկարությունը պայմանավորվում է հանքային բլոկների շափերով. տարածման ուղղությամբ դրանք հասնում են 200—250, հազվադեպ 300 մ, իսկ անկման ուղղությամբ մինչև 200 մ և ավելի: Բոլոր երակային ճեղքերը առանձին բացառություններով «կույր» են, այսինքն երկրի մակերեսին չեն հասնում:

Միջօրեական ուղղության երակային ճեղքերի սիստեմը, որը նշվում է № 6 հանքի վերին, մասնավորապես —40 հորիզոնում, շատ շնչին տեղ է գրավում: Այդ ճեղքերի մեծությունը տարածմանը ուղղությամբ հասնում է մինչև 100—150 մ, իսկ անկման ուղղությամբ սահմանափակվում է 30—50 մ: Միջօրեական երակային ճեղքերն առավելապես ընկնում են դեպի արևմուտք, ընդորում նրանց անկման անկյունը սովորաբար մեծ է:

Երակային ճեղքերի սահմանները մեծ մասամբ ծուռ ու մուռ են, ուղղագիծ սահմաններ շատ հազվադեպ են պատահում:

Երակային ճեղքերի թիշ թե շատ զուգահեռ դասավորությունը հավանաբար պետք է բացատրել նրանով, որ նրանք առաջացել են պարունակող ապառների որոշակի ուղղություն ունեցող առանձնության բազայի վրա, բացի դա, այսուղղ արտահայտված տեկտոնական ուժերի ուղղությամբ:

Հանքաբեր ապառների մեջ բացված ճեղքերի ծագումը համանաբար հնարավոր է դարձել շրջանի ծալքավորումն ուղեկցող սղման ընդհանուր տեսդեմնցի միշավայրի պրկման փոխարինվելուց հետո միայն, ընդորում ճեղքերի դարդացումը չի ավարտվել մեկ ֆազում և, որ շատ կարևոր է, այն շարումակիցի է երկար, ընդդրկելով հանքայնացման և հետհանքային շրջանները: Եթեմն դիմումը է ճեղքերի բազմակի բացում, որի մասին բավական համոզիլ կերպով վկայում է միմնույն ճեղքում երկու և ավելի գեներացիաների հանքանյութերի առկայությունը:

Մի դեպքում ճեղքութերմալ լուծույթների առաջին բաժնի հանքային նյութով լցված ճեղքը նոր ուժերի ազդեցության ներքո ճեղտակից կամ եղբերից ճղվում է քիչ թե շատ ուղիղ գծով և հանքայնացման հաջորդ ֆազում լցվում նոր հանքանյութով, որը նախորդից ստվորաբար տարրերվում է ինչպես կազմությամբ, այնպես էլ ստրովուրայով:

Աւրիշ գեպքերում երակային ճեղքի աճը և նրա ընդհանուր լայնացումը առաջ է բերում մինչ այդ ճեղքը լցրած հանքային զանգվածի բեկորատում. այդ հանքաբեկորները ցեմենտվում են ճիգրութերմանը հաջորդ բաժնից անշատվող միներալներով: Ճեղքառաջացման և հանքայնացման ամեն մի նոր ֆազ ընդդրկում է ոչ ամբողջ երակային ճեղքը, այլ նրա առանձին մասերը միայն, այդ իսկ պատճառով ավելի ուշ ֆազի հանքանյութեր դիմումը են երակային ճեղքի միայն որոշ հատվածներում:

Վերջապես երակային ճեղքերի մի մասը ճեղքառաջացման և, հետևապես, հանքայնացման ավելի ուշ ֆազերի ազդեցությանը չի ենթարկվել:

Վերը բերված հետևությունները հիմնավորվում են հանքային երակների իրային կազմի ուսումնասիրություններով:

Հետազոտությունները ցույց են տալիս, որ հավանաբար գոյություն են ունեցել ճեղքառաջացման մի շարք կենտրոններ, որոնցից սկիզբ են առել երակային ճեղքերը: Ճեղքառաջացման նման կենտրոնի ուշագրավ օրինակ կարող է ծառայել № 6 հանքի № 29 երակի հանգույցը:

Ճեղքառաջացման կենտրոնների ծագումը կարելի է բացատրել տեկտոնական ուժերի ու ստրովուր-լիթոլոգիական պայման-

ների ճեղքերի ցանցի առաջացման համար առանձնապես նպաստավոր կոմբինացիաների առկայությամբ:

Վերը շարադրվածից երևում է, որ երակային ճեղքերին մինչհանքային հասակ վերագրելը որոշ շափով պայմանական է, քանի որ նրանց գարգացումը և ձևավորումը շարունակվել է նաև հանքայնացման բուն շրջանում և, այսպիսով, երակային ճեղքերը հանդիսանում են ոչ միայն մինչհանքային, այլև հանքայնացման շրջանի խախտումներ:

Երակային ճեղքերի սահմանների ծովալածությունը, նրանց ձևավորման բազմաֆազությունն ու բնույթը հիմք են տալիս այս տիպի խախտումները լիակատար վատահությամբ դասելու պատըռավածքային խախտումների կարգը:

Մինչհանքային խախտումների հարթությունների տեղադրման էլեմենտների մասին կարելի է գաղափար կազմել այստեղ պետքված Շմիդտի դիագրամից (գծ. 5—1), որի վրա ներկայացված է № 6 հանքում նկատված բոլոր մինչհանքային ճեղքերը, բացառությամբ երակային ճեղքերի:

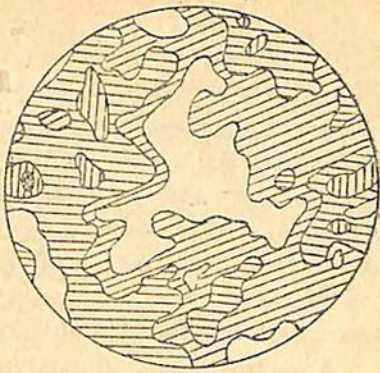
Նշված դիագրամից երևում է, որ մինչհանքային ճեղքերն ունեն առավելապես միջօրեական կամ նրան մոտ ուղղություն անկման երկկողմանի թերումով, ընդորում անկման անկյունը սովորաբար 60—80 աստիճան է:

№ 2 դիագրամի վրա արտացոլված են բոլոր մինչհանքային ճեղքերը, ներառյալ նաև երակայինները: Այս դիագրամի վրա քողարկվում է նույնիսկ այն ակներեսությունը, որը նկատվում է № 1 դիագրամի վրա և դա հասկանալի է, որովհետև տվյալ դեպքում մենք գործ ունենք միանգամայն հակառակ տարածում ունեցող ճեղքերի երկու տարբեր սիստեմների՝ լայնակի երակային ճեղքերի և միջօրեական ուղղության ավելի փոքր խախտումների միաձուլում: Այդ դիագրամը ցուց է տալիս միայն այն, որ բոլոր մինչհանքային ճեղքերը ունեն անկման զառիթափ անկյուն: Այդ դիագրամի վրա տեղադրված է 375 ճեղք, որոնցից 75 երակային: Անհրաժեշտ է նշել, որ բոլոր մինչհանքային ճեղքերը չնշին բացառություններով այս կամ այն աստիճան հանքայնացված են:

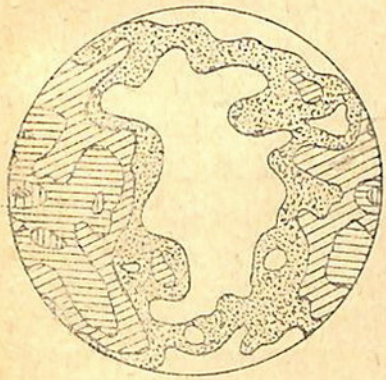
Բացի խոշոր, ուժգունակ բնույթի խախտումներից և երակային ճեղքերից, ինչպես պարզվեց վերը, կոմսոմոլի հանքում կան բազմաթիվ, ավելի մանր մինչհանքային խախտումներ, որոնք հան-



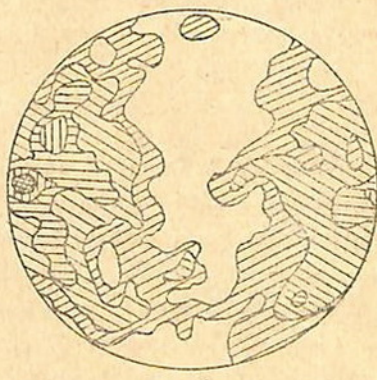
1
 □ 0.5% ■ 2-3%
 ▨ 0.5-1% ▨ 3-4%
 ▨ 1-2% ▨ 4-5%



2
 □ 0-0.5% ■ 2-3%
 ▨ 0.5-1% ▨ 3-4%
 ▨ 1-2%



3
 □ 0-0.5% ■ 2-3%
 ▨ 0.5-1% ▨ 3-4%
 ▨ 1-2% ▨ 4-5%



4
 □ 0-0.5% ■ 2-3%
 ▨ 0.5-1% ▨ 3-4%
 ▨ 1-2% ▨ 4-5%

ՑՃ 5. Շմիւրտի դիագրամները:

Քայնացման պրոցեսի վրա գործնական տեսակետից էական ազադեցություն չին գործել, այդ պատճառով այսուհեղ դիտավորյալ կերպով անտեսվում են;

ՀԱՆՔԱՅՆԱՅՄԱՆ ՇՐՋԱՆԻ ԽԱԽՏՈՒՄՆԵՐԻ

Կոմսոմոլի հանքում հանքայնացման շրջանի խախտումներն անհամեմատ ավելի սակավաթիվ են: Զհաշված այն երակալին ճեղքերը, որոնց զարգացումն սկսվել է մինչ հանքառաջացման պրոցեսները և շարունակվել այս շրջանում, մնացած ավելի փոքր խախտումները սովորաբար ներկայացնում են քվարցով և կալցիտով լցված ճեղքեր, տեղ-տեղ հատում են հանքային երակները, մեծ մասամբ առանց տեղաշարժելու նրանց և երբեմն պարունակում են պիրիտի ու խալկոպիրիտի ցան:

Հանքայնացման շրջանի ճեղքերի ճնշող մեծամասնությունն ունի հյութս-արևմտյան տարածում, սովորաբար զառիթափ է, երկողմանի թեքումով:

Եթե նկատի շուրջնանք երակային ճեղքերի զարգացման դինամիկան, որի մասին խոսք եղավ վերը, հանքայնացման շրջանի գլուզոնկտիվ խախտումները գործնական տեսակետից ոչ մի հետաքրքրություն չեն ներկայացնում:

ՀԵՏՀԱՆՔԱՅԻՆ ԽԱԽՏՈՒՄՆԵՐԻ

Կոմսոմոլի հանքում հետհանքային խախտումները շատ լայն տարածում ունեն: Նրանք աշքի են ընկնում տեղադրման էլեմենտների, մեծության, հանքամարմինների նկատմամբ ունեցած իրենց վարքագծի և բնույթի (հորիզոնական տեղաշարժ, վարնետվածք, վերնետվածք և այլն) բազմազանությամբ: Այս խախտումների լայն տարածված լինելը վկայում է հանքադաշտի և հանքային բլոկների դինամիկայի մասին արդին հանքամարմինների ձևավորումից հետո, հիգրոթերմալ գործունեության մարման շրջանում:

Հետհանքային խախտումներից արժանի են հիշատակման կոմսոմոլի խախտումը և № 5 հանքի խախտման զոնան:

ա) Կոմսոմոլի խախտումն ամենամեծն է հետհանքային հասակի խախտումների մեջ: Ամենից պարզորոշ այն արտահայտված է Կոմսոմոլի հանքի սահմաններում, որից և ժառանգել է իր անունը: Այս խախտումը տարածվում է դեպի NW 340—360°, անշեղումը համարյա ուղղաձիգ է, բացառությամբ Կապիտալ շտունդի:

Հորիզոնից, որտեղ խախտման հարթության անկման անկյունը իշխում է մինչև 50° , իսկ անկման հարթությունը հաստատապես թիքվում է դեպի արևելք:

Կոմսոմոլի խախտումը ներկայացված է մեկ, կամ մի շաբք խոշոր իրար զուգահեռ, կամ սուր անկյան տակ միմյանց հատող, սովորաբար գորշ-շագանակագույն կավանման նյութով, երբեմն հանքային բրեկլիֆայուլ լցված ճեղքերով, որոնք ուղեկցվում են $5-20$ մ հանող ճմլման զոնայով:

№ 5 հանքի № 4 երակի վերը հիշատակված ենթահարկային շտրիկում կոմսոմոլի խախտումն անցնում է Մհձ-Մաղարացի զոնայի ներքնակողով: Այստեղ պարզութաշ կերպով երկում է, որ լեռնադանդվածների շարժման ժամանակ ճեղքի մեջ մնացել է շրջապատի ապառների համար օտար բեկորներ ($3-8$ սմ կողք-վածքով), որոնք հետադայում ցեմենտացվել են շփման կավերում:

Խախտման վերնակողի հարթության վրա դիտվում է պարզ կերպով արտահայտված և հորիզոնականից $12-15^{\circ}$ շեղված խառների մի ամբողջ սխատեմ: Այդ միենույն հարթության վրա կան նաև իրենց հիմքով դեպի հյուախ դարձված ելուստներ, որոնց դիրքը վկայում է խախտման արևմտյան՝ ներքնակողի զանգվածների դեպի հյուախ տեղաշարժվելու մասին, իսկ խազերն այն մասին, որ այդ տեղաշարժը կատարվել է ոչ միայն հորիզոնական ուղղությամբ, այլև դեպի ցած: Տեղաշարժի ամպլիտուդան դժվար է որոշել, քանի որ չի հաջողվել հայտաբերել այն փոքրիկ երակների տեղաշարժված մասերը, որոնք կտրվել են կոմսոմոլի խախտման հարթությամբ:

Դատելով խազերի հորիզոնականի նկատմամբ ոմնեցած փոքր-շեղումով ($12-15^{\circ}$) պետք է ենթադրել, որ տեղաշարժման ամպլիտուդան անկման ուղղությամբ եղել է աննշան: Ինչ վերաբերում է հորիզոնական տեղաշարժի մեծությանը, ապա մեր կարծիքով այն նույնպես մեծ չի եղել: Այդ մասին բավական պերճախոս կերպով վկայում է № 2 երակը (№ 6 հանք) կոմսոմոլի խախտման արևմտյան կողմում, որն անհրաժեշտ է դիտել ոչ որպես ինքնուրույն երակ, այլ № 32 երակի փոքր ինչ տեղաշարժված շարունակությունը:

Կոմսոմոլի խախտումն անցնում է № 6 հանքի № № 12, 14,

15, 20, 29, 32 երակների արևմտյան թևով; Հատում է նրանց և հավանաբար սրոշ շափով տեղաշարժում դեպի հյուսիս:

Նկարագրվող խախտումը սուր անկյան տակ ($35-45^{\circ}$) հատում է Մեծ-Մաղարայի զոնան. Կապիտալ շտոլնայում նա անցնում է վերջինիս ներքնակողով (արևմտյան թե), իսկ դեպի վեր խաշաձևելով նրա հետ, կտրում, անցնում է արևելք, արևմուտքում թողնելով նույնիսկ Մեծ-Մաղարայի խախտման «Արևելյան Հյուպը»:

Կոմսոմոլի խախտումը, որն այնքան լավ է արտահայտված ստորերկրյա փորմածքներում, մակերեսում քողարկված է ալլունիալ-դելյուվիալ նստվածքների բավականաշափ հաստ շերտով:

բ) № 5 հանքի խախտման զոնան ձգվում է № 4 երակի շտորեկից մինչև № 1 երակի ճյուղի արևելյան վերջավորությունը և տարածվում է դեպի NW 335° , անկումը՝ SO 35° : Նրա լայնությունը հասնում է $15-16$ մ: Այս խախտումը № 4 երակը երկու ձեղքով տեղաշարժել է դեպի հյուսիս-արևելմուտք: Տեղաշարժման ամպլիտուդան Վ. Ն. Կոտլյարի տվյալներով հորիզոնական ուղղությամբ հասնում է 24 մ:

Բացի այդ խախտումից № 5 հանքում նշվում է $1-3,5$ մ հորիզոնական տեղաշարժ առաջցրած մի խախտում ևս, որը որոշակի կերպով արտահայտված է հանքի -34 , -45 և -60 հորիզոններում:

Կոմսոմոլի հանքում շափականց շատ են ավելի փոքր խախտումները: Դրանք շնորհիվ իրենց տարբեր բնույթի, կարող են տարբեր կերպ խմբավորվել, նայած տեղադրման էլեմենտներին, հանքային երակների նկատմամբ ունեցած իրենց վարքագիրն, շփման կավերի պարունակությանը, ջրաբերությանը և այլն:

№ 6 հանքի հետհանքային խախտումների տեղադրման էլեմենտների բնույթը բավականաշափ ակնառու կերպով արտացոլված է Շմիդտի դիագրամով (գծ. 5-3): Ինչպես երևում է այդ դիագրամից, հետհանքային ձեղքերը (581 հատ) ունեն առավելապես միջօրեական, մասսամբ էլ հյուսիս-հյուսիս-արևելմուտյան և հյուսիս-հյուսիս-արևելյան ուղղություն:

Հետհանքային ձեղքերի անկման անկյունները սովորաբար հասնում են $70-80^{\circ}$: Դրանց մեծ մասը հատում է հանքային երակները առանց տեղաշարժելու նրանց, իսկ մյուսների հար-

թությամբ կատարված տեղաշարժերը, բացառությամբ № 5 հանքի վերը նշվածներից, հորիզոնական ուղղությամբ 2 մ շեն անցնուած և առանձնապես շեն բարդացնուած շահագործման աշխատանքները: Հաճախ շատ դժվար է որոշել այդ տեղաշարժերի բնույթը, որովհետև ճեղքերի հարթության վրա բացակայուած են սահման հայելիներ, խաղեր, ակոսիկներ, ելուսաներ և այլն:

Եփման կավերի պարունակության տեսակետից հետհանքային ճեղքերը պայմանականորեն կարելի է բաժանել երեք խմբի՝ 1. շփման կավեր չպարունակող ճեղքեր, 2. ճեղքեր, որոնք պարունակում են 0-ից մինչև 1 սմ հաստության շփման կավեր և 3. ճեղքեր, որոնք պարունակում են 1 սմ ավելի հաստության կավեր:

Եփման կավին իրենից ներկայացնուած է գարշնագույն կավանման նյութ շրջակա ապառների բեկորների պարունակությամբ: Որոշ ջրաբեր ճեղքերում կավը լվացվել ու հեռացվել է:

Երկրորդ խմբի ճեղքերն ամենաբազմաթիվն են և, եթե ընդունվուած է որ շփման կավերի հաստությունը մյուս բոլոր հավասար հանգամանքների պայմաններուած սերտորեն կապված են խախտումների ամպլիտուդայի հետ և ուղիղ համեմատական են վերջինիս, ապա պետք է խոսսովանել, որ Կոմասոմոլի հանգում առհասարակ տեղի են ունեցել ոչ մեծ մասշտաբի տեղաշարժեր:

Այստեղ հարկավոր է ընդգծել, որ շփման կավի առաջացման գործում մեծ նշանակություն ունեն նաև պարունակող ապառի բնույթը, նրա քայլացվածության աստիճանը, խախտման բնույթն ու մեծությունը և այլն:

Ճեղքերի երրորդ խումբը ներկայացնուած է ավելի խոշոր խախտումները, որոնց թիվը շատ սահմանափակ է: Կավի հաստությունն այդ ճեղքերուած սովորաբար հասնուած է մի քանի սանտիմետրի:

Հետհանքային ճեղքերը ջրաբերության տեսակետից բաժանվուած են երեք խմբի՝ չոր, խոնավ և ջրաբեր: Կոմասոմոլի հանգում գերակշռուած են չոր ճեղքերը: Ջրաբերությունը հատուկ է հետհանքային խախտումների խոշոր զոնաներին, որոնք այսպես թե այնպես կապված են գետնաջրերի ճեավորման ու կուտակման շըրջանի հետ: Այսպիսի խախտումներից կարելի է նշել միայն

Կոմսոմոլի և № 5 հանքի № 4 երակը հատող մի շաբթ խոշոր ճեղքեր:

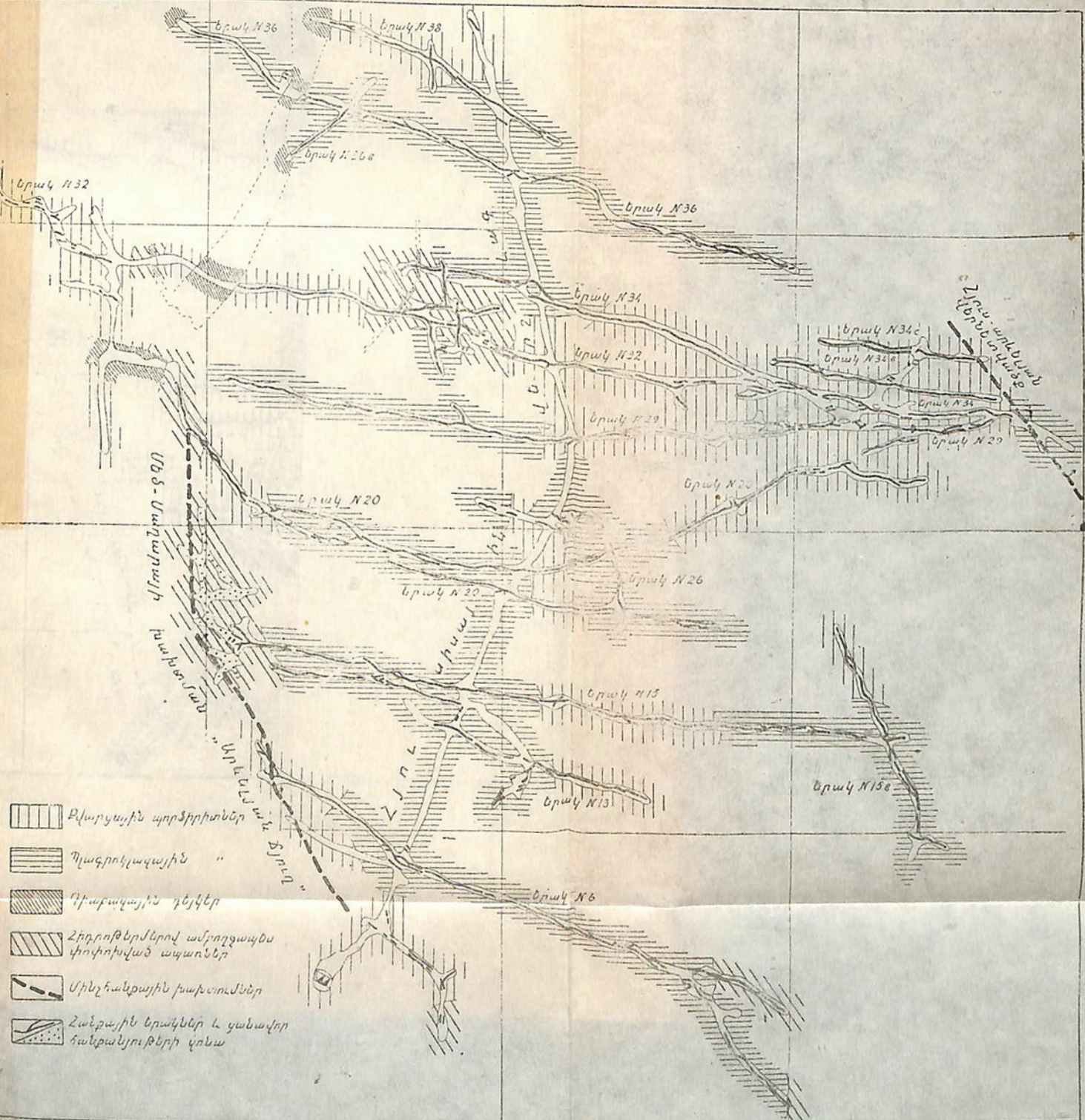
Վերջապես անհրաժեշտ է նշել, որ Կոմսոմոլի հանքում պրանցված ճեղքերի մի մասը մեր կողմից առանձնացվել է որպես անորոշ հասակի ճեղքեր (464 հատ), քանի որ նրանք զուրկ են այնպիսի նշաններից, որոնք մատնանշեին այս կամ այն հասակը, ինչպես օրինակ, շփման կամ ներկայություն, հանքայնացման հետքեր, հետհանքային միներալների ներփակումներ, ջրաբերություն և այլն: Չնայած դրան, այդ ճեղքերի մեծ մասը, հավանաբար առաջացել է հետհանքային շրջանում: № 4 դիագրամը (գծ. 5—4) ակնառու կերպով ցուցը է տալիս, որ տեղադրման էլեմենտներով անորոշ հասակի ճեղքերը միանգամայն մոտենում են հետհանքային ճեղքերին, այլ կերպ ասած № 3 և № 4 դիագրամների մեջ աչք ծակող տարրերություններ չկան: № 4 դիագրամից երեսում է, որ նկարագրով ճեղքերն ունեն միջօրեական և հյուսիս-հյուսիս-արևելյան տարրածում: Առաջինների անկման հարթությունը զարիթափ կերպով ընկնում է դեպի արևմուտք-հյուսիս-արևմուտք: Հյուսիս-արևմտյան ուղղության խախտումներ այս խմբի համար բնորոշ չեն և աչքի են ընկնում փոքրաթեք անկումներով:

III. ՀԱՆՔԱՎԱՐՄԻԵՐԻ ՄՈՐՅԱԼՈԳԻՍՆ

Ջափանի պղնձի հանքավայրը մինչև վերջին տարիներս համարվում էր երակացին հանքավայրերի կլասիկ տիպ: Սակայն նման բնութագիրը ներկայումս լրիվ համարվել չի կարող, որովհետև այն չի արտացոլում վերջերս մի շաբթ տեղերում, մասնավորապես № 7 և № 6 հանքերի սահմաններում հայտնաբերված ու հետազոտված ցրված հանքանյութերի տիպը, որը հանքաբարի հանույթում ունեցած իր տեսակաբար կշռով և իր հեռանկարներով հետզհետեւ հետին պլանն է մղում հանքայնացման երակացին տիպը:

Հանքավայրը փաստորեն իրենից ներկայացնում է երակացին-ցրված հանքանյութերի մի խառը տիպ:

Ջափանի հանքավայրի երակները առհասարակ և Կոմսոմոլի



Գծ. 6. № 6 հանքի - X հորիզոնի հատակագծի սխեման

Հանքինը մասնավորապես բնորոշվում են համեմատաբար ոչ մեծ շափուրով և աղնձի բավականաշափի բարձր պարունակությամբ:

Հանքային երակների երկրորդ առանձնահատկությունը հանգիսանում է նրանց զափիթափի անկումը ($60-80^{\circ}$ և ավելի) և մոտավորապես զուգահեռ դասավորությունը լայնակիին մոտ ուղղությամբ հանդերձ: Երակների անկման հարթությունը թեքվում է դեպի թե մեկ, թե մյուս կողմը, սակայն Կոմսոմոլի հանքի երակների համար ավելի բնորոշ է հյուսիսային անկումը:

Բացի չայնակի երակներից, № 6 հանքում կա միջօրեական երակների մի սակավաթիվ խումբ, տեղադրված ± 0 և -70 հորիզոնների միջև, որն ունի արդյունաբերական փոքր նշանակություն:

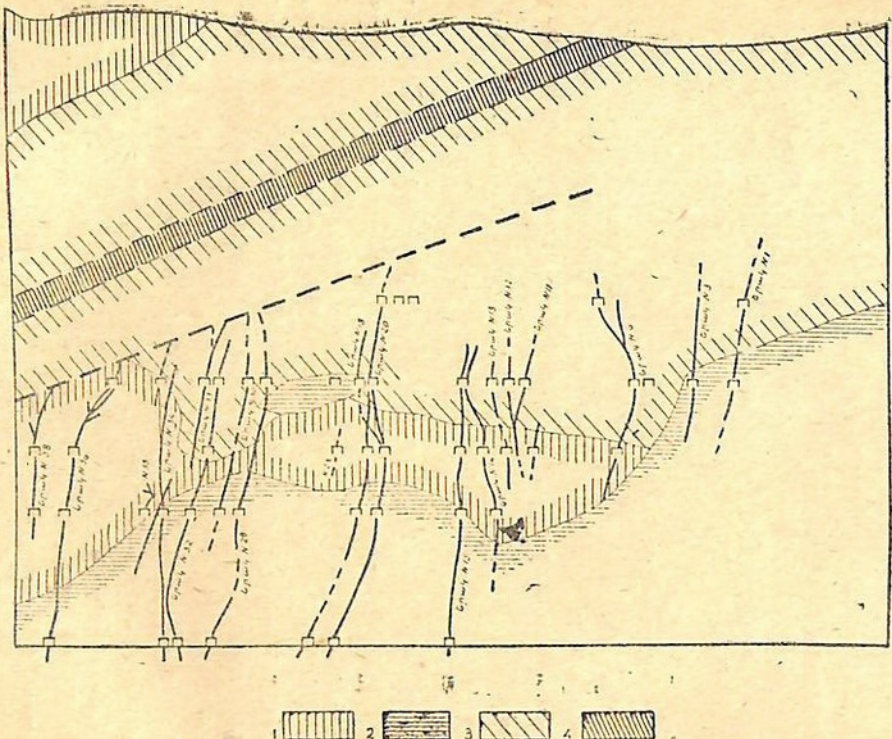
Կոմսոմոլի հանքում հայտնաբերված է ավելի քան 50 հանքային երակ, որոնցից հանքամարմինների մորֆոլոգիայի մասին դադարիար տալու համար անհրաժեշտ ենք համարում նկարագրեալ գոնե երակուաը և, բացի այդ, № 6 հանքի ցրված հանքանյութուրի գոնան:

ԵՐԱԿ № 29.

Այս երակը հանդիսանում է Կոմսոմոլի հանքի ամենախոշոր երակը: Նա մորֆոլոգիապես իր առանձին մասերում այնքան բարդ է, որ հարկ է լինում խոսելու ոչ որպես երակի մասին, որովհետեւ «երակ» տերմինը չի ընդգրկում հանքայնացման ողջ կոմպլեքսը, այլ երակների ամբողջ սիստեմի մասին, իսկ ինչ վերաբերում է նրա արևելյան թեկին, ապա այն ճիշտ կլինի անվանել «հանքահանգույց» (գծ. 6 և 7):

№ 29 երակը հատված է № 6 հանքի բոլոր հորիզոններում, բացառությամբ ± 0 հորիզոնից: 1946 թ. փորված հորանցքերը № 29 երակը հատեցին Կապիտալ շտունայի հորիզոնից ավելի քան 50 մ ցած, ընդորուած հանքանյութի որակի զգալի վատացում ըստ խորության առայժմ չի նկատվուած:

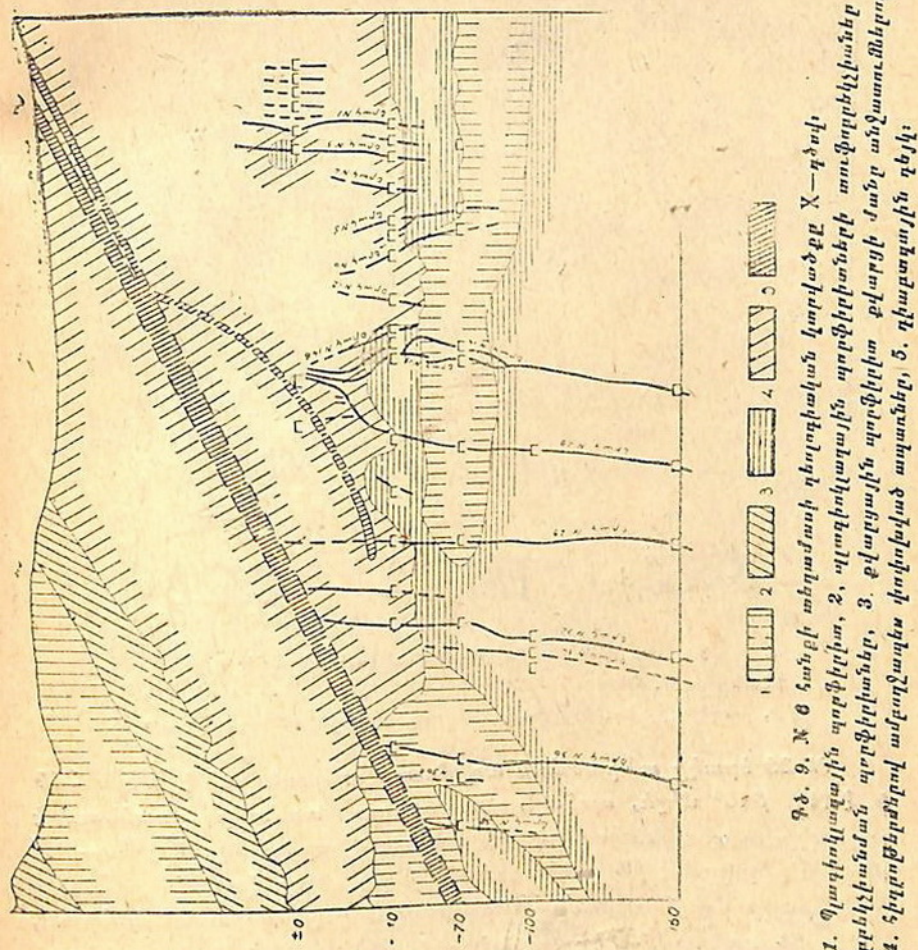
—40 հորիզոնում երակը տեղադրված է ամբողջապես փոփոխված ապառների մեջ: -70 հորիզոնում, հյուսիսային կվերջագից արևելքը № 29 երակը նույնպես գտնվում է ամբողջապես փոփոխված ապառների մեջ, իսկ նրանից արևմուտք՝ պլագիոկլազային պորֆիրիտների մեջ: -100 հորիզոնում նույն կվերջագից



ԳՅ. 8. № 6 հանքի տեղամասի գեոլոգիական կտրվածքներից մեկը:

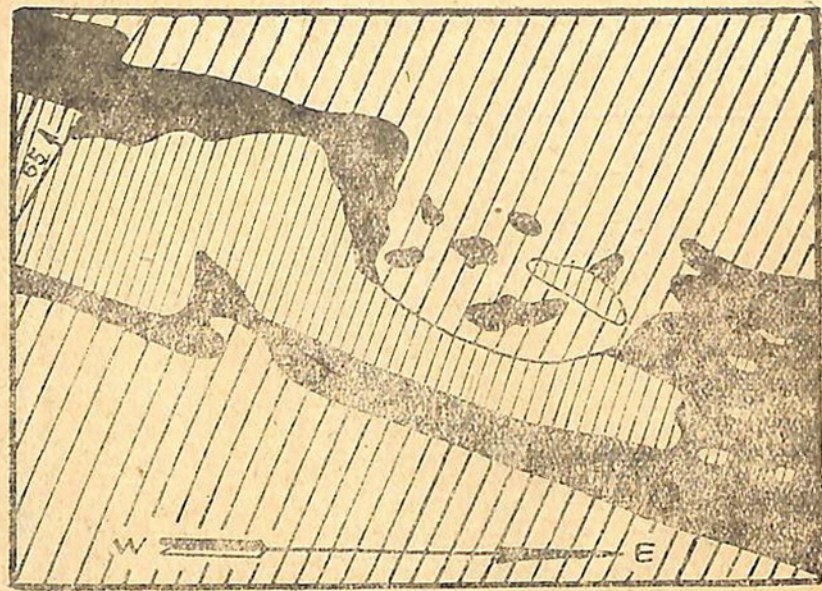
1. Պլազիոկլազային պորֆիրիտ, 2. քվարցային պորֆիրիտ, 3. հիդրօխերմերով մաքողապես փոփոխված ապառներ, 4. դիաբազային դիյկի

դեպի արևմուտք երակը տեղադրված է պլաֆիոկլազային, իսկ դեպի արևելք՝ քվարցային պորֆիրիտների մեջ:



- Պ. 9. № 6 հանքի տեղամասի դեղողական խորվածքը $X - q_{\delta} u_{\delta}$
1. Պլաֆիոկլազային պորֆիրիտ, 2. պլաֆիոկլազային պորֆիրիտների տուփորթելլիսիներ
բրիչեներ, պորֆիրիտներ, 3. քվարցային պորֆիրիտ քվարցի և անդաման մելանգրուլ,
4. հիդրօքսիդներ ամբողջապես փոփոխված ապաներ, 5. դիաբազային դեյտի.

Երակի հետազոտած մաքսիմալ երկարությունը տարածման ուղղությամբ հասնում է մինչև 285, իսկ անկման ուղղությամբ երակն առաջմամբ հետամտված է մոտ 200 մ:



ԳՃ. 10. № 6 երակի մորֆոլոգիայի բնույթը:
1. հանք № 6. հորիզոն՝ 70, «ՈԿ» 9+0,3մ—«ՈԿ» 9+1,5մ);
2. խալկոպիրիտ, 3. քվարց, 3. պլագիոկլազային պորֆիրիտ:

98. 10. № 6 երակի մորֆոլոգիայի բնույթը:

(Հանք № 6. հորիզոն՝ 70, «ՈԿ» 9+0,3մ—«ՈԿ» 9+1,5մ);
1. խալկոպիրիտ, 2. քվարց, 3. պլագիոկլազային պորֆիրիտ:

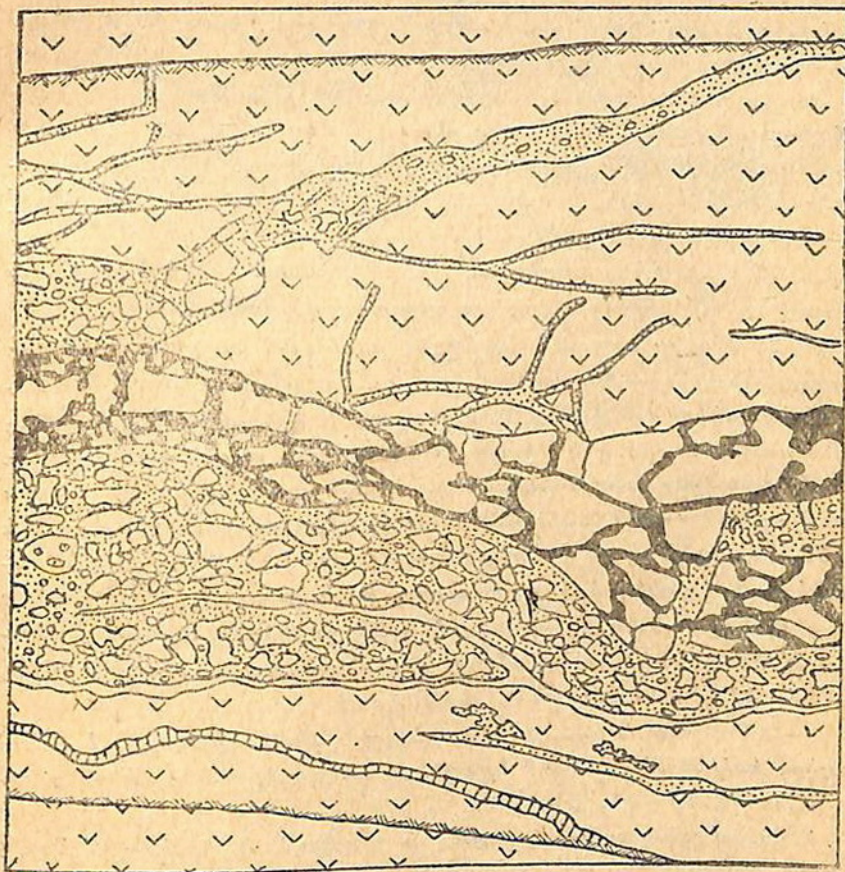
№ 29 Երակի տարածման ազիմուտը տատանվում է WSW 250° NNW 340° միջև, սակայն ընդհանուր առմամբ մոտենում է լայնակի ուղղությանը: Անկման անկյունը տատանվում է 50—90° միջև և թեքվում է թե դեպի հյուսիս և թե դեպի հարավ:

Երակի հաստությունը տատանվում է լայն սահմաններում, մի քանի սանտիմետրից (արևմտյան թե), մինչև 2 մ (արևելյան թե): Նրա միջին հաստությունը առանձին բլոկներում 8 սմ-ից հասնում է 90 սմ:

Երակը բնորոշվում է պղնձի բարձր պարունակությամբ:

№ 29 երակի արևելյան թեր հասնում է Հյուսիս-արևելյան վերնետվածքին և էկրանավորվում նրա կողմից: Երակը վերնետ-

Հյածքից 28 մ արևմուտք բաժանվում է երկու ճյուղի: Հյուախային
ճյուղը վերնետվածքից երեք մետրի վրա իր հերթին կիսվում է



Գծ. 11. № 6 երակի բըեկչիանման կառուցվածքը:
(Հանք № 6, հորիզոն՝ 70, արևելյան թհ):

1. Խալկոպիրիտ, 2. պիրիտ, 3. քվարց I, 4. քվարց II, 5. պլագիոկլազին
պորֆիրիտ, 6. ճեղքեր:

և ամենեին ուղղությունը չփոխելով ընդհուպ մոտենում է նրան։ Այսուհետև հյուսիսային ճյուղի երկու կեսն էլ միանում են, համարյա ուղիղ անկյան տակ շրջվում գեղի հարավ-արևելք և վերնետվածքի ներքնակողի հարթությամբ անցնելով մոտ 10 մ, միանում երակի հարավային ճյուղին։

Երակի հարավային ճյուղը վերնետվածքի առաջ իր հերթին բաժանվում է երեք մասի, հյուսիսային ճյուղի նման հասնում խախտման գծին և խիստ կերպով շեղում է ուղղությունը։ Շրջադարձի կետից երակն աստիճանաբար բարակում է և անցնելով 4,5—5 մ սեպաձև վերջանում է (գծ. 14)։

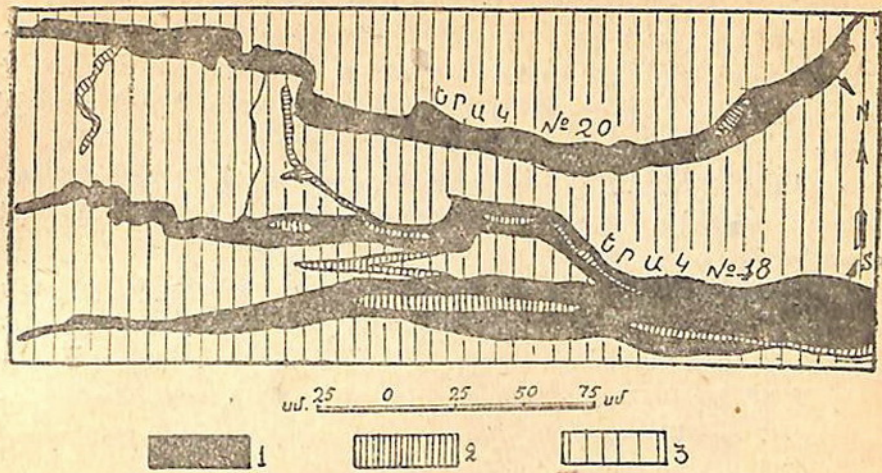
№ 29 երակի արևմտյան թեր չհասած Մեծ-Մաղարայի խախտման «Արևելյան ճյուղին» սեպաձև վերջանում է։

№ 29 երակը տարբեր հորիզոններում ունի տարբեր մորֆոլոգիական բնույթ։ —40 հորիզոնում, բացառությամբ № № 16, 17, 28 միջօրեական երակների հետ խաշածնման հատվածից, նա համեմատաբար պարզ է և միայն մի քանի տեղ բաժանվում է երկու ճյուղի։ Երակը մորֆոլոգիապես է՛լ ավելի պարզ է իր արևմտյան թեռում —70 և —100 հորիզոններում։ Երակի արևելյան կեսը —70 և —100 հորիզոններում իրենից ներկայացնում է փոքր ու մեծ երակների և երակիկների արտակարգ խիտ ցանցով բնորոշվող միքարդ հանքահանգույց, ընդորում —70 հորիզոնի արևելյան մասում № 29 երակի հետ միանում կամ մոտենում են նրան № № 20, 32, 34, 34^ա, 35^ա և 36 երակները։

—100 հորիզոնում երակի արևելյան թերին միանում է № 20^ա երակը, իսկ № № 32 և 38 երակները ցուցաբերում են նրան միանալու տենդինց (գծ. 7)։

Մոտավորապես նման պատկեր դիտվում է նաև —40 հորիզոնում և կապիտալ շտոլնայում։ —40 հորիզոնում № 29 երակին միանում են № № 20 և 27 երակները հարավից, № 32-ը՝ հյուսիսից։ Կապիտալ շտոլնայի հորիզոնում այդ երակին են միանում № № 20, 32, 34 երակները։

Վերը թվարկված բոլոր երակները № 29 երակի արևելյան թեռում կարծես թե առաջացնում են դեպի արևմտաք բացված մի սեկտոր, որի գագաթից սկսած նրանք մոտավորապես ուղիւղ ուղղությամբ, հովհարաձև ցրվում և հեռանալով նրանից աստիճանաբար բարակում են և, ի վերջո, ընդհատվում։ Վերին աստի-



Գծ. 12. № № 18 և 20 երակների ժերձեցումը.

(Հանք № 6, հորիզոն՝ 70, «ՊԿ» 99+4 մ—«ՇԿ» 99+7 մ)

1. խալկոպիրիտ, 2. քվարց, 3. սլավիտիլ. պորֆիրիտ:

Հանի ուշագրավ է, որ նույն պատկերը զարմանալի ճշտությամբ պրկնվում է հանքի բոլոր հորիզոններում, բացառությամբ ± 0 հուրիզոննի, որտեղ № 29 երակն առհասարակ բացակայում է:

Արեւլյան թեսում № 29 երակը, ինչպես նաև հանքահանգույցի բոլոր երակները, ներկայացված է մինչև 5 սմ հաստության բազմաթիվ երակիկներով ուղեկցվող մի ամբողջ շարք մեծ ու փոքր երակներով: Նշված երակիկները, ինչպես և պետք է սպասել, սովորաբար կողմնորոշված են հիմնական երակներին դուրս հեռ, այսինքն լայնակի ուղղությամբ, սակայն տեղափոխ այդ օրինաշափությունը խախտվում է և երակիկները ոչ միայն շեղվում են լայնակի ուղղությունից, այլև ձեռք են բերում միջօրեականի ուղղություն:

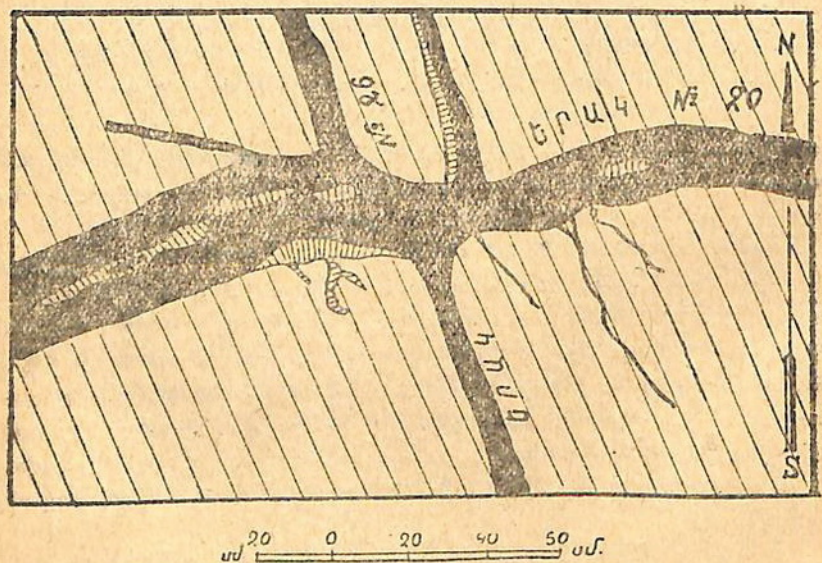
Երակի սահմանները տարբեր բնույթ ունեն ոչ միայն տարբեր հորիզոններում, այլ նույնիսկ միևնույն հորիզոննում: Երակի պարզուց գծագրաված սահմաններ ունեցող հատվածները հերթափոխվում են այնպիսի հատվածների հետ, որոնք ունեն թուլ արտահայտված սահմաններ կամ զրկված են որոշակի սահմանից: Հաղվադեպ շեն նաև այնպիսի տեղամասները, որտեղ երակի մի

սահմանն արտահայտված է շատ խիստ, իսկ երկրորդը բոլորովին չի նկատվում: Դա բացատրվում է նրանով, որ հավանաբար երակային ճեղքի ամենից խիստ բներդատված կողը ենթարկվել է տեղակալման ավելի ինտենսիվ պրոցեսների, քան մյուս՝ մասսիվ կողը:

Տեղ-տեղ երակի սահմանները ներկայացվում են նրա հիմնական դանդաղածին զուգահեռ դասավորված բազմաթիվ երակիկների սիստեմով:

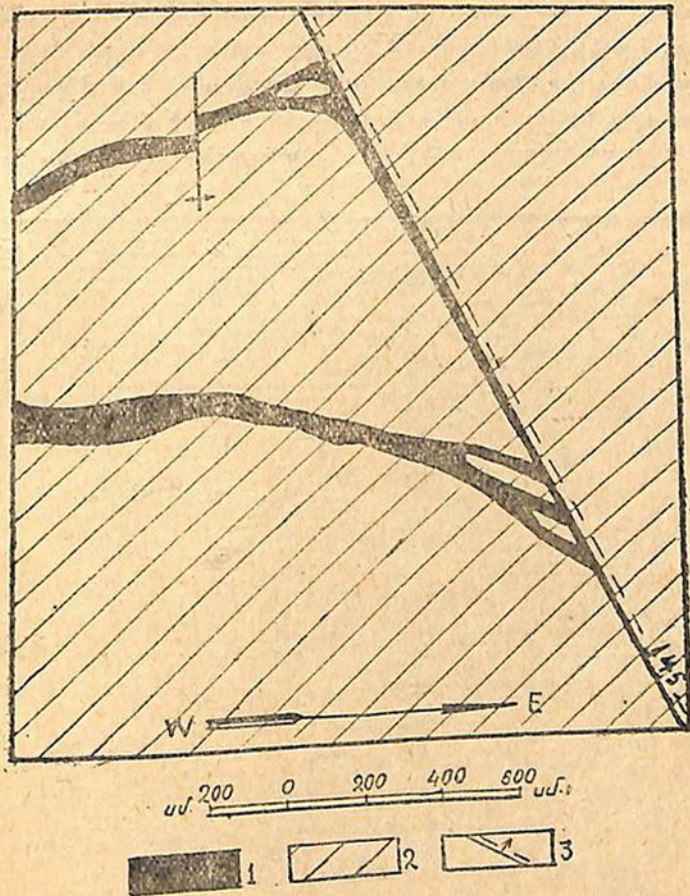
Հանքային երակների սահմանների նման բազմազանությունը պետք է բացատրել երակային ճեղքերի բնույթով և տեղակալման պրոցեսների ինտենսիվությամբ:

№ 29 երակի զանգվածի մեջ հանդիպում են պարունակող առարկաների ոսպնյակաձև ներփակումներ: Երակը ավելի քան տասը



Գծ. 1. № 20 և 26 երակների բաշաձեռւմը
(Հանք № 6, հորիզոն—70, «ԷԽ» 36+33,5 մ—«ՊԽ»+35,5 մ)
1. բաղկաղիրիտ, 2. քվարց, 3. պլազմիոլազ. պորֆիրիտ:

տեղ վարնեստվածքներով ու այլ բնույթի խախտումներով տեղաշարժվել է մինչև 20—25 սմ. ավելի մեծ աճաղիտուդայի վարնետվածք ($1,5$ — 2 մ) դիտվում է երակի արևելյան մասում:



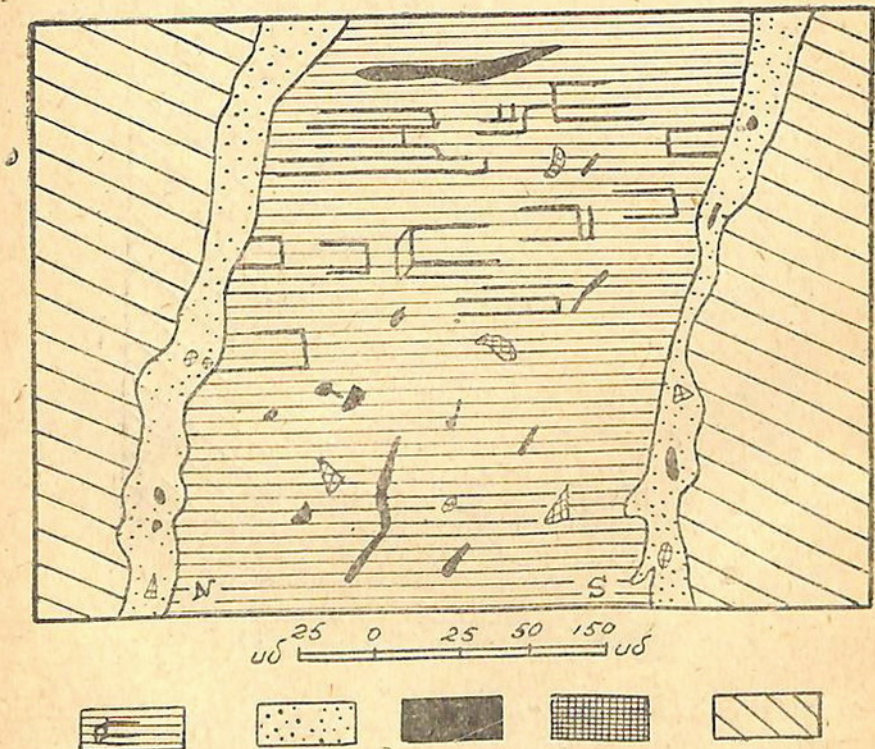
Գձ. 14. № 29 երակի էկրանավորումը Հյուսիս-արևելյան վերնետվածքով:
(Հանք № 6, հորիզոն—100, արևելյան թև)

1. խալոսովիրիտ, 2. ամբողջապես փոփոխված աղաղ, 3. խախտման գիծ:

№ 29 երակի միներալուգիական կազմը բարդ չէ. նրա մեջ գերակշռության կարգով մասնակցում են՝ խալկոպիրիտ, պիրիտ,

բորնիտ, հազվագեղ սֆալերիտ, էլ ավելի սակավ տեննանտիտ և խալկոպին: Աշ-Հանքային միներալներից հանդիպում են քվարց և կալցիտ:

Խալկոպիրիտը կազմում է հանքաղանգվածի կեսից ավելին և առաջացնում է համատարած, երբեմն առանձին մեկուսացած տեղամասեր, որոնք հերթագայում են պիրիտի ու քվարցի հետ: — 100 հորիզոնում խալկոպիրիտը երակում գրավում է 1,5 մ լայնության մի շերտ, որը երկու կողմից եղերապատվում է 10—12 սմ պիրիտի համատարած զանգվածով: Ինչպես պիրիտը, այնպես էլ խալ-

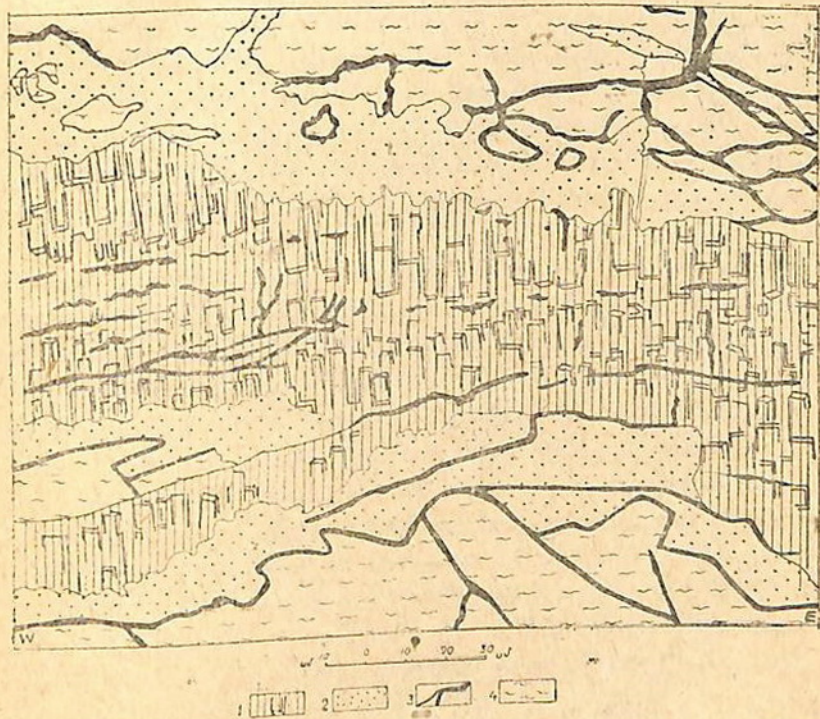


Գծ. 15. № 29 երակի լեզքի բնույթը:
(Հանք № 6, հորիզոն՝ 100, «ՈՒ» 85)

1. խալկոպիրիտ պլիզմատիկ անջատումներով, 2. պիրիտ, 3. քվարց, 4. սֆալերիտ, 5. սպազմիոկլազ. պորֆիրիտ:

կոպիրիտը պարունակում են սֆալերիտի և քվարցի անհամաշափ բաշխված փոքր ներփակումներ:

Պիրիտը, որը կազմում է երակալին դանդվածի քառարդից պակաս մասը, ներկայացված է համատարած գոտիներով և լավ զարգացած բյուրեղներով: Նա սովորաբար գրավում է երակի եղբայրին մասերը և անջատվել է խալկոպիրիտից առաջ (գծ. 15): Պիրիտը երբեմն առաջացնում է ավելի ուշ գեներացիայի երակիկներ, որոնք տեղաշարժում են խալկոպիրիտը: Պիրիտի քանակը զգալիորեն ավելանում է երակի արևմտյան թեում և նրա ստորին մասերում (Կապիտալ շտոլնացի հորիզոն): Մի շաբթ տեղերում պիրիտն առաջացնում է ցանավոր հանքայնացման գոտիներ:



Գծ. 16. № 29 Երակի արեելյան թեի կառուցվածքը:

(Հանք № 6, հորիզոն—100, գծ. Վ. Պ. Բելուսովայի)

1. Խալկոպիրիտ պրիզմատիկ անջատումներով, 2. քվարց պիրիտի և խալկոպիրիտի հետ, 3. քվարց, 4. ամբողջապես փոփոխված ապառէ

Բորնիտը երակի միներալովիական կազմության մեջ աննշան-
տեղ է գրավում. ներկայացված է փոքր տեղամասերով և ավելի
մանր ներփակումներով: Նրա քանակը երակի ստորին մասերում
զգալիորեն ավելանում է:

Սփալերիտը հանդիպել է միայն երակի արևելյան թեռում (-100
Հորիզոն), որտեղ նա տալիս է փոքր բնանման ներփակումներ ու
բարակ երակիկներ:

Խալկոզինը պատահում է հազվադեպ հատիկների ձևով, իսկ
տեննանտիտի ներկայությունը հաստատված է միկրոսկոպով:
Քվարցը ամենից առաջ տալիս է ուղղագիծ կամ ծուռ ու մուռ ե-
րակիկներ, որոնք հիմնական երակին երթեմն հաղորդում են զո-
ւալվություն: Վերջինս համեմատաբար լավ է արտահայտված ե-
րակի արևելյան մասում և հատկապես -100 Հորիզոնում: Ծառ
հաճախ քվարցն առաջացնում է առանձին բնանման կուտակում-
ներ, որոնք առավելապես բնորոշ են երակի լայնացած մասերի
համար: Քվարցը, ինչպես և պիրիտն ու խալկոպիրիտը ներկայաց-
ված են մի քանի գեներացիաներով: Քվարցի քանակը երակի արև-
մտյան թեռում զգալիորեն ավելանում է և կազմում երակային
զանգվածի մոտ կեսը:

Կալցիտը երակի կազմում աննշան գեր է խաղում. սովորա-
բար տալիս է բնանման ներփակումներ և բարակ երակիկներ:
Կալցիտի երակիկներ երթեմն պատահում են պարունակող ապառ-
ներում:

№ 29 երակի տեքստուրան նրա տարբեր մասերում տարբեր է:
Երակի արևմտյան մասն ունի մասսիվ տեքստուրա, իսկ արևելյան
մասի համար բնորոշ է ինչպես մասսիվ, այնպես էլ երկայնակի-
զոլավոր և այլ տեքստուրաներ: Այդտեղ երկայնակի-զոլավոր տե-
ղամասերը տարածման ու անկժման ուղղություններով հերթագա-
յում են մասսիվ կառուցվածք ունեցող հատվածների հետ: Տեղ-
տեղ դիտվում է բծավոր-զոլավոր տեքստուրա, խալկոպիրիտի ան-
շատ-անշատ և խիտ դասավորված բնանման ներփակումները պա-
րունակող ապառի մոխրագույն ֆոնի վրա, ինչպես նաև քվարցի
երակիկների ներկայությունը երակին հաղորդում են բծավոր-զո-
լավոր տեքստուրայի կերպարանք:

Անհրաժեշտ է նշել, որ հաճախ տարբեր տեքստուրա ունեն
նույնիսկ կողք-կողքի տեղադրված երակները: Այդ տեհակետից շատ-

ուղագրավէ — 100 հորիզոնի արևելյան մասը, որտեղ մի երակնոնի մասսիվ, իսկ անմիջապես նրա կողքով անցնող մյուս երակը՝ երկայնակի-զոլավոր տեքստուրա:

ԵՐԱԿ № 32

Այս երակը № 6 հանքի մնացած երակներից տարբերվում է տեղագրման էլեմենտների համեմատաբար մեծ կայունությամբ և ավելի պարզ մորֆոլոգիայով: Իր սահմանների սրոշակիությամբ և պարունակած հանքանյութի համարյա մոնոմիներալ կազմությամբ այս երակը գործում է միանգամայն ուռուցն տեղ:

№ 32 երակը հատված է բոլոր հորիզոններում, բացառությամբ ± 0 հորիզոնի: Կապիտալ շտոլնայից 50 մ ցած այն հատված է հորանցքերով:

№ 32 երակը — 40 հորիզոնում տեղադրված է հիդրոթերմերով ամբողջապես փոփոխված ապառների, իսկ տարրին հորիզոններում՝ քվարցային պորֆիրիտների մեջ: Նա տարածման ուղղությամբ հետամտված է մինչև 285 մ, իսկ անկման ուղղությամբ մոտ 190 մ:

Երակը տարածվում է դեպի WSW 260—WNW 305 աստիճան, նա ընկնում է գեղի հարավ-արևելք և հյուսիս-արևմուտք, իսկ անկման անկյունը տատանվում է 40 և 90 աստիճանների միջև ($\pm 65-70^{\circ}$): Երակի միջին հաստությունն առանձին արդյունաբերական բլոկներում տատանվում է 10-ից մինչև 28 սմ: Երակն աշբի է ընկնում պղնձի բարձր պարունակությամբ:

№ 32 երակի արևմտյան թեր — 40, — 70 և — 100 հորիզոններում, նախքան Մեծ-Մազարայի խախտման «Արևելյան ճյուղին» հասնելը ընդհատվում է, իսկ Կապիտալ շտոլնայի հորիզոնում, շտոլնայից արևմուտք համարյա վերանում է:

— 40 հորիզոնում այս երակի արևելյան թեր է կրանավորվում՝ է Հյուսիս-արևմելյան վերնետվածքով: — 70 հորիզոնում Հյուսիսային կվերշլաքից արևելք № 32 երակը միանում է № 34 երակին, առ էլ իր հերթին № 29 երակին: — 100 հորիզոնում նա նույնպես ձգտում է դեպի վերշինս: Վերշապես Կապիտալ շտոլնայի հորիզոնում № 32 երակը ուղղակի միանում է № 29 երակի հետ:

Անհրաժեշտ է ընդգծել, որ երեքն շատ դժվար, նույնիսկ

անհնար է որոշել երակի համարը, օրինակ Կապիտալ շտունայի հորիզոնում առայժմ դժվար է ասել, թե այստեղ հատված երակներից որն է № 20, որը № 29 կամ 32 և այն, որովհետև դրանք բոլորն էլ այս կամ այն կերպ միանում են իրար, կամ գտնվում են միմյանց շարունակության վրա, այդ պատճառով նման խճճված հանքահանգուցում, ինչպիսին է № 29 երակի սիստեմը, երակների համարակալումը որոշ շափով պայմանական բնույթ է կրում:

№ 32 երակը ճյուղավորվելու տեսքինց չի ցուցաբերում: Այս դիտողությունն առանձնապես վերաբերում է —100 հորիզոնին և —70 հորիզոնի մեծ մասին, բացառությամբ նրա արևմտյան կեսի, որտեղ № 32 երակը խաչաձևվում է երկու համարյա միջօրեական երակների հետ: Վերջիններիս շնորհիլ № 32 երակը միանում է № 34 երակի հետ, որի հետևանքով այստեղ ստեղծվում է մի փոքր հանքահանգուց, համեմատաբար աղքատ, մանր երակիկների ու երակների մեծ կոնցենտրացիայով: Նշված միջօրեական երակները հավանաբար կազմում են —40 հորիզոնի նույն տարածման երակների շարունակությունը դեպի ցած: Նման, սակայն ավելի մեծ մասշտաբի հանքային հանգուց դիտվում է —40 հորիզոնում, որտեղ խաչաձևվում են № № 29, 30 և 32 լայնակի և № № 16 և 17 միջօրեական երակները իրենց ուղեկից երակիկների սիստեմով հանդերձ:

№ 32 երակը —40 հորիզոնում, բացառությամբ վերը նշված հանքային հանգուցի, ունի շատ պարզ մորֆոլոգիա:

№ 32 երակը մի շարք խախտումներով տեղաշարժվել է մինչև մի քանի տասնյակ սանտիմետր, հազվադեպ՝ 1 մ:

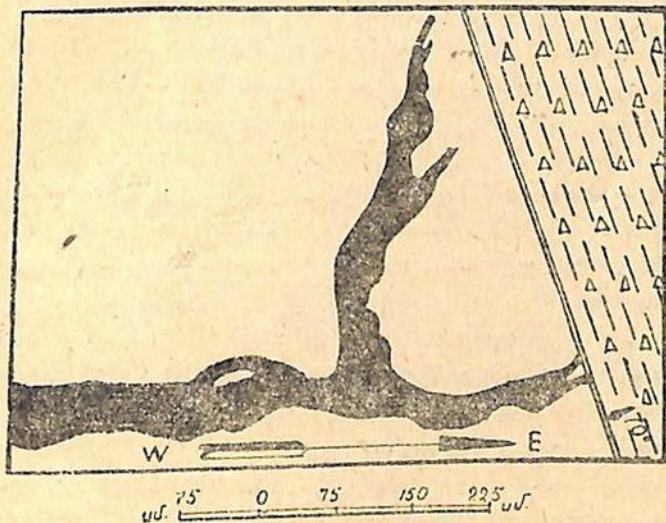
Նկարագրվող երակի միներալոգիական կազմի բնորոշ գիծը դա երակային զանգվածի մեջ պիրիտի աննշան դերն է ու կալցիտի գերակշտությունը քվարցի նկատմամբ, մանավանդ հանքի ստորին հորիզոններում: Երակի երկրորդ առանձնահատկությունը կայանում է նրա համարյա գույտ խալկոպիրիտային կազմության, հետևաբես պղնձի բարձր պարունակության մեջ:

Խալկոպիրիտն առաջացնում է մասսիլ կառուցվածքի համաձարած տեղամասեր, որոնք երբեմն (—100 հորիզոն) համարյա ամբողջապես լցնում են երակային ձեղքը: Տեղ-տեղ խալկոպիրիտի ընդհանուր ֆոնի վրա նկատվում է բոլոնիտ, որի քանակությունը

Համեմատաբար զգալի է երակի արևմտյան մասում՝ -70 և -100° հորիզոններում:

Պիրիտը երակի կաղմության մեջ երկրորդական տեղ է զրավում և մեծ մասամբ ներկայացված է նրա եղբային մասերում դասավորված լավ զարգացած բյուրեղների (պենտագոն դոդիկտեղերի) ձևով:

Երակի հանքանյութերում պատահում են սփալերիտի մանր հատիկներ: № 32 երակի արևելյան մասի (-70° հորիզոն) հանքանյութերը միկրոսկոպով ուսումնասիրելիս հեղինակը սահմանել է էնարգիտի աննշան քանակություն:



Գ. 17. № 5 հանքի № 4 երակի էկրանավորումը Մեծ-Մաղարայի
խախտման զանայով
(Կապիտալ շտունայի ենթաճարկային շտրեկ):

Ոչ-մետաղական միներալներից երակում հանդիպում է կալցիտ, որն առաջացրել է առանձին բնանման ներփակումներ, իսկ երակի սահմաններից դուրս՝ խալկոպիրիտի ցան պարունակող բարակ երակիկներ:

Քվարցը երակի կաղմում աննշան տեղ է զրավում: Նրա քանակը քիչ թե շատ զգալի է դառնում երակի վերին և ստորին մա-

անբուժ. սովորաբար հանդես է գալիս մինչև 5—6 սմ հասնող եւ բակիկների և փոքր ներփակումների ձևով:

Երակի սահմանները հիմնականում արտահայտված են որոշակիորեն, իսկ — 100 հորիզոնում, բացառությամբ առանձին տեղամասերի, նույնիսկ ուղղագիծ են: — 70 հորիզոնում երակի սահմանները բավականաշատ որոշակի, սակայն վերին աստիճանի ծուռ ու մուռ են:

Երակի կառուցվածքը մասսիվ է:

ՅԱՆԱՎՈՐ ՀԱՆՔԱՆՅՈՒԹԵՐԻ ԶՈՆԱ

№ 6 հանքի ցանավոր, բրեկֆանման հանքանյութերի գոնան տեղադրված է № 12, 14 և 15 երակներից արևմոտքը: Այդ զոնան առաջման հայտաբերված է — 40, — 70 և — 100 հորիզոններում, ընդորում — 40 հորիզոնում այն արտահայտված է շատ թույլ:

Եշված գոնան գտնվում է հիդրոթերմալ պրոցեսներով ամբողջապես փոփոխված ապառների մեջ: Ապառների փոփոխությունը հիմնականում արտահայտվում է նրանց քվարցացման և սերիտացման մեջ: Պիրիտի ցանի գոյությունը ևս պարտական է հիդրոթերմալ պրոցեսներին:

Ցանավոր հանքանյութերի գոնան տարածվում է դեպի NNW 345—350°, — 100 հորիզոնում նրա հարավային մասը խիստ կերպով շեղվում է դեպի հարավ-արևելք:

Զոնան ընկնում է դեպի արևելք, — 40 և — 70 հորիզոնների միջև նրա անկման անկյունը հավասար է մոտ 30—35°, իսկ — 70 և — 100 հորիզոնների միջև անկյունը 7—100° ավելի զարիթափ է դառնում:

Ցանավոր հանքանյութերի գոնան տարածման տևղությամբ ձգվում է 120—150 մ, ընդորում ամենամեծ երկարությունն նաև ունի — 100 հորիզոնում, իսկ անկման ուղղությամբ առնվազը 75 մ. նրա ստորին սահմանը առաջման վեց որոշված: Զոնայի լայնությունը տատանվում է 15—30 մ սահմաններում:

Ցանավոր հանքանյութերի գոնան իրենից ներկայացնում է պիրիտի, մասամբ խալկոպիրիտի ցրված հատիկների և նույն միներալների անհամաշատ բաշխված երակիկների ու բնանման կու-

առակումների, ինչպես նաև քվարցի երակիկների ու տարբեր մեծության ներփակումների մի բարդ զուգակցություն հիգրոթերմներով ամբողջապես փոփոխված ապառների մեջ:

Ուշադիր դիտումները ցույց են տվել, որ ցանավոր հանքանյութերի զոնան հանդիսանում է ուղիղ շարունակությունն այն հանքային երակների, որոնք ընդհուպ մոտենում են Մեծ-Մաղարայի խախտման «Արևելյան ճյուղին» (№ № 12, 14 և 15):

Ենթեդա անհրաժեշտ ենք համարում շոշափել այն հարցը, թե ինչու երակային ճեղքերը հասնելով վերը նշված մինչհանքացին փափառման զոնային, խիստ կերպով ճյուղավորվում են ու վերածվում բաղմաթիվ մանր ճեղքերի ու ծերպերի և վերջի վերջո բոլորովին փակվում:

«Արևելյան ճյուղին» հարող ապառները հիգրոթերմալ պրոցեսների հետևանքով ամբողջապես փոխվել են, վերածվել երկրորդական քվարցիտների կամ խիստ կերպով հարստացել քվարցով ու սերիցիտով, ընդորում այդ երկրորդական միներալները պարունակող ապառների մեջ բաշխվել են ծայր աստիճան անհամաշափ: Դրա հետևանքով ապառները դրկվել են իրենց միատարր կառուցվածքից և, որ շատ կարևոր է, առանձնության ճեղքերից, որոնց քաղաքի վրա ամենայն հավանականությամբ առաջացել են երակային ճեղքերը: Նման փոփոխություններ կրած ապառները դրկվել են տեկտոնական ուժերի ադդեցության ներքո խոչոր երակային ճեղքեր առաջացնելու ունակությունից և տվել են միայն մանր ճեղքեր ու ծերպեր, որոնց դասավորության մեջ ոչ մի համաշափություն չի նկատվում:

№ 15 երակը —70 և —100 հորիզոններում աստիճանաբար փոխանցվում է ցրված հանքանյութերի զոնային, ընդորում երակը քանի մոտենում է վերջինիս, այնքան ավելի խիստ է ճյուղավորվում, վերածվում շատ բարակ քվարց-սուլֆիդային երակիկների: Այդ երակիկները հեռանալով հիմնական երակային ճեղքից տեղի են տալիս մանր բնանման կուտակումների, սրանք էլ իրենց հերթին պիրիտ-խալկոպիրիտային տիպիկ ցանի:

Զոնայի հանքայնացման ինտենսիվությունն արևելքից դեպի արևմուտք, այսինքն հանքային երակից դեպի «Արևելյան ճյուղը» աստիճանաբար ընկնում է, որը սերտորեն կապակցվում է այն մտքի հետ, թե զոնան մուտք գործած հիգրոթերմները շարժվել են

Երակացին ձեղքերից: Ինչ վերաբերում է «Արևելյան ճյուղի» հիմնական ձեղքերում տեղ-տեղ հանդիպող ավելի հարուստ հանքաբեկորներին, ապա հնաբավոր է, որ գրանք առաջացած լինեն ավելի վաղ, քան հանքայնացման հիմնական ֆազերը, այլ կերպ առած այն ժամանակ, երբ հանքադաշտի ապառները ենթարկվել են ընդհանուր միներալիզացիայի:

Անհրաժեշտ է ընդգծել, որ զոնայի հանքայնացումը ի տարրերություն երակների ձեավորումից, հետևանք է տեղակալմանը պրոցեսների, ընդորում վերջիններիս ազդեցությանը ենթարկվել ենուշե զոնայի առանձին բրեկշիաները, այլ նրանց ցեմենտող նյութը: Դրանով էլ բացատրվում է այն հանգամանքը, որ իրենք բրեկշիաները կամ բոլորովին չեն հանքայնացել, կամ պարունակում են պիրիտի աննշան ցան, իսկ նրանց շուրջը դիտվում է խալկոպիրիտի և պիրիտի խիտ ցան և քարց-սովորված հարակիկների:

Այսպիսով, ցրված, բրեկշիանման հանքանյութերի զոնան իր գոյությամբ պարտական է «Արևելյան ճյուղին» և նրա զոնային հարող երակացին ձեղքերի առկայությանը:

IV. ՀԱՆՔԱՆՅՈՒԹԵՐԻ ՏԻՓԵՐԸ, ՆՐԱՆՑ ՍՏՐՈՒԿՏՈՒՐԱՆ ԵՎ ՏԵՔՍՏՈՒՐԱՆ

Կոմսոմոլի հանքի հանքանյութերը իրարից խիստ կերպով տարրերվում են ինչպես միներալոգիական կազմությամբ, այնպես էլ ստրոկտուր-տեքստուրային ու գենետիկ առանձնահատկություններով: Եթե հանքանյութերի առանձին տիպերի ստրոկաժանման հիմքում՝ դնել միներալոգիական կազմության փոփոխման սկզբունքը, ընդորում հաշվի առնել երակացին զանգվածի մետաղական ու մետաղական բաղադրամասերի քանակական հարաբերակցությունը, ապա կստացվի հանքանյութերի երկու տասնյակից ավելի տիպ, սակայն հանքանյութերի նման մանրամասն ստորաբաժանումը հազիվ թե ունենա գործնական ու տեսական նշանակություն և օգտակար լինի հանքում աշխատողների համար: Այդ իսկ պատճառով նպատակահարմար ենք համարում մեզ հետաքրքրող բոլոր հանքանյութերը բաժանել 4 հիմնական տիպի, թեպետ այդ դեպքում միևնույն տիպի մեջ կարող են ընկնել փոքր ինչ տարրեր միներալոգիական կազմություն և առանձին բաղա-

դրամասերի տարբեր քանակական հարաբերակցություն ունեցող հանքանյութեր:

1. Ծծումբկոլչեղանացին տիպ, 2. պղինձ-ծծումբկոլչեղանացին տիպ, 3. պղինձկոլչեղանացին տիպ, 4. բորնիտացին տիպ, ա) պիրիտ-բորնիտացին ենթատիպ, բ) բորնիտ-խալկոպիրիտ-տեննանիտացին ենթատիպ, գ) բորնիտ-էնարգիտացին ենթատիպ:

Վերը թվարկված տիպերից առաջին երկուաը կարող են բաժանվել ցանավոր և մասսիվ հանքանյութերի:

Եթե որպես հանքանյութերի դասակարգման հիմք ընդունենք միներալացին աղբեղատի ստրովիուրան, ապա հանքանյութերը կարելի է բաժանել երկու հիմնական մեծ խմբի՝ բյուրեղացին և կոլոմորֆ: Վերջին ստորաբաժանումը ունի նաև գենետիկական իմաստ, քանի որ բյուրեղացին հանքանյութերը առաջացել են առավելապես միներալիզացիայի առաջին, իսկ կոլոմորֆը՝ վերջին ֆազերում:

Կախված հանքանյութերի առաջացման պայմաններից, այն բանից, թե, տեղի է ունեցել արդյոք հանքաբեր լուծույթների քիչ թե շատ աղատ շրջանառություն, միներալիզացիայի առանձին ֆազերի վերադրում, կամ թե մետասոմատոզ տարբերում են մասսիվ, երկայնակի-զոլավոր, ցանավոր և բրեկվանուման տեքստուրաներ:

1. Ծծումբկոլչեղանացին տիպն իրենից ներկայացնում է պարունակող ապառում ցրված պիրիտի խիտ ցան, կամ երակացին զանգվածում հանդիպող առանձին մասսիվ տեղամասեր: Վերջիններս սովորաբար որոշակիորեն չեն սահմանագծվում և որպես կանոն երակացին զանգվածում տեղաբաշխվում են վերին աստիճանի անհամաշափ, առանց որևէ օրինաչափության: Չնայած գրան, այնուամենայնիվ կարելի է նշել, որ տվյալ տիպի հանքանյութերն ընդհանուր առմամբ հարում են № 6 հանքի հարավացին և արևմտյան մասերին:

Այս տիպը արդյունաբերական նշանակություն չունի, ընդհակառակը, շնորհիվ նրա լայն տարածման, հանքացին երակներում իջնում է պղինձ պարունակող միներալների տոկոսը, իսկ այնտեղ, որտեղ երակներն ունեն աննշան հաստություն, նրանց զըրկում է արդյունաբերական արժեքից:

Ծծումբկոլչեղանացին հանքանյութերն իրենց կազմությամբ

շատ պարզ են. նրանք բազկացած են բացառապես պիրիտից և քվարցից: Պիրիտի քանակն անհշան խառնուրդից հասնում է մինչև 75—80 տոկոսի:

Քվարցը հանդիսանում է պիրիտի սովորական ուղեկիցը և նրա հետ կազմում է ամենատարբեր քանակական հարաբերակցություններ, առաջացնելով պիրիտի ցան պարունակող զգալի կուտակումներ, կամ թե մտնում է ծծումբկոլշեղանային հանքանյութերի մեջ որպես երկրորդական և հաղիվ նկատելի բազադրամաս:

Նկարագրվող հանքանյութերում երբեմն դիտվում է պարունակող ապառների զգալի խառնուրդ:

Հաճախ պարունակող ապառում պիրիտի բյուրեղների և քվարցի ներփակումների քիչ թե շատ համաշափ բաշխման հետեանքով հանքանյութը ձեռք է բերում բծավոր տեքստուրա, իսկ դրանց անհամաշափ բաշխման դեպքում՝ բրեկչիանման տեքստուրա:

Ծծումբկոլշեղանային հանքանյութերն ունեն բյուրեղային և կոլլոֆորմ տեքստուրաներ: Վերջիններիս մեջ ոչ հազվադեպ նրկատվում են կարծր լուծույթի տրոհման ստրոմակտորայի և առհասարակ բյուրեղացման նշաններ:

Բյուրեղային հանքանյութերն առաջացել են միներալիզացիայի 1-ին և 2-րդ, իսկ կոլլոմորֆը՝ հաջորդ ֆազերում: Պարունակող ապառների պիրիտիզացիան, անշուշտ տեղի է ունեցել երակային ձեղքերի պիրիտից (2-րդ ֆազ) ավելի շուտ, այսինքն միներալիզացիայի 1-ին ֆազում: Անհրաժեշտ է նշել, որ պարունակող ապառների պիրիտիզացիան շատ լայն տարածված երևույթ է, այդ իսկ պատճառով նրա ներկայությունը չի կարող հանքամարմիններ որոնելու ցուցանիշ ծառայել:

Ծծումբկոլշեղանային հանքանյութերը խալկոպիրիտի այս կամ այն քանակի պարունակությամբ աստիճանաբար անցնում են երկրորդ տիպին:

2. Պղինձ-ծծումբկոլշեղանային տիպը հանդիսանում է հանքանյութերի ամենատարածված տիպը և ունի գործնական մեծ նշանակություն: Հանքից հանվող հանքանյութերի մոտ երեք բառորդը պատկանում է այս տիպին:

Հանքային բազադրամասերի քանակի տեսակետից ամլալ տիպն ամենաբարդն է: Նրա կազմության մեջ մտնում են՝ խալկո-

պիրիտ, պիրիտ, բորնիտ, տեննանտիտ, էնարգիտ, սֆալերիտ, կովելլին և խալկոզին: Վերջին երկու միներալը երկրորդական ծագում ունեն: Ոչ մետաղական միներալներից նկարագրվող տիպի մեջ մտնում են քվարցը և կալցիտը:

Պղնձ-ծծումբկոլշեղանային և պղնձկոլշեղանային հանքանյութերի փոխհարաբերությունը շատ բարդ է: Սովորաբար երկու տիպն ել հանդիպում են միենուան երակի մեջ, երբեմն նրանք երակի տարածման ու անկման ուղղություններով փոխանցվում են միմյանց:

Այս տիպի հանքանյութերի մեջ խալկոպիրիտի քանակը տառանիվում է շատ լայն սահմաններում: Խալկոպիրիտը հաճախ համատարած կերպով լցոնում է երակային ձեղքերի զգալի մասը (№ 6 հանքի № 6, 20, 29, 32 և № 5 հանքի № 4 երակը և այլն): Երբեմն երակների կողամերձ մասերը կազմված են բյուրեղային պիրիտով, իսկ միջին մասը կոլումորֆ խալկոպիրիտով (գծ. 16): Տվյալ դեպքում ամենայն հավանականությամբ տեղի է ունեցել հանքայնացման երկու ֆազ: Սկզբում երակային ձեղքը լցվել է պիրիտով, որոշ ընդմիջումից հետո տեկտոնական ուժերի շնորհիվ բյուրեղային պիրիտով լի ձեղքը մեջտեղից նորից է բացվել ու լցվել հիգրոթերմերով, որոնք այս անգամ արտեն նստեցրել են համարյա բացառապես խալկոպիրիտ: Այն դեպքերում, եթե զուտ խալկոպիրիտային երակների կողամերձ մասերում բացակայում է բյուրեղային պիրիտը, երակային ձեղքերն ըստ երեսվթին բացվել կամ պարզապես ծագել են վերջինիս նստեցումից հետո (№ 32 երակի արկմտյան թի):

№ № 20, 29, 32, 34 և այլ երակների արևելյան թեկոր առնվազն երկու անգամ բացվել ու լցվել են հանքաբեր լուծույթներով: Դրանով էլ բացատրվում է երակային ձեղքում անհամաշափ բաշխված ավելի աշխացած կոլումորֆ խալկոպիրիտի և ավելի վաղ ձեւաված բյուրեղային պիրիտի առկայությունը, որը վկայում է երակային ձեղքերի զարգացման դինամիկայի և միներալիզացիայի բաղմաֆագության մասին:

Խալկոպիրիտը հանդես է գալիս ինչպես բյուրեղային, այնպես էլ կոլումորֆ ստրոկտորաներով:

Միներալիզացիայի 2-րդ ֆազում առաջացած պղնձ-ծծումբկոլշեղանային հանքանյութերի մեջ խալկոպիրիտն ունի բյուրեղա-

լին, իսկ հաջորդ ֆազերի խալկոպիրիաց՝ կոլլոմորֆ կառուցվածքը՝ Խալկոպիրիտը, որը տեղ-տեղ կարծես լցրել է պիրիտի իզոմորֆ բյուրեղների արանքը, ստեղծում է հիպիդիոմորֆ-հատիկացին ստրոկտուրա:

Ա. Գ. Բետեխտինը նշում է, որ «խալկոպիրիտացին զանգվածի ստրոկտուրացին թունավորումը ցույց է տալիս մոնումիներալ ագրեգատի մանրահատիկ տիպիկ ալլոտրիմորֆ ստրոկտուրա: Բնորոշ է տարբեր տեղամասերի անհամաշափ հատիկավորությունը: Խալկոպիրիտի առանձին հատիկներ ներկայացված են բազմաբյուրեղներով» (20):

Պիրիտը հանքանյութերի նկարագրվող տիպում խալկոպիրիտից հետո ամենատարածված միներալն է: Երակացին ճեղքերում նա տեղաբաշխված է շատ անհամաշափ: Բացի միներալի զարգացիք 1-ին և 2-րդ ֆազերում առաջացած բյուրեղացին պիրիտից, հանքում հանդիպում է նաև նրա կոլլոմորֆ տեսակը (միներալի զարգացիքի 3-րդ և 4-րդ ֆազեր), որում նույնիսկ առանց քիմիական թունավորման կարելի է դիտել գնդաձև անշատումներ:

Միներալի զարգացիքի 4-րդ ֆազի հիգրոթերմերը թափանցելով 3-րդ ֆազի կոլլոմորֆ հանքանյութեր պարունակող վերանորոգված երակացին ճեղքերը, իրենց բարձր ջերմության շնորհիվ մասնակիորեն բյուրեղացրել են այդ հանքանյութերը, մասնավորապես պիրիտը, որը տեսնանտիտի (4-րդ ֆազ) երակիկների երկարությամբ առաջացնում է մանր բյուրեղների մի շղթա:

Քվարցը հանդիսանում է պղինձ-ծծումբկոլշետանացին հանքանյութերի մշտական ուղեկցը և առաջացնում է երակացին զանգվածում անհամաշափ բաշխված հատիկների ագրեգատների կուտակումներ, կամ տալիս է երակիկներ, որոնք հաճախ երակներին հաղորդում են երկայնակի-զոլավոր տեսք:

Անհրաժեշտ է նշել, որ նկարագրվող տիպն առաջացնում է մասսիվ, զոլավոր, բծավոր, բրեկշիանման և ցանավոր տեքստուրաներ: Մասսիվ և զոլավոր տեքստուրաներն առաջացել են առավելապես երակացին ճեղքերի մեջ հիգրոթերմերի ազատ շրջանառության հետևանքով, մնացածները մետասոմատիկ պրոցեսի կամ միներալի զարգացիքի տարբեր ֆազերի վերաբրման պայմաններում, ընդորում բծավոր տեքստուրան ստացվում է շնորհիվ սուլֆիդների, քվարցի ու պարունակող ապառի ներփակումների քիչ թե շատ հա-

վասարաշափի բաշխման: Երկայնակի-զոլավոր տեքստուրան, որը երբեմն կրում է սիմետրիկ բնույթ, դիտվում է № 6 հանքի № № 6, 20, 29, 34 և այլ երակներում: Երակներին զոլավոր կերպարանք է հաղորդվում շնորհիվ բարցի երակիկների ու առանձին զոլերի, որոնք գուավում են երակի կողամերձ կամ կենտրոնական մասերը:

Ցանավոր տեքստուրան առավելապես բնորոշ է երակների թևերի համար: Սույն դիտողությունը չի վերաբերում № 6 հանքի երակների և № 5 հանքի № 4 երակի արևելյան թևերին. ընդհակառակը, երակների այդ մասերում, էկրանավորող խախտումների ներքնակողում, հանքանյութերի տեքստուրան դառնում է է'լ ավելի մասսիվ: Ցանավոր տեքստուրա երբեմն դիտվում է նաև երակների կենտրոնական մասում: Նման դեպքերում երակը զրկվում է որոշակի սահմաններից: Ցանավոր հանքանյութերի գոյությունը երակների կենտրոնական մասերում կարելի է բացատրել նրանով, որ հիդրոթերմերի վերելքի մոմենտին երակային ճեղքերի այդ մասերը հավանաբար փակված են եղել և ցանավոր հանքանյութերն առաջացել են տեղակալման հետևանքով, մինչդեռ մյուս մասերում հիդրոթերմերը հնարավորություն են ունեցել աղատ շրջանառություն կատարելու և տալու տիպիկ երակներ:

Բացի մետաստմատողի հետևանքով առաջանալուց, բրեկշիանման տեքստուրան երբեմն պայմանավորված է միներալիզացիայի երկու կամ ավելի ֆազերի միմյանց վրա բարդվելով: Նման դեպքերում արդեն ձևավորված երակը հետագա տեկտոնական ուժերի հետևանքով բեկորատվում է, դրան հաջորդում է հանքաբեր լուծույթների նոր վերելք, որոնք լցվելով այդ վերանորոգված երակային ճեղքը իրենցից անջատում են միներալների այս կամ այն ազդեցությունը և ցեմենտում ճեղքում եղած հանքաբեկորները կամ քարեգատը: Այդ տեսակի համար շատ ուշադրավ օրինակ կարող է ծառաքարցը: Այդ տեսակի համար շնորհիվ շատ ուշադրավ օրինակ կարող է ծառաքարցը (գծ. 11):¹

3. Հանքանյութերի պղինձկոլչեղանային տիպը շնայած պղնձի պարունակության բարձր տոկոսին, իր սահմանափակ քանակի հետևանքով զգալիորեն զիջում է նախորդ տիպին: Պայմանական կերպով այս տիպին ենք վերագրում այն հանքանյութերը,

¹ Կաղմել է գ. Պետուսովան:

որոնք արտաքուստ ներկայացնում են խալկոպիրիտային մաքուր, համարյա մոնոմիներալ հանքանյութեր:

Պղինձկողեղանացին հանքանյութերում աննշան քանակությամբ հանդիպում են նաև պիրիտ, սֆալերիտ, տեհննանտիտ, բորնիտ և երկրորդական միներալներ՝ կովկալին, խալկոզին: Ոչմետաղական միներալներից պատահում են քվարցի ու կալցիտի առանձին ներփակումներ: Հանքանյութը հաճախ առանձին հարթություններով բաժանված է ոչ մեծ պրիզմաների և շատ փխրուն է: Այս տիպը երակներին հարող տեղամասերում տեղատեղ առաջացնում է խոշորահատիկ ցանով ուղեկցվող երակիկների մի ամբողջ սիստեմ: որպես կանոն ցանավոր հանքանյութեր չի տալիս:

Չուտ խալկոպիրիտային երակները նույնիսկ փոքր հաստոթյուն ունենալու գեպքում շահավետ են, որովհետեւ պարունակում են պղնձի բարձր տոկոս, մինչդեռ նույն հաստության խալկոպիրիտ-պիրիտային երակները չեն շահագործվում, քանի որ հանույթի ժամանակ նրանց պղնձի առանց այն էլ ցածր պարունակություն ունեցող հանքանյութերն էլ ավելի են աղքատանում:

Համարյա զուտ մոնոմիներալային խալկոպիրիտից կազմված հանքանյութերը բնորոշ են առավելապես № 6 հանքի հյուսիսային մասում գտնվող երակների արեելյան թերերի և № 5 հանքի №4 երակի համար:

Նկարագրվող տիպի հանքանյութերն ունեն մասսիվ տեքստորա, իսկ նրանց ստրուկտորան համարյա բացառապես կոլումորֆ է: Առաջացել են միներալիզացիայի 3-րդ ֆազում:

Շատ հետաքրքիր է կոլումորֆ ու բյուրեղային խալկոպիրիտի համատեղ գտնվելու փաստը. այդպիսի գեպքերում միներալիզացիայի 3-րդ ֆազի կոլումորֆ խալկոպիրիտն իր մեջ է առնում 2-րդ ֆազի բյուրեղային խալկոպիրիտի առանձին տեղամասեր: Դրանց սահմանը մեծ մասամբ ծուռ ու մուռ է: Ըստ Ա. Գ. Բետեխատինի, 3-րդ ֆազի խալկոպիրիտի համար բնորոշ է մետակողլորդ ստրուկտորա (20):

Պղինձկոլշեղանացին տիպի խալկոպիրիտի դաշտերի $\text{AgNO}_3 + \text{HNO}_3$ (1 : 1) ստրուկտորային թունավորումը պարզորոշ կերպով հայտաբերում է նրա կոլումորֆ ստրուկտորան. ուրվագծվում են տարրեր շափերի սֆերոլիտներ կոնցենտրիկ օղակներով: Տեղատեղ կոլումորֆ կոնցենտրիտ սֆերոլիտները կաղմված են

ոչ միայն խալկոպիրիտից. երբեմն սֆերոլիտների արտաքին օղակը ներկայացված է պիրիտով, հաջորդը տեննանտիտով կամ բոր-նիտով, իսկ միջուկը խալկոպիրիտով:

Կոլլոմորֆ խալկոպիրիտի թունավորման հետևանքով հազվագեպ ուրվագծվում է մանրահատիկ կառուցվածք, որն անտարակույս հետևանք է կոլլոմորֆ խալկոպիրիտի հետագա բյուրեղացման:

4. Հանճանյուրերի բորնիտային տիպը առանձնապես մեծ տարածում չունի. Հանդիպում է առավելապես հանքի ստորին հորիզոնների երակների հարավ-արևմտյան մասերում (№ 6 հանքի № № 12, 15, 18, 20 երակների արևմտյան թևերը — 100 հորիզոնում, № № 1, 3, 17 երակները — 40 հորիզոնում և № 5 հանքի № 4 երակը), մանավանդ կապիտալ շտոլնայի հորիզոնում, որտեղ այն լուրջ արժեք է ներկայացնում:

Ստորին հորիզոններում բորնիտային հանքանյութերի քանակի զգալի ավելացումը վկայում է նրանց էնդոտեն ծագման մասին:

ա) Պիրիտ-բորնիտային հանճանյուրերը համեմատաբար ավելի լայն են տարածված և բնորոշվում են կոլլոմորֆ ստրուկտուրայով: Դրանք բազկացած են՝ բորնիտից, խալկոպիրիտից, բվարցից ու կալցիտից:

Ծատ հաճախ նկարագրվող ենթատիպի հանքանյութերը (4-րդ ֆազ) վերադրվել են նախորդ ֆազերում ձևավորված հանքանյութերին:

բ) Բորնիտ-խալկոպիրիտ-տեննանտիտային հանքանյութերը բանակական տեսակիներից որոշ շափով զիջում են նախորդներին և ինքնուրույն նշանակություն չունեն: Այստեղ պիրիտը, տեննանտիտը և խալկոպիրիտը կազմում են տարբեր քանակական հարաբերակցություններ: Սովորաբար բորնիտը գիրակշռում է խալկոպիրիտի ու տեննանտիտի նկատմամբ, սակայն երբեմն տեննանտիտը կազմում է հանքանյութի ճնշող մասը (№ 15 երակի արեւմտյան թե, — 100 հորիզոն):

Այդ հանքանյութերը կարող են գիտվել որպես արծաթի և աղաղաղիկ ու հազվագյուտ մետաղների արդյունաբերական հնարավոր քանակություն պարունակող պղնձի հանքանյութեր:

գ) Բորնիտ-էնարզիտային հանճանյուրերը բորնիտային տիպում ստորագաս տեղ են գրավում և առհասարակ ինքնուրույն

նշանակություն շումեն: Էնարգիտը Հափանի Հանքանյութերում նշվում է № 6 հանքի № 15 երակում, Հյուախսային կվերշլագից 40—50 մ դեպի արևմուտք և № 20 երակի արևմույան հանքախորշում: Էնարգիտի քանակը երակային զանգվածում տատանվում է աննշան հետքերից մինչև 10 տոկոս: Այս ենթատիպի կազմության մեջ մտնում են նաև խալկոպիրիտ, պիրիտ, որոշ շափով տեղանանտիտ և բվարց:

V. ՀԱՆՔԱՆՅՈՒԹԵՐԻ ՄԻՆԵՐԱԼՈԳԻԱԿԱՆ ԲՆԱԿԻԹԱԳԻՐԸ

Կոմոմուլի հանքի երակները, ինչպես նշված է վերը, հիմնականում կազմված են խալկոպիրիտից, պիրիտից, բորնիտից, տեղանանտիտից, բվարցից և մի շարք այլ միներալներից: Թվարկված միներալները հանքանյութերի կազմության մեջ մտնում են ամենատարրեր քանակական հարաբերակցություններով:

Ստորև, կ. Ա. Դանայի դասակարգման հաջորդականությամբ բերվում են Կոմոմուլի հանքի հանքանյութերում հանդիպած բոլոր միներալների նկարագրությունը:

Գալենիտ— հանդիպում է № 6 հանքի № 1, 6 և 20 երակների հանքանյութերում. նրա ներկայությունը վերջինների կազմում հաստատված է միկրոսկոպի օգնությամբ: Գալենիտն առավելապես կապված է խալկոպիրիտի հետ:

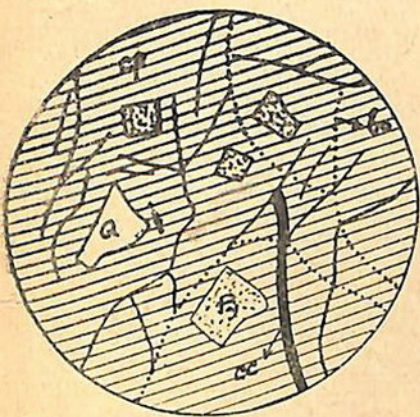
Խալկոզին— աննշան քանակությամբ հանդիպում է որպես երկրորդական միներալ. զարգանում է խալկոպիրիտի մեջ եղող ճեղքերով և տեղ-տեղ առաջացնում է երակիկների խիտ ցանց, որն իր երկնագույն երանգով պարզորոշ կերպով աշքի է ընկնում խալկոպիրիտի դեղին ֆոնի վրա (գծ. 18):

Սֆալերիտ— հանդիպում է հազվագեպ և բավականաշափականափակ քանակությամբ, արդյունաբերական նշանակություն չունի:

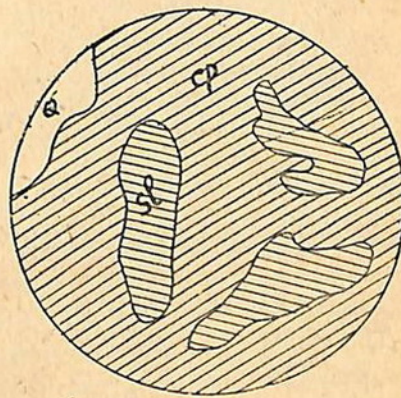
Սֆալերիտը սովորաբար զուգակցվում է խալկոպիրիտի հետ, առաջացնելով նրա մեջ բնանման ներփակումներ, որոնց մեջ գիտվում է խալկոպիրիտի կետային էմուլսիա (գծ. 19): Էմուլսիոն վիճակը հիմք է տալիս ենթադրելու, որ տվյալ դեպքում տեղի է ունեցել կարծր լուծույթի տրոհում: Սֆալերիտ երբեմն դիտվում է կոլորմորֆ պիրիտում: Նրա փոխհարաբերությունը մյուս մինե-

բալների հետ հիմք է տալիս եզրակացնելու, որ այն հանդիսանում
է միներալիզացիայի Յ-րդ ֆազի արդյունք և անջատվել է խալկո-
պիրիտի ու պիրիտի հետ միասին, սակայն տեսնանտիտից առաջ:

Կովելին — հանքանյութերում հանդիպում է աննշան քանա-
կությամբ և սովորաբար զարգանում է ճեղքերով, ի հաշիվ բոր-
նիտի ու խալկոպիրիտի քայլքայման, հաճախ տալիս է մանր հա-
տիկների առանձին կուտակումներ: **Sb**-տեղ նկատվում է բորնի-
տի կովելինով տեղակալման ցանցանման ստրոկտուրա. տեղա-
կալումը կատարվում է շատ բարակ, իրար հատող ճեղքերով:
Խալկոպիրիտի և բորնիտի ագրեգատների տեղակալումը հաճախ
սկավում է նրանց ծայրամասերից և զարգանում է դեպի կենտրո-
նը: Եթեմն դիտվում են տեղակալման բոլոր ստաղիաները.
սկզբում խալկոպիրիտի և բորնիտի անջատումների շուրջը երևան



ԳՃ. 18. Բորնիտի և խալկոպինի երա-
գիհների զարգացումը խալկոպիրիտի
մեջ. x 135.



ԳՃ. 19. Աֆալերիտի լնանման ներ-
փակումներ խալկոպիրիտում, վեր-
ջինիս կետային էմուլսիայի պա-
րունակությամբ. x 135

է գալիս կովելինի մի շատ բարակ գոտի, այնուհետև նա առ-
է գալիս կովելինի մի շատ բարակ գոտի, առաջապես, տեղակալվող միներալ-
տիճանաբար լայնանում է և, վերջապես, տեղակալվող միներալ-
ներից կովելինի համատարած զանգվածի մեջ մնում են միայն
մանր հատիկներ:

Բունիտ — հանքանյութերի մեջ գրավում է նկատելի տեղ և

Հանդիսանում է գերակշռող միներալ հատկապես հանքանյութերի բորբոքային տիպում։ Նրա քանակը տատանվում է շատ լայն սահմաններում։

Բորնիտը հանդիպում է խալկոպիրիտի, տեննանտիտի, պիրիտի և էնարգիտի հետ սերտորեն զուգակցված։ Հաճախ նու առաջացնում է համատարած տեղամասեր նշված միներալների աննշան ներփակումներով։ Հաղվագեպ չեն նաև հակառակ գեպքերը, երբ խալկոպիրիտը, պիրիտը և տեննանտիտը իրենք են պարունակում բորնիտի թեշիանման ներփակումներ և կետային է մուլսիտի հացի դա, բիշշեն այնպիսի գեպքեր, երբ խալկոպիրիտը դուրս է վանում բորնիտին և բռնում նրա տեղը, ընդորում այդ տեղակալումը կատարվում է կամ առանձին տեղամասերով, կամ թե միշտաք ճեղքերով, որոնք ստեղծում են բնորոշ ցանցանման պատկեր։

Ա. Գ. Բետեխտինը սասամնասիրելով զափանի կենինյան խմբի հանքերի բորնիտը, գրում է՝ «Ուշագրավ է, որ բորնիտը տեղակալվում է ոչ միայն խալկոպիրիտով, այլև սֆալերիտով։ Բորնիտի խալկոպիրիտով տեղակալման բնդհանուր պատկերը էտագես ոչնչով չի տարբերվում սուսպերգեն տեղակալման տիպիկ գեպքերից։ Սակայն, բորնիտի մեջ տրոհման պրոցեսումների (մասնավորապես խալկոպիրիտի) զգալի քանակության առկայության փաստը Բ. Ռոզինան որակում է որպես բորնիտի էնդոգեն ծագման նշան։ Անհայտ է, որ բորնիտով տեղակալումը կապված է էնդոգեն պրոցեսների պայմաններում կատարված վերադրման որևէ ֆազի հետ։ Ծատ հետաքրքիր կլիներ ստուգել, ինչպես այդ հնթադրում է Բ. Ռոզինան, բորնիտի վարքագիծը հանքավայրի ավելի խոր հորիզոններում» (20):

Ինչպես նշվել է վերը, բորնիտի քանակը № 6 հանքի ստորին հորիզոններում զգալիորեն ավելանում է, հետեապես կասկածից վեր է, որ նա էնդոգեն ծագում ունի։ Պետք է նկատել, որ Ա. Գ. Բետեխտինի դիտողությունը բորնիտի առաջացումը էնդոգեն պրոցեսների պայմաններում տեղի ունեցած միներալիզացիայի առանձին ֆազերի վերադրման հետ կապելու մասին, միանդամայն ճիշտ է Կոմսոմոլի հանքի համար։

Բորնիտի ստրոմկառան կոլլոմորֆ է, տեղ-տեղ մանրաբյուրեղ, ելնելով ուրիշ միներալների հետ ունեցած փոխարարերու-

թյունից, բորնիուր պետք է որ լուծույթներից անջատված լինի կոլլումորֆ խալկոպիրիտի, տեննանտիտի ու պիրիտի հետ, համենայն դեպք պետք է ենթադրել, որ հիշատակվող միներալների անջատման ժամանակը շատ մոտ է եղել:

Բորնիուր մեր կողմից գասվում է միներալիդացիայի 4-րդ ֆազում առաջացած միներալների շարքը:

Խալկոպիրիտ— հանդիսանում է հանքանյութերի վերը նկարագրված տիպերի հիմնական բաղադրամասը, սակայն ծծումբկուլշեղանային հանքանյութերում և բորնիտային տիպի պիրիտ-բորնիտային ու բորնիտ-էնարգիտային ենթատիպերում խալկոպիրիտն աննշան դեր է կատարում: Խալկոպիրիտի քանակը առհասարակ տատանվում է շատ լայն սահմաններում, սկսած աննշան հետքերից մինչև համարյա մոնոմիներալ հանքանյութերը, որոնց հետ աննշան քանակությամբ խառնված են պիրիտ, սփալերիտ, քվարց, շատ հաղվագեպ, կալցիտ:

Միներալիդացիայի 2-րդ ֆազում առաջացած խալկոպիրիտն սևնի բյուրեղային կառուցվածք, որը երևան է գալիս միայն քիմիական թունավորման հետևանքով, իսկ նույն ֆազի պիրիտի բյուրեղային կառուցվածքը պարզորոշ կերպով նկատվում է առանց որևէ թունավորման:

Միներալիդացիայի հաջորդ ֆազերում առաջացած խալկոպիրիտը, ինչպես նաև նրա հետ զուգակցվող միներալները, ունի կոլլումորֆ ստրուկտորա:

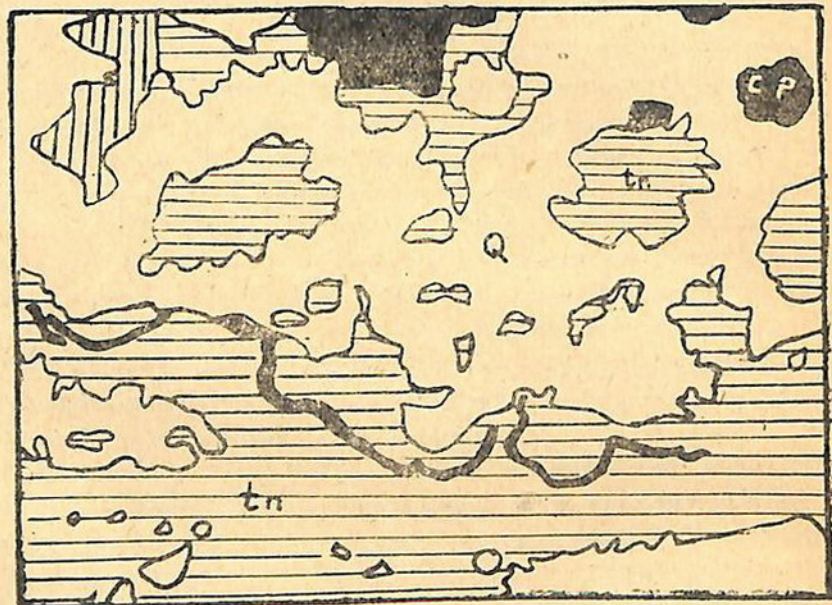
Պիրիտ-բորնիտային հանքանյութերում խալկոպիրիտը լցնում է պիրիտի ու բորնիտի հատիկներից կազմված ազրեգատների արանքը: Հաճախ նաև բորնիտում առաջացնում է թեղիանման ներփակումներ, երակիկներ ու մանր ցան:

Հանքանյութերի բորնիտ-խալկոպիրիտ-տեննանտիտային ենթափում խալկոպիրիտը համարյա ամենուրեք տեղակալվում է տեննանտիտով, ընդորում այդ պրոցեսն սկսվում է խալկոպիրիտի համատարած տեղամասերի ծայրամասերից և այնքան հեռու է ընթանում, որ խալկոպիրիտից երբեմն մնում են միայն բարակ որդանման մնացորդներ (գծ. 20): Առող գեպքերում տեննանտիտը խալկոպիրիտի մեջ առաջացնում է կամ ցանցանման դասավորված երակիկներ, կամ թե առանձին անկանոն ձևի տեղամասեր,

որոնք իրար հետ միանում են նույն կազմովի յան երակի կների մի-
ջոցով:

Այդ միևնույն հանքանյութերում տեղ-տեղ գիտվում են շատ
բարակ միկրոսկոպիկ երակի կներ, կազմված իրար հաջորդող
խալկոպիրիտով, տեսնանտիտով և քվարցով (գծ. 21):

Բորնիտ-էնարգիտային հանքանյութերում խալկոպիրիտը հան-
դիպում է բորնիտի և էնարգիտի հետ սերտորեն շաղկապված:
Խալկոպիրիտն ըստ երեսույթին հանքաբեր լուծույթներից անջատ-
վել է էնարգիտից առաջ, որի շուրջը նա հաճախ առաջացնում է
երիզներ, և բորնիտի հետ միաժամանակ: Չի բացառիկ նաև այն
հնարավորությունը, որ նշվող երեք միներալներն էլ հանդիսանում
են կարծր հեղուկի տարալուծման արդյունքը:

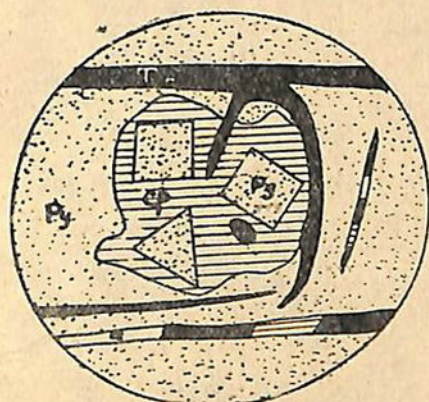


Գծ. 20. Խալկոպիրիտի որդանման մնացորդներ նրան տեղակալող տեննանտի-
տի մեջ: x 66

Բացի արտահայտման վերոհիշյալ ձևերից, խալկոպիրիտը
պարունակող ապառներում երբեմն առաջացնում է շատ բարակ
գուգահեռ երակի կների մի ամբողջ սիստեմ:

Մյուս միներալների հետ ունեցած հարաբերակցությունից երևում է, որ խալկոպիրիտը առաջացել է միներալիզացիայի 2-րդ, 3-րդ, 4-րդ և 5-րդ ֆազերում, ընդորում նրա գերակշռող մասը անջատվել է 3-րդ և 4-րդ ֆազերում և տվել է կոլորոֆ հանքանյութ (№ 6 հանքի № № 6, 20, 29, 32 երակներ և № 5 հանքի № 4 երակ):

Պիրիտ— Կոմոմոլի հանքի ամենալայն տարածված միներալն է և մտնում է հանքանյութերի բոլոր տիպերի կազմության մեջ:

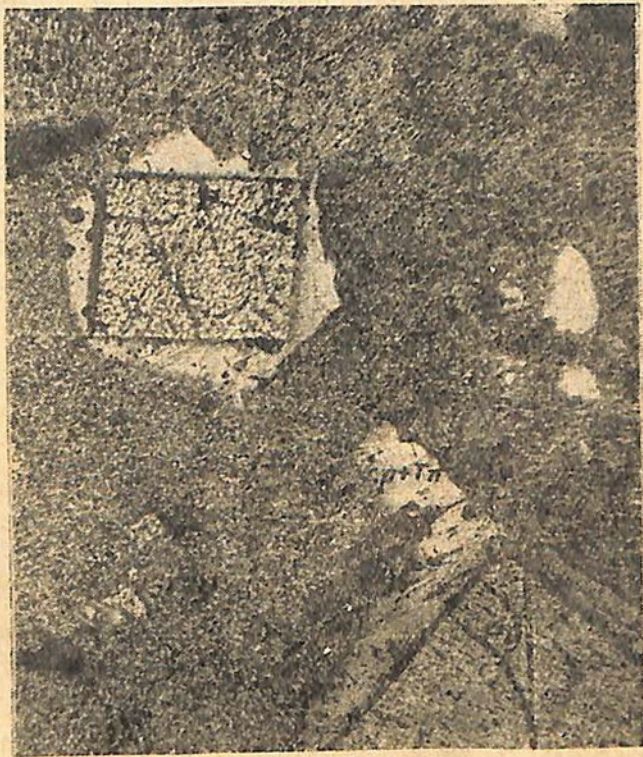


Գձ. 21. Տեսնանակիտի, խալկոպիրիտի և քվարցի փոխարարությունը: X 135

Ծծումբկոլշեդանային հանքանյութերում պիրիտը հանդիսանում է միակ հանքային միներալը, որը սովորաբար առաջացնում է լավ զարգացած բյուրեղներ՝ հեքսաէդրեր և պենտագոն դոդեկաէդրեր, որոնց մեծությունը կողի երկարությամբ հասնում է մինչև մեկ, հազվադեպ 1,5 սմ: Այդ բյուրեղները դասավորված են իրարից որոշ հեռավորության վրա և հանքանյութին տալիս են ցանավոր կառուցվածք:

Ծծումբկոլշեդանային և պղինձ-ծծումբկոլշեդանային հանքանյութերում (միներալիզացիայի 1-ին և 2-րդ ֆազ) պիրիտն առաջացել է մետասոմատիկ հանապարհով և հանդես է գալիս բացառապես բյուրեղային ստրոմտուրայով:

Միներալիզացիայի Յ-րդ ֆազի պղինձկուշեղանային հանքանցութերում պիրիտը ներկայացված է կոլլոմորֆ ստրոկտուրայով: Կոլլոմորֆ պիրիտը հաճախ, հատկապես երակների կողամերձ մասերում, լցնում է 2-րդ ֆազի պիրիտի առանձին բյուրեղների արանքը և կարծես թե խաղում է ցեմենտով նյութի դեր: Երբեմն բավական պարզ կերպով նկատվում է, թե ինչպես կոլլո-

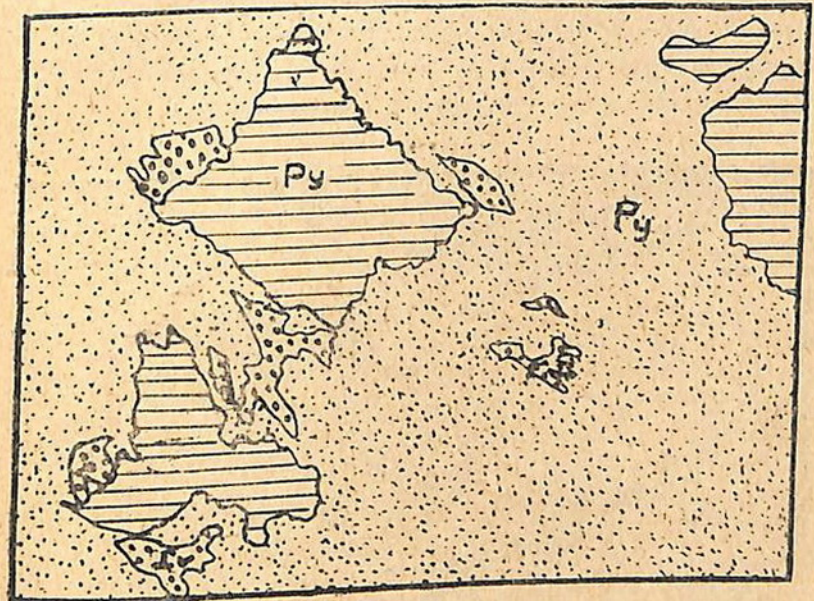


Գծ. 22. Պիրիտի մետարյուրեղներ կոլլոմորֆ պիրիտի մեջ, շրջապատված խալկոպիրիտով ու տեհնանսիտով: ✕ 66

մորֆ պիրիտն ու խալկոպիրիտը բայց բայց են պիրիտի բյուրեղների կողերը: Պիրիտի կոլլոմորֆ ստրոկտուրան միկրոսկոպի տակ երևում է նույնիսկ առանց քիմիական թունավորման, շնորհիվ կոնցենտրիկ կառուցվածք ունեցող գնդաձև անշատումների ներ-

կայտոթյան: Այդ կոլումորֆ պիրիտը սկբառքն կազմված է կուլոմորֆի խալկոպիրիտի հետ և առաջացնում է մետամորֆիկ տերսության:

Հաճախ կոլումորֆ պիրիտի համատարած դաշտում պատահում են պիրիտի, սովորաբար խալկոպիրիտով ու տեննանտիտով շրջապատված և համարյա իդեալական կերպով եղերագծված մետարքորեղներ (գծ. 22): Դիտումները ցույց են տալիս, որ վերջիններս առաջանում են խալկոպիրիտով ու տեննանտիտով լցված ձեղքերի երկարությամբ: Նշվող մետաղաբյուրեղները երբեմն հանդիպում են առանձին խմբերով և հիշեցնում են անկանոն ձեփբաղմանիստ բյուրեղներ:



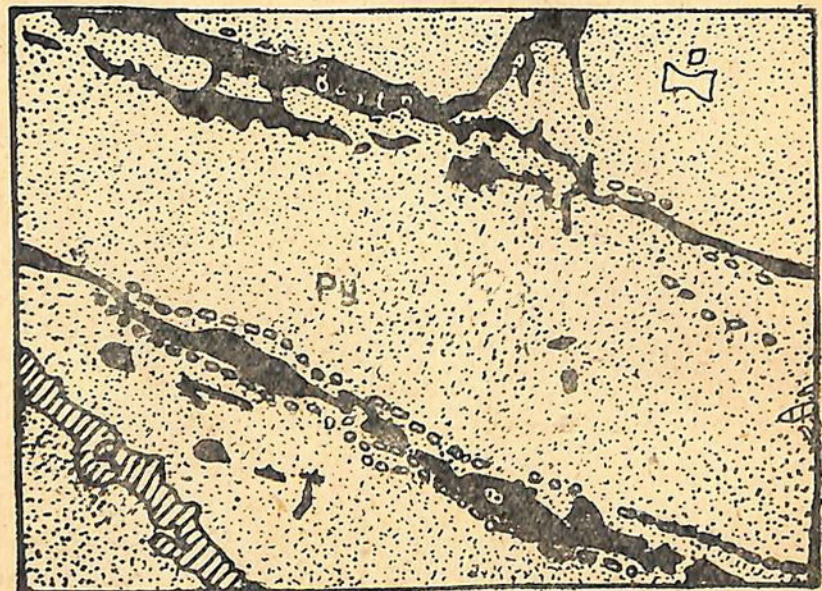
Գծ. 23. Պիրիտի ըյուրեղներ առաջացած կուլումորֆ դանդիվածի բյուրեղացման հետևանքով: × 200

Կոլումորֆ պիրիտի մեջ հանդիպում են նաև այլ կարգի բյուրեղներ, որոնք բնորոշվում են ոչ ուղղագիծ կողերով և առհասարակ անկանոն ձևով: Դրանք շպիայածի դասավորվում են բորնիտ-տեննանտիտացին երակիկների երկարությամբ և իրենց առաջացմանը պարտական են այդ երակիկները սնող հիդրօքերմերի շացմամբ:

բարձր ջերմությանը (գծ. 23, 24): Հեղատակվող բլուրեղները, այսպիսով արդյունք են կոլոմորֆ զանգվածի հետագա բյուրեղացման. դրանք շատ հեղտությամբ տարրերվում են ինչպես մետաղաբյուրեղներից, այնպես էլ միներալիզացիայի 1-ին և 2-րդ փազերի պիրիտի բյուրեղներից:

Պիրիտ-բորնիտային հանքանյութերում պիրիտը մասնակցում է բորնիտային զանգվածի կոլորիդ կառուցվածքում: Պիրիտը սովորաբար իր մեջ պարունակում է պղնձի, մանգանի, հաղվագետ մկնդեղի աննշան խառնուրդ, արծաթի, կորալտի և ցինկի հանքեր:

Տեսնանտիտ— հանքանյութերի կազմի մեջ մտնող միներալ-ների ընդհանուր կոմպլեքսում խաղում է երկրորդական դեր, թեպետ նրա քանակը երբեմն այնքան է մեծանում, որ հարկ է լինուած մկնդեղի աննշան խառնուրդ, արծաթի, կորալտի և ցինկի հետ քանյութերի մոտ կեսը կազմված է տեսնանտիտից:

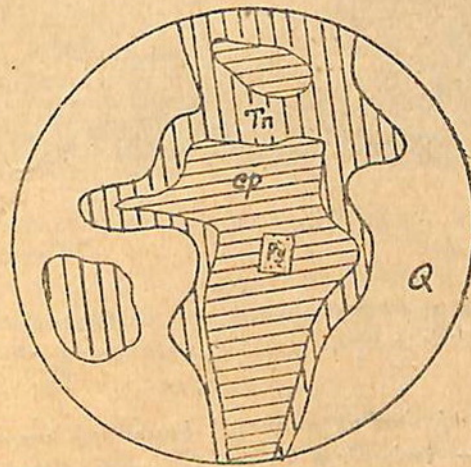


Գծ. 24. Կոլոմորֆ պիրիտի բյուրեղացում (սպիտակ տեղամասեր) բորնիտ-տեսնանտիտային երակիկների երկարությամբ, x 44

Տեսնանտիտը հանդես է գալիս հանքանյութերի բորնիտային տիպի բորնիտ-խալկոպիրիտ-տեհնանտիտային ենթատիպում, որը ինչպես երևում է հանքանյութերի տիպերի նկարագրությունից, ունի սահմանափակ զարգացում և առաջացել է միներալիզացիայի 4-րդ ֆազում:

Տեսնանտիտը մեծ հաճությամբ զուգակցվում է խալկոպիրիտի, բորնիտի ու էնարդիտի և ավելի դժվարությամբ սլիրիտի հետ:

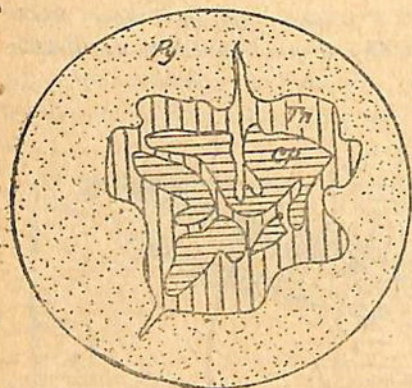
Տեսնանտիտի և նրա հետ ընկերակցող միներալների փոխհարաբերությունների մասին նշված է վերը: Այստեղ անհրաժեշտ է ընդգծել, որ տեհնանտիտը առվորաքար տեղակալում է խալկոպիրիտին և շատ հաճախ շրջապատում նրա ագրեգատները կամ նեղուցների ձևով մտնում է նրանց մեջ և բաժանում է առանձին հատվածների (գծ. 25, 26, 29, 30):



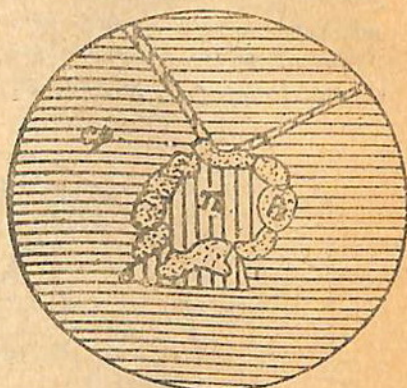
Գ. 25. Խալկոպիրիտ երիզված տեհնանտիտով: X 135

Տեսնանտիտի համար ընորոշ են նաև որդանման և թեշիանը-ման ներփակումներ խալկոպիրիտի և բորնիտի մեջ: Որոշ դեպքերում տեհնանտիտի առանձին տեղամասեր շրջապատված են պիրիտի շղթայաձև դասավորված մանր բյուրեղներով: Մի շարք նըմուշներում տեհնանտիտի համատարած տեղամասերում դիտվում

է բորնիտի ու խալկոպիրիտի ցան, երբեմն էլ տեղի ունի հակառակություն՝ պատկեր, այսինքն՝ խալկոպիրիտի ու ավելի սակավ բորնիտի համատարած դաշտերը պարունակում են տեննանտիտի մանր ցան: Ուշագրավ են այնպիսի դեպքերը, երբ խալկոպիրիտի համատարած դաշտի մեջ ընդդրկված տեննանտիտի ագբեգատներն իրենց հերթին պարունակում են խալկոպիրիտի մանրագույն ներփակումներ: Այս բոլոր դեպքերը հիմք են տալիս եղբակացնելու, որ այստեղ մենք զործ ունենք կարծր լուծույթի արոհման լայն դարձացած պրոցեսների հետ:



Դժ. 26. Խալկոպիրիտի տեղակալում
տեննանտիտով: x 135



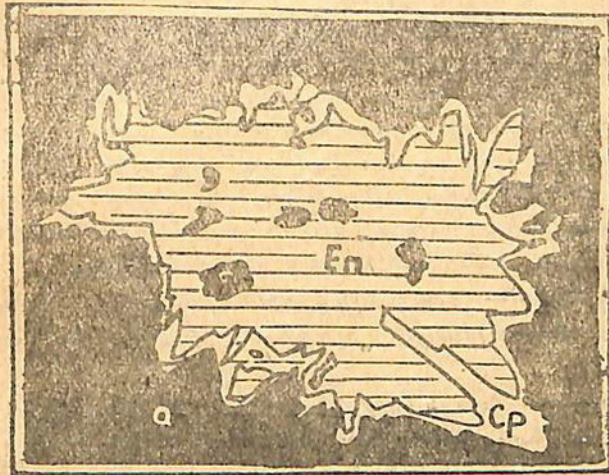
Դժ. 27. Պիրիտի մանր ըյուբեղների
զարդացումը տեննանտիտի շուրջ:
Ձբ: x 235

Տեննանտիտի համար բնորոշ է կոլորոֆ ստրոկտորատ: Էնարգիտ — Կոմսոմոլի հանքի հանքանյութերում (№ 6 հանքի № № 15 և 20 երակների արևմտյան թև) առաջին անգամ հայտնաբերվել է հեղինակի կողմից:

Էնարգիտը սովորաբար հանդիպում է խալկոպիրիտի, տեննանտիտի և բորնիտի ընկերակցությամբ: Էնարգիտը տեննանտիտում առաջացնում է խիստ անիզոտրոպ մանր հատիկներ, հազիվ նկատելի ալլոտրիմորֆ-հատիկավոր ստրոկտորատով: Էնարգիտի

բյուրեղային կառուցվածքը, ըստ երևոյթին, հետևանք է նրա կու^շ
լոմորֆ զանգվածի հետագա բյուրեղացման:

Էնարգիտի հատիկների ազդեցատները հաճախ եղաղապատվում
են խալկոպիրիտով (գծ. 28):



Գծ. 28. Էնարգիտ երեղված խալկոպիրիտով: $\times 200$

Էնարգիտը բնորոշվում է վարդագույն երանգ ունեցող սպի-
ռակ մոխրագույն գույնով. վարդագույն երանգը տեղ-տեղ ուժե-
ղանում է և միներալում տիրապետող տեղ գրավում: Վարդագույն
էնարգիտը բորնիտի համատարած դաշտերում նկատվում է մեծ
դժվարությամբ, մանավանդ որ գրանց արտացոլման ունակություն-
ները շատ մոտ են իրար (բորնիտի $R = 2^{\circ}$ տոկոսի, իսկ էնարգի-
տինը՝ 23 տոկոսի):

Քվարց— ամենատարածված միներալներից է և մտնում է
քոլոր տիպերի հանքանյութերի մեջ. նրա քանակը տատանվում է
աննշան հետքերից մինչև համարյա մոնոմիներալ քվարցային ե-
րակներն ու երակիկները: Քվարցի ամենամեծ քանակը արձանա-
գրվում է պղինձ-ծծումբկոլշեղանային հանքանյութերում: Քվարց
առաջացել է միներալիզացիայի բոլոր ֆազերում: 1-ին ֆազի
քվարցը մտնում է երկրորդական քվարցիտների կազմի մեջ, 2-րդ

ֆաղի քվարցը հաճախ բեկորատվում է և ցեմենտացվում 3-րդ ֆաղի քվարցով կամ խալկոպիրիտով: 2-րդ և 3-րդ ֆաղերի քվարցի փոխարաբերությունն ակնառու կերպով նկատվում է № 6 հանքի № 1, և մանավանդ, № 6 երակում (գծ. 11, քվարց I—դա 2-րդ ֆաղի քվարցն է, իսկ քվարց II—3-րդ ֆաղինը):

Ավելի ուշ գեներացիայի քվարցը արտաքուստ համարյաշի տարբերվում վաղ գեներացիաների քվարցից (գույնը երբեմն խարութիկ է), այդ պատճառով նրանց անջատման ժամանակը որոշվում է միներալների ամբողջ կոմպլեքսի ուսումնասիրության հիման վրա: Քվարցը սովորաբար ամուր է, գույնը տատանվում է կաթնագույնից (բնորոշ է առավելապես վերջին գեներացիաների համար) մինչև մոխրագույնը (բնորոշ է քվարցի վաղ անջատումների համար): Կան քվարցի վարդագույն և, շատ հազվագել, մանուշակագույն (ամենիստանման) տարբերակներ:

Սագնեալիտ— հանքանյութերում հանդեմ է գալիս հետքերի ձևով. նրա ներկայությունը որոշվում է միայն միկրոսկոպի օգնությամբ:

Լիմոնիտ— հանդիպում է շատ սահմանափակ քանակով և միայն երակների վերին մասերում, երկրի մակերեսի մոտ: Լիմոնիտն առաջանում է պիրիտի հաշվին և երբեմն ամբողջապես տեղակալում է նրան:

Կալցիտ— հանքանյութերում հանդիպում է աննշան քանակով կությամբ և սովորաբար հանքայնացման հիմնական՝ 3-րդ ֆաղի խալկոպիրիտի հետ, այդ իսկ պատճառով նրա ներկայությունը կարող է օգտագործվել որպես երակների որակի բարձրացման ցուցանիշ:

Կալցիտը ներկայացված է բնանման կոտակումներով խալկոպիրիտի մեջ. Հավանաբար նա լուծույթներից անջատվել է խալկոպիրիտից հետո և լցրել երակացին ճեղքերում մնացած դատարկությունները: Կալցիտը շատ փխրուն է, կաթնագույն, երբեմն առաջացնում է հետհանքային հասակի դիաբազային դեյկերը հատող բարակ երակիկներ. այս դեպքում նա ամենաուշ գոյացում է և հանդիսանում է միներալիզացիայի ամենավերջին 6-րդ ֆաղի արդյունք:

Մուտիլ— հանդիպում է միայն երկու նմուշում եղակի բյու-

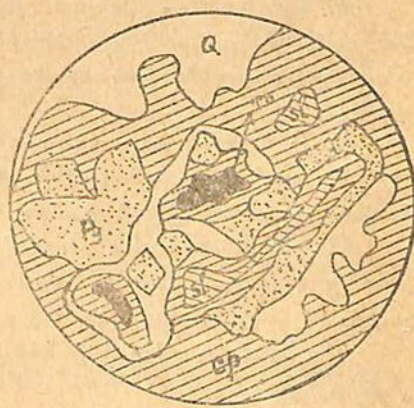
Հեղների ձևով։ Կոմսոմոլի հանքի հանքանյութերի համար բնորոշ է։

Մալախիտ և ազուրիտ— հանդիպում են երակների ամենամեծին մասերում, այն էլ շատ անշահ քանակությամբ, մանավանդ աղուրիտը, և սովորաբար շատ բարակ քսվածքների ձևով։

Սերիցիտ և բլորիտ— նկարագրվել են ապառների պետրոգրաֆիական բնույթագրման ժամանակ։ Դրանց առաջացումը սերտորն կազմված է սեղիոնալ բնույթի հիդրօթերմալ պրոցեսների հետ, որոնք ընդգրկել են բոլոր հանքաբեր ապառները (միներալիզացիայի 1-ին փազ)։

Գիպս— հանդիպում է շատ հաղվագեպ, այն էլ առավելապես հետհանքային հասակի խոշոր խախտումների զոնաներում որպես երկրորդական միներալ։ Մեծ մասամբ տակիս է ասեղնաձև բյուրեղների գրուզանման կատալիպումներ։

Կոմսոմոլի հանքի երակների հանքանյութերը, բացի վերը նկարագրված հիմնական միներալներից, պարունակում են նաև հաղվագյուտ մետաղներ, որոնք ներկայումս չեն օգտագործվում։ Նման մետաղների մասին տվյալներ բերում ենք 1942 թ. ՍՍՌՄ ԳԱ Գեղորակական ինստիտուտում կատարված սպեկտրալ անալիզների հիման վրա (22)։



Ֆ. 29 և 30. Տեսանտիտ, խալկոպիրիտ, պիրիտ, քվարցի և սփալերիտի փոխարաբերությունը: X 135

Այստեղ բերվող էլեմենտները դասավորված են Մանդեկեմբի աղյուսակի հաջորդականությամբ:

1. Վաճաղիում — Հանդիպում է աննշան քանակությամբ, գործնական նշանակություն չունի:

2. Կորալտ — նշվում է № 6 հանքի № 20 երակի և — 40 հորիզոնի ցրված հանքանյութերի զոնայում, գործնական նշանակություն չունի:

3. Նիկել — Հանդիպում է № 6 հանքի № 29 երակում և ցրված հանքանյութերի զոնայում աննշան հետքերի ձևով, գործնական նշանակություն չունի:

4. Գալիում — Հանդիպում է աննշան քանակությամբ սփառեթիսի մեջ:

5. Գերմանիում — Կոմսոմոլի հանքանյութերում չի հայտաբերված:

6. Մկնդեղ — Հայտաբերվել է № 6 հանքի № 1 և 6 երակների և ցրված հանքանյութերի զոնայի պիրիտի մեջ, № 29 երակի խալկոպիրիտի ու բորնիտի մեջ, № 1 երակի խունացած հանքանյութում:

Մկնդեղի առկայությունն ըստ երկույթին կապված է խունացած հանքանյութերի հետ, նրա գործնական նշանակության հարցը դեռ չի լուծված:

7. Սոլիբրեն — Հաստատված է № 6 հանքի № 29 երակում, նաև քանակական աննշան հետքերից հասնում է զգալի շափերից Մոլիբդենի գործնական նշանակության հարցը առայժմ պարզված չէ:

8. Արծար — Հայտաբերված է անշան քանակությամբ:

9. Կալիում — գեռքիմիապես կապված է ցինկի հետ, գործնական նշանակություն չունի:

10. Ինդիում — Հանդիպում է միայն հետքերի ձևով և սովորաբար կապված է սֆալերիտի հետ, գործնական նշանակություն չունի:

11. Անապ — Հետքերի ձևով հանդիպել է № 29 երակի հանքանյութերում:

12. Ծարից — Հանդիպել է № 6 հանքի № 1 և 20 երակներում (աննշան հետքեր):

13. Տելլուր — Հանդիպել է № 6 հանքի № 1 երակի խունացած

ցած Համբանյութերում և խալկոսպիրիտում. գործնական նշանակության հարցը առայժմ չի պարզված:

14. Ոսկի— հանդիպել է Կոմսոմոլի Հանքի նրակներում: Նրա քանակը տատանվում է շատ լայն սահմաններում. ունի որոշ գործնական նշանակություն:

15. Բիսմուտ— հանդիպել է № 6 Հանքի № № 1, 29 և 32 երակների մեջ անհնան հետքերի ձևով. գործնական նշանակություն չունի:

Միներալոգիական կազմ	I	II	III	IV	V	VI
Քվարց						
Սերիցիտ						
Քլորիտ						
Կալցիտ						
Դիրիտ						
Խալկոսպիրիտ						
Բորնիտ						
Տեննանտիտ						
Սֆալերիտ						
Էնարգիտ						
Գալենիտ						

Գծ. 31. Միներալների պարագենետիկ աղյուսակը:

VI. ԳԱՓԱՆԻ ՀԱՆԹԱՎԱՅՐԻ ԵՎ ԿՈՄՍՈՄՈԼԻ ՀԱՆՔԻ ԳԵՆԵԶԻՍԸ

ա) Հանքայնացման աղբյուրներ: Հետազոտողների մեծ մասը Պափանի Հանքավայրի գենեզիսը կապում են Կոնդոր-Ալանդյոզի

ինտրուզիվի հետ, որի ճյուղերը քվարցային ալբիտոֆիրների ու քվարցային պորֆիրների ոչ մեծ ինտրուզիվ դանդաշների ձևով հանդես են գալիս նկարագրվող շրջանում:

Հնարավոր է, որ Շափանի հանքադաշտը հիդրօթերմերով սնած ինտրուզիվ օջախը կապ չունենա Կոնդուր-Ալանդյողի ինտրուզիայի հետ, այդ գեպքում հանքավայրի շրջանի փոքր ինտրուզիվ դանդաշները պետք է դիտվեն որպես էրովիայով դեռ նոր մերկացվող մի ինքնուրուցն ինտրուզիայի ապիկալ ելքեր:

Կ. Ն. Պաֆքենհոլցը այդ մասին որում է. «Շափանի հանքավայրի ինտրուզիաների նշված այս կամ այն փոքր արտահայտությունների գենետիկ գերի հարցը մինչև վերջին ժամանակներս լուծվում էր տարբեր կերպ. ընդորում չի կարելի չնշել, որ այդ ինտրուզիաների հասակը միայն ենթադրաբար է երրորդական համարվում (նրանք հանքավայրի մոտ ճեղքում են միայն յուրան): Բայց հարեւան հանքավայրերի հետ ունեցած անալոգիայի և մի շարք գեղուզիական նկատառումներից ելնելով, ամենից հավանական է թվում հանքայնացման կամը իր ասլիկալ մանր ելքերում նոր մերկանալ սկսող երրորդական գրանովիորիտային (?) ինտրուզիայի հետ, որի գերիվատներն են նշված դեյտերո»:

Այսպիսով, հանքայնացման գենետիկ կապը հանքադաշտում մերկացող մանր ինտրուզիվ դանդաշների հետ և առհասարակ հանքայնացման հասակի հարցը կարուտ են հետագա ուսումնատիրությունների ու ծագրումների:

Դատելով հանքամարմինների կազմության մեջ մտնող մինի-րալների կոմպլեքտով, Շափանի հանքավայրը պետք է վերագրվի հիդրօթերմալ հանքավայրերի մեզոթերմալից դեպի էպիթերմալն անցնող կարգին:

բ) Հանքաբեր կանալներ: Շափանի հանքավայրի նախորդ հետազոտվների կողմից հանքաբեր կանալի դեր էր վերագրվում Մեծ-Մարգարայի խախտման զոնային, ընդորում վերջինս մի շարք հետազոտողների, հատկապես Վ. Ն. Կուլյարի մոտ որակվում է որպես զլիավոր հանքաբեր կանալ: Նրանց կարծիքով հանքաբեր լուծույթները վեր բարձրանալով այդ խախտման զոնայով, վերաբաշխվել են երկու կողմից վերջինիս հարող երակային ճեղքերի վրա և պայմանավորել հանքամարմինների ձևավորումը: Սակայն Կոմառմոլի հանքի ստրուկտուրայի մանրամասն վերլուծությունը

և Հանքամարմինների մորֆոլոգիայի և իրային կազմի ուսումնասիրությունը Հեղինակին բերել են այն համոզման, որ Մեծ-Մաղարայի խախտումը և նրա «Արևելյան ճյուղը» ոչ միայն հանքաբեր կանաներ չեն հանդիսացել առնվազն Կոմսոմոլիի հանքի համար, այլ ընդհակառակը, հանդես են եկել որպես հիգրոթերմիերի համար համարյա անթափանց արգելակներ՝ յուրահատուկ էլեկտրաններ:

Առաջ քաշվող այս թեկո հիմնավորվում է հետևյալ փաստերով.

1. № 6 հանքի երակների մի մասի սեպաձև վերջանալը նախքան Մեծ Մաղարայի խախտման «Արևելյան ճյուղը» գոնային հասնելը, կամ երակների ցրվելը այդ գոնային հարող պարունակող ապահովում և ցրված հանքանյութերի առաջացումը:

2. № 6 հանքի երակների հաստության խիստ նվազումը և նրանց հարստացումը քվարցով ու պիրիտով դեպի վերը նշված «Արևելյան ճյուղը»: Այդ երևույթներն առհասարակ բնորոշ են երակների սեպաձև վերջացող թերթի համար:

3. № 6 հանքի ամենախոշոր հանքային երակները հորիզոնական կտրվածքում ունեցած իրենց գիրքով կարծես առաջացնում են դեպի արևմուտք բացված մի հովտար (№ 29 երակի հանգույցը), որի կոթողնից, այլ կերպ առած № 29 երակի արևելյան թեկից տեղի է ունեցել հանքաբեր լուծույթների վերաբաշխում, լուծույթներ, որոնք № 6 հանքի սահմաններում հիմնականում շարժվել են արևելքից դեպի արևմուտք, դեպի «Արևելյան ճյուղը»: Բացառություն են կազմում միայն առանձին երակներ, որոնք չեն մտնում հովտաբածև դասավորված երակների վերը նշված սիստեմի մեջ, սակայն դրանք համարյա չեն խախտում բնդհանուր պատկերը:

4. Ավելի ուշ առաջացած և հանույթի գլխավոր օբյեկտը հանդիսացած համարյա մոնոմիներալ խալկոպիրիտային հանքանյութերի տեղայնացումը բացառապես № 6 հանքի երակների արևելյան թեկում: № 29 երակի արևելյան թեկի հանգույցը հանդիսացել է հեղառաջացման հիմնական կենտրոնը և, հետևապես, որոշ բնդիչումներով գործող հանքաբեր հիգրոթերմիերի վերելքի հիմնական ուղին:

5. № 5 հանքի № 4 երակի էկրանավորումը Մեծ-Մաղարայի խախտման գոնայի կողմից (գծ. 17):

Այսպիսով, որպես հանքաբեր կանաներ ծառայել են հենց իրենք երակային ճեղքերը, որոնք ապրել են ձևավորման երկարատև, բարդ, բազմիցս ընդհատվող ու վերսկսվող պրոցես, ընդորում նրանցից մի քանիսը հավանաբար խաղացել են մայր երակների դեր, որոնց միջոցով կատարվել է հանքաբեր հիդրոթերմերի վերաբաշխում: Որպես մի այդպիսի մայր երակ պետք է դիտել № 29 երակի սիստեմը, մանավանդ № 6 հանքի արևելյան մասում:

Որոշ խորության վրա հանքի երակների մեծ մասի սեպանալը (50 երակից Կապիտալ շտոլնայի հորիզոնում հատված է միայն 10-ը), մի շարք երակների իրար մոտենալը կամ պարզապես միանալը (1946 թ. փորմած № № 100 և 101 հորանցքերը ցույց են տալիս, որ Կապիտալ շտոլնայից 20—30 մ ցած միաձուվում են № 6 հանքի № № 29, 34 „Ե“, 34 „Ը“ և 34 „Ծ“ երակները), հիմք են տալիս հնթաղբելու, որ միայն նման մայր երակներն են ի վիճակի նպաստավոր ստրոմուլուրային-լիթոլոգիական պայմանների առկայության դեպքում համեմատաբար մեծ խորությունների հասնելու:

Հիմնական պատճառաբանումը, որը հանքավայրի նախորդ հետազոտողներին հանգեցրել է այն համոզման, որ Մեծ-Մաղարայի խախտումը կատարել է հանքաբեր կանալի դեր, դա ֆրանսիական հին հատակագիծն է: Վերջինիս վրա քննարկվող խախտուման զոնայում ցույց է տրված հանքային մարմին: Սակայն այդ հատակագիծը, որը, ի դեպ, չի ուղեկցվում որևէ նկարագրությամբ, խիստ կերպով հակառակ է Ա. Կոնշինի նկարագրությանը (11), որի համաձայն հիշատակվող հանքային մարմինը միանդամայն ուրիշ դիրք է գրավում:

Վերոհիշյալ հանգամանքը մեծ հարցականի տակ է դնում Մեծ-Մաղարայի հանքահորի շրջանում խախտման զոնայում հանքային մարմնի առկայությունը և այդ խախտմանը վերագրվող հանքաբեր կանալի դերը առհասարակ:

Եղբակացության մեջ անհրաժեշտ է նշել, որ № 5 հանքի սահմաններում հանքաբեր լուծուվթները ամենայն հավանականությամբ շարժվել են արևմուտքից արևելք, դեպի Մեծ-Մաղարայի խախտման զոնան: Հանքաբեր լուծուվթների շարժման նման ուղղությունը համապատասխանում է նրանց շարժման ուղղությանը

Հանքավայրի մասշտաբով, քանի որ հանքայնացման աղբյուրը գտնվում է հանքադաշտի արևմտյան մասում:

№ 6 հանքի սահմաններում հանքաբեր լուծույթների շարժումը տեղի է ունեցել հակառակ ուղղությամբ, այսինքն՝ արևելքից արևմտք, դեպի «Արևելյան ճյուղ»: Այստեղ անհրաժեշտ է վերապահություն անել, որ չի բացավում տարբեր խորություններում հանքաբեր լուծույթների շարժման տարբեր ուղղությունների № 6 հանքի համար նշվող ուղղությունը չպետք է տարակուսանքի առիթ տա, քանի որ լուծույթների շարժման ուղղությունների և նրանց վերաբաշխման գործում անտարակույս առավել կարևոր դեր են կպտարում այս կամ այն տեղամասի ստրոմետորային առանձնահատկությունները:

դ) Հանքաբեր նպաստավոր ստրոմետորաներից նախանում հանդես է գալիս ոեզիոնալ մասշտաբի Ողջի-Խոտանանի անտիկ-լինացին ծալքը, որի հյուսիս-արևելյան փոքրաթեք թեռում կենտրոնացված է հանքացին մարմինների հիմնական մասը:

Երջանի ծալքավորման պրոցեսին հաջորդել է նրա դիզյումիգ-տիլ դիմուկացիան, որի պրոցեսը տեղի է շատ երկար, այն նախորդել և ուղեկցել է հանքամարմինների ձևավորմանը, դու ավելին, այդ պրոցեսը չի մարել հիգրոթերմալ գործունեության մարման հետ միաժամանակ:

Դիզյումիգտիլ դիմուկացիան առանձնապես ինտենսիվ է արտահայտվել Ողջի-Խոտանանի անտիկլինային ծալքի սահմաններում, որը հանդիսացել է հանքադաշտի ամենաթույլ օղակը:

Այդ միենալուն անտիկլինի առավել թուլացած առանցքային մասին է հարում փոքր ինտրուզիաների ներխուժումը, ինտրուզիաներ, որոնք որոշ խորության վրա հավանաբար միանում են իրար և կազմում հանքաբեր լուծույթներ ծնած քիչ թե շատ խոշոր ինտրուզիվ դանդաղածքը:

դ) Հանքայնացումը սահմանափակող խախտումների, ապաների լիբուլոգիական բնույթի և փոքր ինտրուզիաների դեյլիքերի դերը: Կոմումոլի հանքի համար որպես տեղական նշանակություն ունեցող նպաստավոր հանքաբեր ստրոմետորա պետք է դիմուել այն հանքային բլոկը, որը սահմանագծված է մի շարք մինչհանքային խախտումներով՝ Բաշքենդի խախտումով՝ հյուսիս-արևմուտքից,

Հյուսիս-արևելյան վերնետվածքով հյուսիս-արևելքից, կավարտ դաշի խախտումով հարավ-արևելքից և, վերջապես, Արևելյան Սայադ-դաշի վերնետվածքով հարավ-արևմուտքից: Այդ հանքային բլոկը Մեծ-Մաղարայի խախտման զոնայով և նրա «Արևելյան Հյուղով» բաժանվում է երկու անհավասար՝ արևելյան (փոքր) և արևմտայն (մեծ) մասերի:

Բ. Ս. Վարդապետյանը այդ կապակցությամբ գրում է՝ «Խոչոր մինչհանքային խախտումների և հյուսիս-արևմտյան, հյուսիս-արևելյան, միջօրեական ու լայնակի ուղղությունների նրանց հարակից ճեղքերի փոխադարձ դասավորությունը տարածության մեջ ստեղծում են Պատանի հանքագաղտի բնորոշ տեկտոնական ստրուկտուրան: Հյուսիս-արևմտյան և հյուսիս-արևելյան տարածում ունեցող խոշոր մինչհանքային խախտումները անկման ուղղություններով իրարից հեռանալով, կամ, ընդհակառակը, մոտենալով իրար, զույգ-զույգ տարածության մեջ առաջացնոամ են միշտ դրական կամ բացասական ձևեր (հանքարերության տեսակետից Ա. Ք.), նման «անտիկլինային և սինկլինային ձևերի» կամ հիմքով դեպի ցած (դրական ձև) և վերև դարձված (բացասական ձև) տանիքների»:

Այս, գիմնականում ճիշտ դրությին պետք է ավելացնել այն, որ Կոմսոմոլի համբար խոշոր մինչհանքային խախտումներով թերևս առաջանում է ոչ թե երկիթեքատ, այլ քառաթեքատ տանիք հիշեցնող ստրուկտորա, ընդորում այդ տանիքը բնորոշվում է ոչ հավասար թեքություններով և, որ շատ կարենոր է, այդ քառաթեքատ տանիքը կոպիտ կերպով արտահայտված կրկնակի միջնապատով բաժանված է երկու անհավասար մասերի. կրկնակի միջնապատի դերում հանդիս են գալիս Մեծ-Մաղարայի խախտումը և նրա «Արևելյան Հյուղը»:

Վերը նշված հանքային բլոկների սահմանում նախքան հանքայնացման պրոցեսը և նրա ժամանակ առաջացել է երակային ճեղքերի միշտանց, պատրաստ իր մեջ կլանելու բարձրացող հիդրոթերմերը նրանց մետադական բնորով հանդերձ:

Մինչհանքային խախտումների դերը կայացել է հանքարեր լուծույթների որոշ բլոկների սահմաններում կենտրոնացմանը նըպաստելու մեջ, հակառակ դեպքում այդ լուծույթները կցրվեին ամբողջ պարունակող ապառներով մեկ և արդյունաբերական

Հանքամարմինները չէին առաջացնի: Հանքամարմինների ձևավորման գործում խոշոր դեր են կատարել նաև պատրաստի երակացները, որոնք հենց հանդես են եկել որպես հիդրոթերմերից անջատվող միներալների շտեմարան:

Պարունակող ապառների լիթոլոգիական առանձնահատկությունները հանքայնացման պրոցեսի և նրա բնույթի վրա առանձնապես խոշոր ազդեցություն չեն գործել, թեպես և պետք է նշել, որ տոփորբեկչիանները պորֆիրիտների հետ համեմատած իրենց տարասեռության հետևանքով ավելի դժվարությամբ են հնթարկվել ճեղքառաջացման պրոցեսներին և ավելի հազվադեպ են պարունակում քիչ թե շատ խոշոր երակներ: Տոփորբեկչիանները և առհասարակ բեկորատված ապառները առավել նպաստավոր միջավայր են հանդիսանում ցանավոր հանքանյութերի համար:

Պլատիոկլազային ու քվարցային պորֆիրիտներն առաջացրել են հանքայնացման համար հավասարաշափ նպաստավոր միջավայր: Այդ մասին է վկայում այն, որ հանքային երակները պլատիոկլազային պորֆիրիտներից անցնելով քվարցային պորֆիրիտների մեջ ոչ մի փոփոխության չեն ենթարկվում ոչ հաստության և ոչ էլ կազմության տեսակետից:

Փոքր ինտրուզիվանների դերը հանքադաշտի ձևավորման գործում դեռ լրիվ պարզաբանված չէ: Հանքադաշտի տարրեր մասերում մերկացող այդ ինտրուզիվանները հավանաբար հանդիսանում են ավելի խոր տեղադրված խոշոր մագմատիկ օջախն սատելիտները: Հանքայնացման և այդ մասն ինտրուզիվանների միջև ուղղակի կապ չի դիտվում: Առաջիմ փաստեր չկան պնդելու, թե նշված ինտրուզիաններն ուղեկցվել են հիդրոթերմերի վերելքով, սակայն հանքայնացման տեղաբաշխումը և այդ ինտրուզիվանների դերը այնուամենայնիվ վկայում են նրանց գենետիկ կապի մասին:

Անհրաժեշտ է նշել, որ քվարցային պորֆիրների մեջ հայտնաբերվել են մի շարք հանքային երակներ (Աբդուլ-Հասան երակը, Հաջիի խմբի երակներից մեկ երակ և այլն), իսկ հանքանյութերով լցված երակային ճեղքերը երբեմն հատում են քվարցային ալբիտոֆիրների դեցիերը: Բերված փաստերը վկայում են այն մասին, որ հիդրոթերմերը բարձրացել են այդ ինտրուզիվանների ձևավորումից հետո: Ամենից ճիշտ կլինի հնթարկել, որ և՛ ինտրու-

գիտաները և՝ հիդրոմեքերը հանդիսանում են միևնույն խորքային ավելի խոշոր մագմատիկ օջախի ածանցյալները:

հ) Միներալիզացիայի ֆազերը և նրանց կապը նեղառաջացման պրոցեսների հետ: Կոմսոմոլի հանքի երակների միներալոգիական կազմության միկրոսկոպիկ ուսումնամիբությունը հնարավորություն է տալիս առանձնացնելու միներալիզացիայի միքանի ֆազ, ընդուրում համարյա յուրաքանչյուր ֆազին նախորդել է ճեղքառաջացման նոր պարոքսիզմ: Միներալիզացիայի ամեն մի ֆազ կապված ժամանակի ու տարածության մեջ հիդրոթերմալ լուծույթների կազմության փոփոխման հետ տալիս է միներազների յուրատեսակ կոմպլեքս, իսկ լուծույթների թերմոդինամիկ ուժիցը և քիմիզմը իրենց կնիքն են դնում առաջացող հանքանյութների բնույթի վրա:

Խնդիրն ճեղքառաջացման, այնպես էլ միներալիզացիայի ֆազերն ամեն անգամ արտահայտվել են տարբեր ինտենսիվությամբ:

Միներալիզացիայի 1-ին ֆազը հիմնականում արտահայտվել է ապառների պիրիտացման, քվարցացման և սերիցիտացման մեջ: Նա կրում է ռեզիտանալ բնույթը և օգտակար հանածոների արդյունաբերական կուտակումներ չել տալիս:

Միներալիզացիայի 2-րդ ֆազն առաջացրել է պղնձի արդյունաբերական կոնցենտրացիաներ (ծծումբկոլեղանային և պղինձծծումբկոլեղանային հանքանյութներ):

Միներալիզացիայի 3-րդ ֆազը կոմսոմոլի հանքի համար եղել է ամենագլխավորը և տվել է շահագործվող հանքանյութերի հիմնական մասը: Այդ ֆազում ձևավորվել են կոլլումորֆ պղինձծծումբկոլեղանային հանքանյութեր, որոնք տեղայնացվել են երակացին ճեղքերի որոշ մասերում: Միներալիզացիայի 3-րդ ֆազին նախորդել է ճեղքառաջացման մի նոր պրոցես, որն առանձնապես ուժեղ է արտահայտվել № 6 հանքի արևելյան մասում, մանավանդ № 29 երակի հանգույցում: Տվյալ ֆազի վերադրումը նախորդին տարբեր տեղերում տարբեր կերպ է արտահայտվել: Մի դեպքում ճեղքառաջացման պրոցեսների նոր բռնկման հետևանքով 2-րդ ֆազի հանքանյութերը երակացին ճեղքերում բեկորատվել են և նորից ցեմենտվել միներալիզացիայի 3-րդ ֆազի հանքաբեր լուծույթներից անջատված միներալների մի նոր կոմպլեքսով (գծ.

11), ուրիշ գեպքերում 2-րդ ֆազի հանքանյութերով խցանված երակացին ճեղքերը բիշ թե շատ ուղիղ գծով և առավելապես իրենց կենտրոնական մասից ճղիկել են, տեղ-տեղ բավականաշատ լայնացել ու մուտք գործած հիդրովիժերների նոր բաժնին հնարավորելու ուժուն տվել ազատ շրջանառություն կատարելու և բեռնաթափվելու (գծ. 15, 16); 3-րդ ֆազի հանքանյութերը տեղայնացել են № 6 հանքի երակների արևելյան մասում: Բացառություն է կազմում № 6 հանքի № 32 երակը, որը հիմնականում ձևավորվել է միներալիդացիայի տվյալ ֆազում և մինչ այդ նրա ճեղքը մեծ մասամբ փակված է եղել: № 5 հանքի № 4 երակը նույնպես հիմնականում ձևավորվել է տվյալ ֆազում:

Միներալիդացիայի 3-րդ ֆազի միներալների կոմպլիքսը կազմված է՝ խալկոպիրիտից (գլխավոր միներալ), պիրիտից, սփալերիտից, խալկոպիրինի և կովելինի աննշան բանակից, քվարցից ու կալցիտից:

Միներալիդացիայի 4-րդ ֆազում առաջացել են բորնիտ-տեհնամատացին, բորնիտ-էնարգիտացին և պիրիտ-բորնիտացին հանքանյութեր խալկոպիրիտի և քվարցի փոքր քանակի ուղեկցությամբ: Տվյալ ֆազի հանքանյութերն իրենց արդյունաբերական նշանակությամբ երկրորդական տեղ են գրավում, ինչ վերաբերում է նրանց կազմությանը, ապա այն շատ բարդ է: Այդ հանքանյութերը պարունակում են բորնիտ, տեհնանատիտ, պիրիտ, խալկոպիրիտ, էնարգիտ (քիչ), խալկոպիրին, քվարց և այլն: 4-րդ ֆազն ամենից ինտենսիվ արտահայտվել է № 6 հանքի հարավ-արևմտյան մասում:

Անհրաժեշտ է նշել, որ հանքանյութերի փոխհարաբերությունը և միներալների ստրուկտորագին առանձնահատկությունները հիմք են տալիս արտահայտելու այն կարծիքը, որ 3-րդ և 4-րդ ֆազերն անջատող ժամանակամիջոցը շատ կարճ է եղել, այնքան կարճ, որ նույնիսկ կարելի է անտեսել այն և այդ ֆազերը միացնել իրար:

Միներալիդացիայի 5-րդ ֆազը հանքանյութերի արդյունաբերական կուտակումներ չի տվել. նրա հետ կապված են պիրիտի, խալկոպիրիտի և, հազվադեպ, քվարցի բարակ երակիկներ, որոնք հատում են նախորդ ֆազերում առաջացած հանքամարմինները:

Վերջապես միներալիդացիայի 6-րդ ֆազը տեղի է ունեցել

Հիդրոթերմալ գործունեության մարման պայմաններում։ Այդ ֆազով ավարտվում է հանքային բլոկի հիդրոթերմիք սնվելու պրոցեսը։ Երդ ֆազը տվել է միայն պիրիտի և կալցիտի բարակ (մինչև 0,5 սմ) ծուռ ու մուռ երակի հիներ, որոնք հատում են հետհանքային հասակի դիաբազային դեյտերը։ բացի դա, պիրիտը վերջիններում առաջացնում է խիտ ցան։

գ) Հիդրոթերմալ լուծույրների բնույթը ու հիմնզմը։ Կոմպոմոլի հանքի հանքանյութերի կազմի մեջ մտնող միներալների պարագեններիկ ասոցիացիաների ուսումնասիրությունը թույլ է տալիս եղրակացնելու, որ հիդրոթերմալ լուծույթներն ունեցել են մեղոթերմալից գեղի էպիթերմալն անցնող հանքավայրերի համար բնորոշ շերմություն՝ 200—100 աստիճան և ավելի պակաս։ Էմանացիաների առաջին բաժիններն անտարակույս ունեցել են համեմատաբար բարձր շերմություն, որն աստիճանաբար իշել է մինչև սառը լուծույթների շերմային սահմանը։ Դա ակնառու կերպով երևում է միներալիզացիայի այս կամ այն ֆազում առաջացած հանքանյութերի կազմությունից և ստրոկտորային առանձնահատկություններից։

Հիդրոթերմալ լուծույթների բնույթը փոխվել է ինչպես ժամանակի ընթացքում, այնպես էլ տարածության մեջ։ Սկզբնական շրջանում լուծույթները եղել են ավելի նոսր և դրա հետևանքով օժտվել բավականաշատ մեծ շարժումակությամբ, որի մասին համոզիչ կերպով վկայում են նրանց տարածման լայն սահմանները (պարունակող ապառների պիրիտացում)։ Հանքաբեր լուծույթները գնալով ավելի ու ավելի թանձրացեք են, դարձել կոլորիդ, գելենման և, հետևապես, ավելի դանդաղաշարժ։ Լուծույթների բնույթի նման փոփոխությունը ապացուցվում է նախ, մետաստատիկ պրոցեսների համարյա լրիվ բացակայությամբ միներալիզացիայի ավելի ուշ (3-րդ և 4-րդ) ֆազերում (մածուցիկ, կոլորիդ լուծույթները զբկվում են քիմիական ակտիվ տեղակալման ռեակցիաներ տալու ունակությունից), երկրորդ, առաջացած հանքանյութերի ստրոկտորային առանձնահատկություններով։ միներալիզացիայի 3-րդ և հաջորդ ֆազերի հանքանյութերն աշքի են ընկնում համարյա բացառապես կոլորոմորֆ ստրոկտորայով, ինչ վերաբերում է որոշ հանքանյութերի միկրոսկոպի տակ հազիվ նկատելի հատիկային կառուցվածքին, ապա դա անկասկած գելերի հետագա

բյուրեղացման հետևանք է: Վերջապես հիդրոթերմալ լուծույթների մածուցիկության օգտին է խոսում միներալիզացիայի Յ-րդ և Հաշորդ ֆազերի հանքանյութերի սահմանափակ տարածումը և նրանց միայն որոշ տեղամասերում կենտրոնանալը:

Անհրաժեշտ է նշել, որ հանքաբեր լուծույթների կազմը ժամանակի ընթացքում խիստ փոփոխվել է: Լուծույթների առաջին բաժններն աշքի են ընկել մետաղների աննշան պարունակությամբ (1-ին և 2-րդ ֆազերը), իսկ Յ-րդ, այսինքն՝ գլխավոր ֆազի լուծույթներն արտակարգ կերպով բեռնավորված են եղել պղնձով և տվել են հանքանյութերի արդյունաբերական կուտակումների գերակշռող մասը: Հաջորդ, 4-րդ ֆազը տվել է պղնձով նույնպես հարուստ, սակայն սահմանափակ քանակության հանքանյութեր և, ինչպես տեսանք, միներալների միանգամայն այլ կոմպլեքս:

Հանքաբեր լուծույթների մետաղական մասը հիմնականում սպառվել է 2-րդ, 3-րդ և 4-րդ ֆազերում, լուծույթները խիստ աղքատացել են և 5-րդ և 6-րդ ֆազերին բաժին է ընկել հանքանյութի մի շնչին քանակությունն, որը հանդես է գալիս խալկոպիրիտի (5-րդ ֆազ) և պիրիտի ու կալցիտի երակի կուպով (6-րդ ֆազ):

Կոմսոմոլի հանքում առանձին էլեմենտների և հանքանյութերի բաշխման ուղղաձիգ զոնայականության բացակայությունը, ըստ երեսույթին, պետք է բացատրել հանքայնացման օջախի և հանքային բլոկի միջև եղած տարածության փոքրությամբ: Հանքանյութերի տեղաբաշխումը տարածության մեջ տեղի է ունեցել տելեսկոպիայի պայմաններում (ջերմացին տարբեր պայմաններին հատուկ հանքանյութերի և բիմիական էլեմենտների վերադրում): Ինչ վերաբերում է հանքանյութերի բաշխման հորիզոնական զոնայականությանը, ապա այն դիտվում է միայն ամբողջ հանքադաշտի մասշտաբով: Ինտրուզիաներին մոտ առաջացել են պղինձ-ծծուամբերկանային հանքանյութեր պիրիտի գերակշռությամբ (Կուրտամյակ), այնուհետև գեպի արեւելք՝ այդ նույն հանքանյութերն ուղեկցվում են բազմամետաղներով (№ 1—2, մասամբ 5—6 հանքեր), էլ ավելի հեռու (Բարաբաթում) հանդիպում են պղինձ-բազմամետաղային հանքանյութեր, իսկ ինտրուզիվ ելքերից զգալի հեռավորության վրա (մի քանի կիլոմետր) առաջացել են բազմամետաղային հանքանյութեր խալկոպիրիտի փոքր քանակության ուղեկցությամբ (Ստ. Շահումյանի անվան հանքեր):

է) Հանբավայրի օմսիդացման զոնան: Օքսիդացման զոնան Դափանի հանբավայրում առհասարակ արտահայտված է, շատ թուլ և ընդգրկում է նրա միայն մակերեսային աննշան մասը:

Օքսիդացման պրոցեսն արտահայտվել է, այն փոքրաթիվ հանբավին երակների սուլֆիդների քայլացման ու հեռացման մեջ, որոնք դուրս են գալիս երկրի մակերես: Նման գեղքերում երակների ելքի տեղում մնում է դատարկ մի ճեղք, իսկ եթե երակային զանգվածում գերակշռել է քվարցը, ապա մակերեսին այդ ելքն արտահայտվում է սպունգաձև կառուցվածք ունեցող դուրս ցցված մի կատարի ձևով, որի մեջ նկատվում են առանձին դատարկություններ: Վերջիններս մի ժամանակ լցված են եղել սուլֆիդներով, որոնք օքսիդացել ու լցացվել, հեռացվել են: Երբեմն օքսիդացման պրոցեսները տվել են լիմոնիտ, մալտախիտ, աղուրիտ և խալկանտիտ: Երկրորդական սուլֆիդներից պատահում են խալկոզին և կովելին:

Օքսիդացման զոնան որոշակի սահմաններ չունի, հաճախ օքսիդացման զոնային հատուկ միներալները հանդիպում են մեծ խորությանների վրա և, ընդհակառակը, որոշ երակների նույնիկ ամենավերին մասերում դրանք բոլորովին բացակայում են: Օքսիդացման պրոցեսներն ամենայն հավանականությամբ ընթացել են ճեղքերի ուղղությամբ, պրոցեսներ, որոնք այդ ճեղքերի սահմանափակ քանակի հետևանքով բնականաբար չեն կարող ընդուրիել հանբաղաջտի բոլոր, մեծ մասամբ կույր հանբամարմինները:

զ) Գետնաջրերի և հանբաջրերի բնույթը: Կոմսոմոլի Հանքը, մանավանդ № 6-ը, առհասարակ շատ աղքատ է գետնաջրերից: Դա բացատրվում է նրանով, որ Հանքի տերիտորիայում թափվող մինուլորտային տեղումները (տարեկան 558 մմ) շրջանի էֆուզիվ ապառների թուլ ջրաթողության հետևանքով առաջացնում են մակերեսային հոսք: Ռելեֆի խիստ կորվածության շնորհիվ տեղի է ունենում գետնաջրերի խոր գրենաժ, որի հետևանքով նրանք հանք չեն թափանցում: Զնայած գրան, մինուլորտային տեղումների մի անշան մասը ներծծվում է Հանքի էֆուզիվ ապառների և նրանց ծածկող գելցումիալ նստվածքների մեջ, այնունհատե հողմահարման, ինչպես նաև ավելի խոր գնացող հետհանքային տեկտոնական ճեղքերով թափանցում է Հանքի ներսը: Հանք թափանցող

շրերի մի մասն էլ ներծծվում է՝ պարունակող ապառների մեջ հանրի տերիտորիայով հոսող առվակներից:

Գետնազրերը նշված ճեղքերով թափանցելով հանրի խորքը, օքափացնում ու քայբայում են պարունակող ապառների մեջ գրանցվող սուլֆիդների ցանը և մասամբ հանքամարմինները: Բայց դա այդ շրերն իրենց մեջ լուծում են պղնձի զգալի քանակություն, որը տատանվում է 100-ից մինչև 147 մգր մեկ լիտրում:

Հանքաջրերից ցեմենտացիոն մեթոդի կիրառման գեպքում անշատվում է միջին հաշվով պղնձի ավելի քան 50 տոկոսը: Այս թիվն ստացվել է ցեմենտացիոն սարքը մուտք գործող և նրանից գույքը եկող հանքաջրի մեջ պղնձի պարունակության տարբերության հիման վրա: Մի ժամանակ ցեմենտացիոն սարքերի օգնությամբ Կոմսոմոլի հանքի ջրերից անջատվում էր պղնձի որոշ քանակություն: Այժմ այդպիսի եղանակով պղնձին է ստացվում միայն Կապիտալ շտոլնայի մուտքի մոտ: Հանքաջրերը, բացի պղնձից, պարունակում են նաև երկաթ:

Փետք է նշել, որ հանքաջրերի հատկությունները կապված են նախ և առաջ այն ապառների բնույթի ու հանքայնացման աստիճանի հետ, որոնցով նրանք անցնում են:

Ա. Ի. Գերմանովը (3) անալիզի ենթարկելով Կոմսոմոլի հանքի շրերը, դրանք բաժանել է 5 տիպի՝ սկսած շեղոք-թույլ թթու շրերից (РН. 7,0—5,6) մինչև թթու ջրերը (РН. 4,5—3,0): Այդ հեղինակը իրավացիորեն նշում է, որ «Պղնձի զգալի քանակությունը պարունակող թթու ջրերը (4-րդ և 5-րդ տիպերը) հանդիպում են լոկալ կերպով և միշտ անմիջականորեն կապված են հրաֆային կամ շտոկվերկային հանքայնացման հետ: Հետևապես հետափուղական և շահագործական լեռնային փորվածքների դեպքում նրանք կարող են օգտագործվել հանքայնացում հայտաբերելու համար»: Այսպիսով, հանքաջրերի բիմիական անալիզը կարող է օգտագործվել որպես հանքամարմիններ որոնելու լրացոցի էժան մեթոդ:

բ) Հանքայնացման պրոցեսի համառու պատմությունը: Անդովում և երրորդականում բազմիցս տեղի ունեցած լեռնակազմական շարժումները ծալքավորել են Ղափանի հանքադաշտի յուրաքի հրաբխածին-նստվածքային շերտախումբը: Ծալքավորման ամենաբնակենսիլ ֆազը կատարվել է վերին երրորդական ժամա-

Ա հ ե ս Ա

Կուսանմովի և առջևացնումն զարգացման պահանջանքները

	Ֆ	Ա	Ջ	Հ	Ե	Ռ
	Մինչըակացիան					
	<i>Սարուկտուրայի դարպացման</i>					
1	Ողջի- Խոռանանի անտիկլինի առաջա- ցույց	Հրոզիայով Հմերկացման լինութեալ լինութեալ	Կրիպտոքաթո-			
2	Խոշոր հյուսուարիանուածուածք- ների ձեռարկում	ա) Գլանողիութեաներ -բյունուացուածք	1. ին Փառ- Պարունակող ապաւուերէ հիղու- թեացաւ փոփոխութեալ			
3	Խոշոր հյուսուարիանուածուածք- ուածք- Սաղարտայի խալուտան ձեռ- կալութեալ	բ) Քլարց պորֆիրներ -քաղցանին մասնափ	2. լր Փառ- Պարունակող ապաւուերէ հիղու- թեացաւ փոփոխութեալ			
4	Երակային ձեղքերի 1. ին ըացում					
5	Ընդլինում ճեղքառաջացման միա-					
6	Երակային ճեղքերի 2. րու ըացում					
7	Ընդդիւճում ճեղքառաջացման միա-					

8 Հըսկակին հեղիսի ք-ը թ-ը լացում

Գույն յուղ գույն պատ բորդիս-
առային, բորդիս կամ բորդիս
և պիլիստ-բորդիսուային հանքա-
նյութեր

9 Ընդունակ հեղիսառաջայման մեջ
լացում

Տ-ը թ-ը պատ բորդիս-
առային, բորդիս կամ բորդիս
և պիլիստ-բորդիսուային հանքա-
նյութեր

10 Մեջակամին մասնի մեջ
լացում

Տ-ը թ-ը պատ բորդիս-
առային, բորդիս կամ բորդիս
և պիլիստ-բորդիսուային հանքա-
նյութեր

11 Ընդունակ հեղիսառաջայման մեջ
լացում

Տ-ը թ-ը պատ բորդիս-
առային, բորդիս կամ բորդիս
և պիլիստ-բորդիսուային հանքա-
նյութեր

12 Առաջին հետհանքային ձերերի
առաջայում

Տ-ը թ-ը պատ բորդիս-
առային, բորդիս կամ բորդիս
և պիլիստ-բորդիսուային հանքա-
նյութեր

13 Հետհանքային ձերերի բացում

Տ-ը թ-ը պատ բորդիս-
առային, բորդիս կամ բորդիս
և պիլիստ-բորդիսուային հանքա-
նյութեր

14 Հեղմնչում ձեղիսառաջայման մեջ
լացում

Տ-ը թ-ը պատ բորդիս-
առային, բորդիս կամ բորդիս
և պիլիստ-բորդիսուային հանքա-
նյութեր

15 Վերջին հետհանքային ձերերի
առաջացում (հետհանքային դերի մեջ)

Տ-ը թ-ը պատ բորդիս-
առային, բորդիս կամ բորդիս
և պիլիստ-բորդիսուային հանքա-
նյութեր

նակ (միոցեն-պլիոցեն). Հավանաբար հենց այդ ֆազի հետ պետք է կապել Ռդշի-Խոտանանի անտիկինի վերջնական ձևափորումը և գրանոդիտիտային մագմայի վերելքը:

Հիշատակված անտիկինի առաջանալուց հետո, անտիկին, որի սահմաններում տեղադրված է Ջափանի Հանքավայրը, տեղի է ունեցել քվարցային ալբիտոֆիրների, քվարցային պորֆիրների և ուրիշ ինտրուզիաների ձևավորում: Հանքայնացման տեղաբաշխման հորիզոնական զոնայականությունը, ինչպես նաև հենց քվարցային պորֆիրների մեջ հանքամարմինների առկայությունը վկայում է: այդ ինտրուզիաների և հանքայնացման միջև գոյություն ունեցող հնարավոր կապի մասին:

Ռդշի-Խոտանանի անտիկինի առաջացման մոմենտից սկսվել է դիզյունկտիվ խախտումների պրոցեսը, որի հետևանքով հանքագշտը բաժանվել է առանձին, Հանքայնացման համար բարենպաստ կամ անբարենպաստ բլոկների:

Հանքադաշտի ձևավորման գործում շատ խոշոր դեր են կատարել մինչհանքային խախտումները, որոնք հանքաբեր լուծույթներին տվել են որոշակի ուղղություն և ստիպել կենտրոնացնալու որոշ բլոկներում:

Պակաս կարենու դեր չեն կատարել մինչհանքային երակային ջեղքերը, որոնք ապրել են զարգացման երկարատև, բազմիցս ընդհատվող պուլսացիոն պրոցես:

Հանքայնացումը կատարվել է մի քանի ֆազերով, ընդորում առանձին ֆազերի ընթացքը կանխորոշվել ու պայմանավորվել է ձեղքառաջացման պուլսացիոն գործունեությամբ: Հանքայնացման յուրաքանչյուր ֆազ տվել է միներալների յուրատեսակ կոմպլեքս, միաժամանակ իր կնիքն է դրեւ պարունակող ապառների վրա, հաճախ փոխել նրանց արտաքին տեսքը, երբեմն էլ կազմությունը և տեղ-տեղ զրկել այն բոլոր հատկանիշներից, որոնք առհատարակ մատնացուց են անում ապառների սկզբնական բնույթը:

Վերջապես, անհրաժեշտ է նշել, որ հանքադաշտի դիզյունկտիվ խախտումներով բեկորատման պրոցեսը շարունակվել է շատ երկար ժամանակ, ընդորեկելով նաև հետհանքային շրջանը: Արդին ձևավորված հանքամարմինները նման խախտումներով շատ հաճախ տեղաշարժվել են այս կամ այն կողմ, սակայն սովորաբար ոչ մեծ տարածության վրա (մինչև 5—6 մ): Նման խախտ-

ման գծերով կամ զոնաներով հետագայում բարձրացել է մագմատիկ օջախի գործունեության վերջին շունչը հանդիսացող դիաբազային դեյկերի ելանյութը:

Կոմոպմոլի հանքի հանքառաջացման պրոցեսի համառոտ պատմությունն ավելի լավ պատկերացնելու համար ավելորդ չենք համարում բնիներցողների ուշագրությունը հրավիրել վերը բերված սխեմայի վեա (էջ 100—101):

VII. ՊԱՓՈՅԻ ՀԱՆՔԱՎԱՅՐԻ ՀԱՄԵՄԱՏՈՒԹՅՈՒՆԸ ՈՒՐԻՇ ՆՈԽԵԱՏԻՓ ՀԱՆՔԱՎԱՅՐԵՐԻ ՀԵՏ

Դափանի հանքավայրն իր յուրատեսակ առանձնահատկություններով՝ ուրիշ նույնատիպ հանքավայրերի շարքում գրավում է հատուկ տեղ: Դափանին միանգամայն նման հանքավայրը գտնելու մասին նույնիսկ ավելորդ է մտածել. այստեղ համեմատության համար նշվում են միայն այն հանքավայրերը, որոնք այս կամ այն շափով հիշեցնում են Դափանի հանքավայրը:

Դափանի հանքավայրին որոշ չափով նման են Հայկական ՍՍՌ Զաղբարի, Շահալի-Էլիտարի (երակացին մասը), իսկ Հանրապետութերի տիպով՝ Ալավերդու և Շամլուղի հանքավայրերը:

Անդրկովկասյան այլ հանքավայրերից Դափանին ամենից նման են Մերիսիի հանքավայրը Աջարական ՍՍՌ-ում և Հանքավայրերի Մեհմանացի խումբը Լեռնային Գարաբաղում:

Սովետական Միության մյուս հանքավայրերից՝ Դափանին ամենից մոտ է կանգնած Ռևալենտու հանքը Զաղախական ՍՍՌ-ում:

Արտասահմանյան հանքավայրերից իր նմանությամբ Դափանի հետ կարող են համեմատվել ԱՄՆ Մոնտանա նահանգի նշանավոր Բատտե հանքավայրերը և մի քանի մանր հանքավայրեր իրանական կարագալում:

ա) Զաղիձորի հանքավայրը գտնվում է Ալավերդու շրջանում, Դեբեդ գետի աջ վտակ Ծպտալարի ձորակում և տեղափորված է յուրացի պորֆիրիտների մեջ: Նա իրենից ներկայացնում է «Ճեղքերի լցման» տիպի ավելի բան մեկ տասնյակ իրար զուգահեռ (անկման ագիմուտը № 60—70 աստիճան, 60—65 տօտիճան) և իրենց նշանակությամբ անհամարժեք երակներ: Այդ երակ-

ները Դափանի երակների համեմատությամբ շատ փոքր են. նրանցից ամենաերկարը հետամտվել է ընդամենը 103 մ (հաստությունը 0,75 մ), երկու որից երակ տարածման ուղղությամբ հասնում են 40—50 մ (հաստությունը՝ 0,15—0,45 մ), մնացածներն ավելի մանր են:

Զաղիձորի հանքավայրի երակների մորֆոլոգիան և նրանց իրացին կազմը (խալկոպիրիտ, պիրիտ, սֆալերիտ և այլն) հիշեցնում են Դափանի հանքավայրը: Սակայն անհրաժեշտ է նշել, որ այդ հանքավայրում օքսիդացման գոնան արտահայտված է ավելի ուժեղ, որի ապացուց կարող է հանդիսանալ լիմոնիտի, մաւախիտի և ազուրիտի լայն տարածումը:

բ) Շահալի-էլիարի հանքավայրը գտնվում է Կիրովականի շրջանում, երկաթուղու Շահալի կայարանից 17-18 կմ դեպի հարավ-արևելք և տեղադրված է Շաքար-ջուր գետի ափերին:

Իր նմանությամբ Դափանի հանքավայրի հետ կարող է. համեմատվել միայն այս հանքավայրի երակային մասը (№ № 4, 6 և 7 շտոլնաների տեղամասը), ընդորում այդ նմանությունն արտահայտվում է միայն մորֆոլոգիայի և գենեզիսի մեջ: Գ. Ա. Փիլոյանի տվյալներով (21) էոցինի պորֆիրիտների մեջ գտնվող երակային ճեղքերը տարածվում են NW 310—320 աստիճ., 70—80 աստիճ. անկյան տակ ընկնում են գեպի հյուսիս-արևելք:

Հանքային երակները տարածման ուղղությամբ հասնում են 50—70 մ, նրանց հաստությունը միշտն հաշվով կազմում՝ է 0,15—0,30 մ: Երակներն անկման ուղղությամբ վատ են հետախուզված:

Հանքանյութը ունի համարյա բացառապես բրեկչիանման կառուցվածք: Երակային զանգվածն իրենից ներկայացնում է պիրիտով, խալկոպիրիտով, քվարցով և հազվադեպ մագնետիտով ցեմենտված պորֆիրիտի բեկորներ: Երկրորդական միներալները ներկայացված են խալկոպիհնով, կովկելիհնով և մալախիտով: Շահալի-էլիարի երակներում խալկոպիրիտն ունի բյուրեղային կառուցվածք և շատ հաճախ հանդես է գալիս լավ զարգացած տետրաէդրերով, որպիսիք Պափանում չեն պատահում:

Շահալի-էլիարի հանքավայրը գենետիկորեն կազմած է երրորդական հասակի գրանուգիրիտացին ինտրուզիայի հետ, որի վերնակողում էլ հենց նա տեղադրված է:

գ) Ալավերդու հանքավայրը գտնվում է Ալավերդի քաղաքից

2,5—3 կմ դեպի Հյուսիս-արևմուտք: Այս հանքավայրը բնորոշ է տռավելապես ուսպնյակածեւ և բնանման հանքամարմիններով, տեղագրաված միջին յուրայի հրաբխածին-նստվածքային ապառների մեջ: Դրանք իրենց մորֆոլոգիայով Ղափանի հանքավայրի հետ ու մի նմանություն չեն ցուցաբերում, սակայն հանքանյութերի կազմությամբ (պիրիտ, խալկոպիրիտ, բորնիտ, տեննանտիտ, գալենիտ, սֆալերիտ, բվարց, սերիցիտ և ուր.) խիստ մոտենում են նրան: Ղափանի հանքավայրի հանքամարմիններին որոշ շափով նման են Ալավերդու հանքավայրի հարավային տեղամասի երակներն ու № 3 հանքահորի շրջանի ցանավոր հանքանյութերը:

Այսպիսով, Ալավերդու և Ղափանի հանքավայրերի նմանությունը կայանում է՝ հանքանյութերի և նրանց միներալոգիական կազմության նույնատիպության մեջ, նրանում, որ երկու հանքավայրերն եւ գենետիկորեն կապված են երրորդական թիու ինտրուզիաների հետ և տեղադրված են յուրայի էֆուզիվ ապառների մեջ: Անհրաժեշտ է, նշել, որ այդ երկու հանքավայրերի ստրոկտուրային առանձնահատկությունների մեջ եղած տարբերություններն են, որ մի դեպքում հանգել են առավելապես «Ճեղքերի լցման» տիպի հանքամարմինների, իսկ մյուս դեպքում՝ ինտենսիվ մետաստրիկ պրոցեսներին պարտական ոսպնյակածեւ և բնանման կուռակումների ձեւավորման:

Դ.) Նամլուպի հանքավայրը գտնվում է Ալավերդու շրջանում, Դեբետ գետի աջ վտակ Ուչքիլիսայի միջին հոսանքում, երկաթուղու Աղթալա կայարանից 9 կմ դեպի արևմուտք. ներկայացված է շտականման հանքամարմիններով, տեղադրված միջին յուրայի քվարցային պորֆիրիտների: մեջ, հազվադեպ պատահում են լայնակի ուղղության երականման զառիթափ հանքամարմիններ, որոնք իրենց մորֆոլոգիայով ավելի մոտ են կանգնած Ղափանին, քան շտոկները:

Հիմնական հանքայնացումը կոնտրոլի է ենթարկվում Հյուսիս-արևելյան ու լայնակի վարնետվածքներով և կենտրոնացված է այդ երկու սիստեմի խախտումների կցվանքներում առաջացած բեկորատման զոնաներում:

Հ. Ստեփանյանի և Ն. Յա. Մոնախովի տվյալներով (23) Շամքուղի հանքանյութերի կազմի մեջ մտնում են՝ պիրիտ, խալկոպիրիտ, բորնիտ, սֆալերիտ, տեննանտիտ, գալենիտ, արծաթ,

մի շարք երկրորդական միներալներ՝ խալկոզին, խալկանտիտ, կովելլին և, վերջապես, ոչ հանքային միներալներ՝ բվարց, սերիցիտ, կառլին, կարբոնատներ, բարիտ, անհիդրիտ և ապատիտ:

Միներալների պարագեննետիկ կոմպլեքսը, ինչպես նաև պարունակող ապաների փոփոխման բնույթը վերոհիշյալ հեղինակներին թույլ է տվել Շամլուղի հանքավայրը վերագրելու հիդրոթերմալ հանքավայրերի մեզոթերմալ կարգին, էպիթերմալին հատուկ որոշ գծերով:

Այսպիսով, Շամլուղի և Ղափանի հանքավայրերի հիմնական նմանությունը կայանում է նրանց հանքանյութերի միներալոգիական կազմության համարյա նույնության մեջ:

Բացի վերը նկարագրված հանքավայրերից, Հայկական ՍՍՌ կան մի շարք մասն նույնատիպ երակային հանքավայրեր, որոնց նկարագրությունն այստեղ չի բերվում:

հ) Մերիսիի հանքավայրը գտնվում է Աջարական ՍՍՌ Մերիսի գետի ավազանում և տեղադրված է միջին էոցենի անդեզիտուֆային ապաներից կազմված խոշոր անտիկլինալիքին ծալքի հայտնաբերություն թեում (5), որը 20—30 աստճ. անկյան տակ ընկնում է գեպի NW 350 աստճ.:

Հանքավայրում հայտնի են մոտ 2 տասնյակ հանքային երակներ, որոնցից հետախոզված են միայն 7-8-ր: Մերիսիի երակներն ունեն զուգահեռ դասավորություն և գտնվում են իրարից 100—200 մ հեռավորության վրա: Նրանց տարածման աղիմուտը տատանվում է N0 60 և S0 110⁰, իսկ անկման անկյունը՝ 40 և 90 աստճ. սահմաններում (սովորաբար զարիթափ է): Երակները տարածման ուղղությամբ ձգվում են 40-ից մինչև 1500 մ, իսկ անկման ուղղությամբ՝ մինչև 300 մ: Երակների միջին հաստությունը տատանվում է 0,20—0,7 մ միջև:

Մերիսիի երակները ներկայացված են՝ բվարցային, երբեմն բվարց-կարբոնատային բրեկչիանման զանգվածով պղնձի, երիաթի, ցինկի ու կապարի ցանի պարունակությամբ:

Վ. Ռ. Նադիրաձեի և Ս. Ֆ. Պարցվանիայի տվյալներով Մերիսիի հանքանյութերը կազմված են՝ պիրիտից, զալինիտից, սֆալերիտից, աւննանտիտից, բորնիտից, կովկասինից, բվարցից, բարիտից և այլն:

Հանքավայրը գենետիկորեն կապված է վերին երրորդական հասակի սինթետ-զիորիտաների ինտրուզիայի հետ և ըստ ի. Ֆ. Գրիգորեի (5) հանդիսանում է Հիդրոթերմալ հանքավայր, առաջացած ոչ բարձր ջերմությունների ու ճնշումների պայմաններում:

Մերիսիի հանքավայրում դիտվում է հանքանյութերի ու էլեմենտների բաշխման ինչպես հորիզոնական, այնպես էլ ուղղաձիգ զոնայականություն:

Այսպիսով, Միրիսիի և Ղափանի հանքավայրերի նման հատկանիշներ են՝ հանքայնացման երակային բնույթը, երակների զուգահեռ դասավորությունը և նրանց զառիթափ անկումը և հանքանյութերի միներալոգիական կազմությունը։ Այդ հանքավայրերի հիմնական տարրերություններն են՝ երակների ավելի մեծ երկարությունը Մերիսիում, պղնձի պարունակության զգալի ցածրությունը նրանց մեջ, և պարունակող ապառների ավելի երիտասարդ հասակը (Էոցին):

Ե) Մեհմանյի հանքավայրերի խումբը (Լեսնային Պարարագ) շատ ընդհանուր գծեր ունի Ղափանի հետ, որոնք Հիմնականում կայանում են հանքամարմինների մորֆոլոգիական նմանության մեջ։

Մեհմանյայի հանքադաշտի գրանողիորիտային ինտրուզիայով ձեղված միջին յուրաքի հրաբխածին հաստվածքում տեղադրված է խալկոպիրիտ-պիրիտային և բազմամետաղ զառիթափ հանքային երակների մի ամբողջ սերիա։

Հանքանյութերը կազմված են՝ պիրիտից, բվարցից, խալկոպիրիտից, մագնետիտից, հեմատիտից, տետրակրիտից և ուր-բազմամետաղ երակների համար առավել բնորոշ են սֆալերիտը, գագենիտը, խալկոպիրիտը, հազվադեպ պիրիտը։ Քվարցը շատ լայն տարածում ունի և կազմում է երակային զանգվածի հիմնական մասը։

Երակները հարում են առավելապես լայնակի ուղղության տեկտոնական ձեղքերին. շատ տարածման նրանք հասնում են 150 մ, իսկ անկման ուղղությամբ՝ 150—180 մ։

Ինչպես երեսում է վերը շարադրվածից, Մեհմանյայի երակներն իրենց միներալոգիական կազմությամբ և պղնձի համեմատաբար

ցածր պարունակությամբ բարվական խիստ կերպով տարբերվում են Շափանի երակներից:

զ) Ետք Հանքավայրերը գտնվում են ԱՄՆ Մոնտանա նահանգում: Այդ Հանքավայրերը թեպետ Հանքանյութերի միներալոգիական կազմությամբ և Հանքայնացման ավելի մեծ մասշտաբով խիստ կերպով տարբերվում են Շափանից, այնուամենայնիվ բավականաշափ ընդհանուր գծեր ունեն վերջինիս հետ:

Վ. Լինդգրենի տվյալներով այդ Հանքավայրերի հանքամարմինները իրենցից ներկայացնում են զառիթափ երակներ և տեղադրված են հիմնականում քվարցային գիորիտների և գրանիտ-պորֆիրների մեջ: «Հանքավայրերն իրենցից ներկայացնում են գլխավորապես պիրիտի տեղակալում երակային ճեղքերի երկացնքով ու պարունակում են պիրիտ էներգիտի հետ, տեսնանատիոն, բորնիտ, խալկոզին, սֆալերիտ և խալկոպիրիտի ու կովելինի ուղղություն: Երակային միներալները միատեսակ են և ներկայացված են քվարցով» (17): Հանքանյութերը տեղադրված են գլխավորապես լայնակի, հազվագեպ հյուսիս-արևելտյան ճեղքերում: Երակները զառիթափ են և սովորաբար ընկնում են դեպի հարավ: Լայնակի երակները երբեմն մոտենալով իրար առաջացնում են «Զիռ պոչի ստրոկտուրա» և ընդհանուր առմամբ շտոկվերկային տիպի հանքայնացում:

Հանքային երակների հաստությունը հասնում է 1—2 մ, երկարությունը՝ սովորաբար մի քանի հարյուր մետրի, իսկ մի շարք դեպքերում այն հասնում է մի քանի կիլոմետրի: Երակային զանգվածում պղնձի պարունակությունը կազմում է մոտ 3—4 տոկոս:

ը) Երանական կարաղաղում (*Դահիր-դադ և Հանքային լեռներ*) հայտնի երակային Հանքավայրերից մի քանիսը (*Օգան-Գուլյան, Մարգանոս*, Այնալի, Աբրաս-Աբագ և ուր.) որոշ ընդհանուր գծեր ունեն Շափանի հանքավայրի հետ:

Ն. Ն. Կուրմակովի և Պ. Վ. Խվանովի տվյալների համաձայն (16) այդ Հանքավայրերի երակները հաճախ ունեն կանոնավոր ձև: Երանց երկարությունը երբեմն հասնում է մի քանի հարյուր մետրի, հաստությունը տատանվում է մի քանի սանտիմետրից մինչև 1—2 մ: Երակները սովորաբար զառիթափ են, աշքի են ընկնում պղնձի բարձր պարունակությամբ, որը տեղ-տեղ հասնում է

25 տոկոսի: Պղնձի երակների միներալոգիական կազմը՝ քվարց, խալքոպիրիտ, բորնիտ, պիրիտ, պիրոտիտ, մոլիբդենիտ և օքսիդացման զոնայի միներալներ: Բազմամետաղային երակները պարունակում են գալենիտ, սֆալերիտ, պիրիտ և հաղվաղեալ խալկոպիրիտ:

Այդ նույն հեղինակների տվյալների համաձայն Կարադաղի հանքավայրերն առաջացել են ինտրուզիաների ու տոփոգին-նըստվածքային ապառների կոնտակտամերձ զոնաներում և հարում են երակային ճեղքերին:

Միներալների պարագենեզից եննելով պետք է ենթադրել, որ իրանական Կարադաղում կան թե կոնտակտ-մետամորֆային և թե հիդրոթերմալ գենեզիսի հանքավայրեր:

VIII. ԿՈՄՍՈՄՈԼԻ ՀԱՆՔԻ ՀԵՌԱՆԿԱՐԵՐԸ ԵՎ ՀԵՏԱԽՈՒԶԱԿԱՆ ԱՇԽԱՏԱՆՔՆԵՐԻ ՈՒՂՂՈՒԹՅՈՒՆԸ

Կոմսոմոլի հանքի հեռանկարների հարցը անհրաժեշտ է քըննարկել հանքաբեր տեղամասի ստրուկտորացին առանձնահատկությունների հետ սերտորեն կապակցված:

Այդ հարցի պարզաբանումն ինքնըստինքան բխում է վերը շարադրված փաստական նյութից և պետք է արտացոլի հանքի հեռանկարները դեպի խորքը և հորիզոնների ուղղությամբ:

Կոմսոմոլի հանքի սահմաններում դիտվում են երակների սեպաձև ընդհատվելու ոչ քիչ օրինակներ ինչպես տարածման, այնպես էլ անկման ուղղություններով: Երակների նման ընդհատումը ցուց տվող նշաններն են՝ նրանց հաստության նվազումը կամ երակային ճեղքերի լրիվ փակվելը, երակների թերքի հարցստացումը պիրիտով ու քվարցով ու սաստիկ ճյուղավորվելը, հանքայնացման ցրվելը և այլն:

Կոմսոմոլի հանքի երակների ճնշող մեծամասնությունը դեպի ներքեւ, մինչև — 100 կամ — 160 հորիզոնները ընդհատվում է, ընդուրում ստորին հորիզոններում դրանք կամ բոլորովին չեն արտահայտվում, կամ թե ներկայացված են բարակ քվարց-սուլֆիդային երակիկներով: Վերը շարադրվածի մասին պերճախոս կերպով վկացում են հետեւյալ թվերը. № 6 հանքի — 40 հորիզոնի 43 երակներից կապիտալ շտունան հատել է միայն 7 երակ՝ № 15, 20,

29, 32, 34, 39, 40 և մի քանի մասը ապոֆիզներ, իսկ մնացած-ները կամ ընդհատվել են, ինչպես օրինակ № 1, 3, 6, 12 ևուր., կամ թե միացել են իրար (№ 14 երակը № 15-ի հետ, № 18-ը № 20-ի հետ և այլն): № 5 հանքի 7 երակից միայն № 4-ն է հասնում մինչև Կապիտալ շտոլնայի հորիզոնը, մնացածներն ընդհատվում են ավելի վերև:

Այսպիսով երակներն անկման ուղղությամբ կամ ընդհատվում են, կամ թե միանում իրար հետ: Չի բացառվում այն հնարավորությունը, որ Կապիտալ շտոլնայով հատված հանքային երակներից առավել փոքրերը որոշ խորության վրա կվերանան, իսկ մեծերը մոտենալով իրար կմիանան և կկազմեն մեկ կամ մի երկու մայր երակ: Հնարավոր է, որ վերջիններս անկման ուղղությամբ հասնեն մինչև հիգրոթերմալ լուծույթների կազմավորման սփերան, որի խորության մասին կարելի կլինի որոշակիորեն խոսել միայն Կապիտալ շտոլնայից ցած շահագործական և հետախուզական աշխատանքների ծավալումից հետո: Անկասկած, մայր երակների իրային կազմը նրանց տարբեր մասերում խիստ փոփոխման կենթարկվի կապված լուծույթների՝ հանքայնացման աղբյուրից անցած հեռավորության, ձեղքառաջացման պարբերական բռնկումների ուժի ու մասշտաբի, միներալիզացիայի ֆազերի վերադրման հետ և այլն: Հավանականությունից հետու չէ այն ենթադրությունը, որ մայր երակները ստորին մասերում խիստ կերպով հարստանան պիրիտով, կամ թե վերածվեն հանքանյութից գերծ քիմիացային երակների:

Եղած փաստերի հիման վրա առայժմ դժվար է ճշտորեն որոշել արդյունաբերական հանքային երակների տարածման սահմանը նրանց անկման ուղղությամբ: Այդ կապակցությամբ Վ. Ն. Կոտլյարը գրում է, «անհասկած հանքանյութերի պաշարների ընդհանուր գնահատականի գեպքում հարկավոր է հաշվի նստել այդ սահմանի հետ և ընդհանրապես նշել այն 200—250 մետրին մոտ շրջանակներում» (14): Վ. Ն. Կոտլյարը այդ կարծիքին է հանգել փաստերի վիճակագրական հաշվարկի հիման վրա:

Անհրաժեշտ է նշել, որ հանքայնացման տարածման խորության հարցի վրա որոշ լույս են սփռում վերջին տարիներա կատարված հետախուզական աշխատանքները: Կապիտալ շտոլնայից փորձած Հորանցքերը 50—60-ից մինչև 80 մ խորության վրա հատել են

Ն 6 Հանքի Ա 29 երակը և նրան ուղեկցող այլ երակներ, ընդորում այդ խորության վրա վերջիններիս հաստությունն առանձնապես շի նվազում, իսկ կազմությունն աչքի է ընկնում պղնձի բարձր պարունակությամբ: Այսպիսով, Ա 29 երակը, որն սկսվում է \pm 0 հորիզոնից փոքր ինչ ներքի և հատվել է կապիտալ շտոլնալից (-160 հորիզոն) մոտ 80 մ ցած, անկման ուղղությամբ տարածվում է 230—240 մ և առաջման ոչ մի հիմք չկա խոսելու նրա ընդհատման մասին: Այստեղից երեսում է, որ Ա 29 երակի հանգուցից համար հանքայնացման տորին առհման պիտք է ընդունել առնվազը -250 , -260 հորիզոնը (Կապիտալ շտոլնալից հորիզոնից մոտ 90—100 մ ցած):

Այստեղ ավելորդ շի լինի նշել, որ հորանցքերի տվյալների համաձայն Կապիտալ շտոլնալից ցած երակները դառնում են ավելի փոքրաթիք: Նրանց անկման անկյունը գնալով ավելի ու ավելի է փոքրանում: Այս հանքամանքը կարող է դիտվել որպես բացասական մոմենտ, քանի որ երակների փոքրաթիք դառնալը առհմարակ նշան է նրանց ընդհատման, եթե ի հարկե, զա չի բացատրվում այս կամ այն խախտման ազգեցությամբ:

Ուշագրավ է այն փաստը, որ Կոմսոմոլի հանքի երակների ստորին մասերում բորիխտի քանակն զգալիորեն ավելանում է, որը և կոմպենսացիայի է ենթարկում պիրիխտի փոքր ինչ ավելի լայն տարածումը:

Հանքայնացման գեպի թեերը տարածման հարցը սերտորեն միահյուսվում է առաջին հերթին ամբողջ հանքարեր տեղամասի ստրուկտորայի հարցի հետ:

Ինչպես նշվել է վերը, Ա 6 հանքի տեղամասը երեք կողմից սեղմանափակվում է, մինչ հանքային խախտումներով՝ «Արևելյան ճյուղով», Հյուսիս-արևելյան վերնետվածրով և Կավարտ-դաշի խախտման զոնայով: Հանքայնացման տարածումը թեերում պայմանավորվում է այդ խախտումների և նրանց հարող հանքային երակների փոխհարաբերությամբ:

«Արևելյան ճյուղին» հարող երակները խիստ կերպով ճյուղավորվում են և ցրվելով, առաջացնում են բրեկշիանման ցանավոր հանքանյութերի զոնա: Դա խոսում է այն մասին, որ նշված խախտման զոնայի պարունակող ապառները հիգրոթերմալ պրոցեսներով սաստիկ փոփոխվելու հետեանքով զրկվել են երակային

ճեղքեր տալու ունակությունից: Ալատեղից կարելի է հետևություն անել, որ «Արևելյան ճյուղի» զոնային հարող երակները դեպի առևմուտք սահմանափակվում են և նշված խախտման զոնայից այն կողմ չեն անցնում: «Արևելյան ճյուղի» զոնայից ցանավոր բրեկ-ժիւռման հանքանյութերը զուրկ չեն արդյունաբերական նշանակությունից և կարող են շահագործման օրեկտ հանդիսանալ:

Նշվող խախտման զոնային շհարող, հանքի կենտրոնական ու Հյուսիսային մասերում գտնվող հանքային երակներն իրենց արեմտյան թևում բարակում են, սաստիկ հարատանում պիրիտով ու քվարցով և համարյա ընդհատվում: Այդ երակների երկարությունը ավելի հարավ տեղադրված երակների համեմատությամբ ավելի մեծ է: Դա բացատրվում է նրանով, որ «Արևելյան ճյուղն» իր հյուսիսային մասում խիստ կերպով շեղվում է դեպի հյուսիսարեմուտք՝ Մեծ-Մաղարայի խախտման կողմը:

Հյուսիս-արևելյան վերնետվածքը, ինչպես ցույց տրվեց վերը, սահմանափակում է երակների տարածումը դեպի հյուսիսարևելք: Դժվար է հաշտվել այն մտքի հետ, որ երակները կարող են անցնել այդ խախտման մյուս կողմը, որովհետեւ նրա էկրանավորող ազդեցությունը շատ ուժեղ է եղել:

Հյուսիս-արևելյան վերնետվածքը 25—45 աստմ. անկյան տակ ընկնելով դեպի հյուսիս-արևելք № 6 հանքի երակներին տալիս է հյուսիս-արևելյան թերում:

Հանքայնացումը սահմանափակելու բնույթով կավարտ-դաշի խախտումը որոշ շափով հիշեցնում է Մեծ-Մաղարայի խախտման «Արևելյան ճյուղը»: Երակները մոտենալով կավարտ-դաշի խախտման զոնային (№ № 1 և 6, ± 0 հորիզոն), խիստ կերպով ճյուղավորվում են, նրանց սովորաբար կազմը վեր է ածվում քվարցացինի և, առհասարակ, հանքայնացման երակային տիպը այդ խախտման զոնայում տեղի է տալիս ցրված հանքանյութերի, որոնք որոշ տեղեր, անկասկած կարող են շահագործման օրեկտ հանդիսանալ:

Ինչ վերաբերում է կավարտ-դաշի խախտման զոնայից հարավ-արևելք ընկած տեղամասին, ապա այն զուրկ չէ հեռանկարներից և արժանի է ուշադրության: Այդտեղ չի բացառվում երակային տիպի և ցրված հանքանյութերի հանդիպման հնարավորու-

թյունը, որոնք արդեն կալատկանեն ինքնուրույն հանքաբեր բլոկի և № 6 հանքի հետ ոչ մի կապ չեն ունենալ:

№ 6 հանքի ամենամեծ հեռանկարներ ունեցող տիղամասը պետք է համարել նրա հյուսիս-արևելյան մասը, սկսած — 100 հորիզոնից մինչև Կապիտալ շտոլնայի հորիզոնը և ավելի ցած, ինչպես նաև հանքի այն մասը, որը պարփակված է «Արևելյան ճյուղի» և Հյուսիս-արևելյան վերնետվածքի միջև կազմված անկյունում, որտեղ կարող են նոր, սակայն կարճ կույր երակներ պատահել:

Հանքային երակները հյուսիս-արևելյան թեքման հետևանքով Կապիտալ շտոլնայի հորիզոնում պետք է ավելի երկար լինեն: Եթե ի նկատի ունենանք — 100 և — 160 հորիզոնների բարձրության տարբերությունը՝ 60 մ, Հյուսիս-արևելյան վերնետվածքի անկյման անկյունը՝ 45 աստճ., ապա երակների երկարությունը — 160 հորիզոնում դեպի արևելք պետք է ավելանա ավելի քան 60 մ, այլ կերպ ասած տվյալ վերնետվածքը Կապիտալ շտոլնայի հորիզոնում — 100 հորիզոնի համեմատությամբ մոտ 60 մ պետք է ավելի արևելք գտնվի:¹

Ինչ վերաբերում է երակների արևմտյան թևի հեռանկարների հարցին Կապիտալ շտոլնայի հորիզոնում և ավելի ցած, ապա այն կախված է «Արևելյան ճյուղի» վարքագծից: Եթե այդ խախտումը համար մինչև Կապիտալ շտոլնայի հորիզոնը, որ շատ հավանական է, ապա հանքային երակները դեպի արևմուտք երկար տարածվել չեն կարող, հակառակ դեպքում երակներն իրենց ձանապարհին ոչ մի արգելքի շանդիպելով, կարող են հասնել մինչև Մեծ-Մաղարայի խախտման զոնան: Այս դեպքում երակների արևմտյան թևի հեռանկարները զգալիորեն կմնանան: Տվյալ հարցը դեռ կարու է պարզաբանման և այն կլուծվի հետագա հետախուզական աշխատանքների լույսի տակ:

№ 5 հանքի սահմաններում Մեծ-Մաղարայի և Բաշքինդի խախտումների զոնաներին հարող աշդեն հայտնի և շահագործված երակների թևերը առանձնապես ուշադրության արժանի չեն:

№ 5 հանքում մեր կարծիքով ամենամեծ հեռանկար ունեցող

1 1946 թ կատարված աշխատանքները ցույց տվին, որ այդ վերնետվածքը զանգում է ավելի քան 100 մ դեպի արևելք, նշանակում է, նրա անկյան անկյունը դեպի ներքե զգալիորեն փոքրացել է. Ա. Ք.

տեղամաս պետք է համարել նրա Հյուսիս-արևմտյան մասը, որն ընկած է Բաշքենդի և Մեծ-Մազարացի խախտումների միջև: Նըշ-ված տեղամասն ունի նպաստավոր գեղողոգիական պայմաններ և անտարտակույս արժեն, որ հետախուզման ենթարկվի, մանավանդ որ այդտեղ տեղադրված են «Բեյուկ» և «Լավասով» հին հանքերը:

Վերը նշված հեռանկարային տեղամասերը հետախուզելու նպատակով անհրաժեշտ է շարունակել Կապիտալ շտոլնան, մասսամբ № 6 հանքի Հյուսիսասին կվերշլազը, ընդհուպ մինչև Հյուսիս-արևելյան վերնետվածքը, այնուհետև հատված երակները հետախուզել շտրեկներով: Կապիտալ շտոլնացից ցած հատված եւ բակները շահագործելու համար անհրաժեշտ է կառացել նոր հանքահոր:

№ 5 հանքի սահմաններում առաջին հերթին անհրաժեշտ է մոտենալ «Բեյուկ» և «Լավասով» հին հանքերի տեղամասին և հետախուզել Մեծ-Մազարայի ու Բաշքենդի խախտումների միջև պարփակված նրան հարող ամբողջ շրջանը:

Ինչ վերաբերում է Կավալրո-դաշից դեպի հարավ-արևելք ընկած շրջանին, ապա այն պետք է հետախուզել լեռնային փորձածքներով (№ 6 հանքի \pm 0 հորիզոնից) և հորանցքերով:

IX. ՀԻՄՆԱԿԱՆ ԵԶՐԱԿԱՅՈՒԹՅՈՒՆՆԵՐ

Նախորդ գլուխներում շարագրված ամբողջ փաստական նյութի վերլուծության հիման վրա կարելի է անել հետեւալ հիմնական եղանակացությունները:

1. Ռափանի հանքավայրի Կոմսոմոլի հանքի հանքայնացումը տեղայնացված է ստորին յուրայի հրաբխածին ապառների հաստվածքի վերին հորիզոնների մեջ, որոնք արանսգրեսիվ կերպով ծածկված են միջին՝ յուրայի ապառներով: Հանքաբեր ապառները ներկայացված են քարցային և պլագիոկլազային պորֆիրիտներով և նրանց տուփորբեկչեաներով: ու տուփերով:

2. Հանքավայրի հիմնական ստրուկտորային էլեմենտներն են Ողի-կոտանանի անտիկլինը, որի հյուսիս-արևելյան թևում տեղադրված է գլխավոր հանքայնացումը և մինչհանքային, հանքայնացման շրջանի ու հետհանքային հասակի խոշոր դիզյունկատիվ խախտումները:

Յ. Մինչհանքային հասակի խոշոր խախտումները բացառիկ կարենը դեր են կատարել, ինչպես ամբողջ հանքավայրի, այնպես էլ Կոմսոմոլի հանքի ձևավորման գործում: Այդ խախտումները հիգրոթերմերի համար համարյա անհաղթահարելի արգելակներով՝ էկրաններով կամ ամբողջապես փոփոխված ապառների լայն դռնաներով շրջափակելով հանքագաշտի առանձին տեղամասեր, շնորհիվ տարածության մեջ գրաված իրենց նպաստավոր գիրքի, հանքաբեր լուծությներին ուղղություն են տվել, ստիպել կենտրոնանալ որոշ հանքային բլոկների մեջ:

Նման նպաստավոր ստրուկտուրային էլեմենտների՝ մինչհանքային խախտումների բացակայության գեղքում հանգանյութերը կցովիին ամբողջ պարունակող ապառներով մեկ և արդյունաբերական կուտակումներ չեն առաջացնի:

№ 6 Հանքի տեղամասը սահմանափակված է երեք մինչհանքային խախտումներով՝ Հյուսիս-արևելյան վերնետվածքով, Կավարտ-գաշի և Մեծ-Մաղարայի խախտման «Արևելյան ճյուղի» զոնաներով:

№ 5 Հանքի տեղամասը շրջափակվում է Բաշքենդի, Արևելյան Սայադ-դաշի և Մեծ-Մաղարայի խախտումներով:

4. Մեծ-Մաղարայի խախտման զոնան հանդիսանում է ոչ թե հանքաբեր կանալ, ինչպես պնդում էին նախորդ հետազոտողները, այլ յուրատեսակ մի էկրան, հիգրոթերմերի համար մի անթափանց արգելակ, որն իր «Արևելյան ճյուղի» հետ միասին սահմանափակել է երակային ճեղքերի, հետևաբար և հանքային երակների զարգացումը, երակներ, որոնք հարում են նրանց ինչպես առելքից (№ 6 Հանքի երակներ), այնպես էլ արևմուտքից (№ 8 Հանքի երակներ):

5. Հանքաբեր կանալների դերում հանդես են եկել հենց իրենք մայր երակները և ընդհանրապես ամբողջ հանքային բլոկը սպոնզոֆի պես ներծծել է մետաղակիր հիգրոթերմերը: Վերջիններիս ձևավորման սփերային հարող ամենամեծ երակային ճեղքերով կատարվել է Կոմսոմոլի հանքի տեղամասի հիմնական սնումը հանքանյութերով: Այդ ճեղքերով տեղի է ունեցել ոչ միայն հիգրոթերմերի սոսկ շրջանառություն, այլև նրանց վերաբաշխում հարակից ավելի մասը ճեղքերի միջև:

№ 6 Հանքի երակների դասավորությունը, առանձնապես № 29

Երակի հանգուցի դիրքը, հանգուց, որտեղ միաձուլված են հանգը՝ ամեն ախոշոր երակները, լրիվ ու պարզ պատկերացում է տալիս մայր երակների դերի ու հանքաբեր լուծույթների նրանց միջոցով կատարված վերաբաշխման մասին:

Հիդրոթերմալ լուծույթների վերելքը հավանաբար կատարվել է մայր երակների ոչ ամբողջ երկարությամբ և ոչ միենույն մասով։ Հանքաբեր լուծույթների վերելքն ամբողջապես ենթարկված է եղել ճեղքերի գարգացման դինամիկային, որի հետ կապված հաճախ փոխվել է թե՝ լուծույթների շարժման ուղղությունը և թե նրանց քանակը։

№ 6 հանքի սահմաններում, համենայն դեպք մինչ այժմ հետախուզված հորիզոններում, լուծույթների շարժումը տեղի է ունեցել արևելքից արևմուտք, իսկ № 5 հանքի սահմաններում՝ արևմուտքից արևելքից։ Դրանում մեզ համոզում է հանքանյութերի իրային կազմի անալիզը, նրանց տեղաբաշխումը երակային ճեղքերում, հանքամարմինների մորֆոլոգիան և այլն։

6. Երակային ճեղքերը պատկանում են պրկման ճեղքերին և առաջացել են ոչ միանգամից, ոչ մի ֆազում, այլ ապրել են ձևավորման բավականաշափու բարդ, բազմիցս վերանորոգվող պրոցես։ Ճեղքառաջացման պրոցեսի պարբերական բռնկումները հետևանք են եղել լեռնակազմական ուժերի կրկնվող գործունեության։ Ճեղքառաջացման յուրաքանչյուր բռնկման ժամանակ առաջացել են նոր, կամ թե բացվել ու ավելի լայնացել են մինչ այդ ժագած ճեղքերը, ընդորում նոր պրոցեսը կախված իր մասշտաբից ու լարվածության ուղղությունից ընդգրկել է մեծ կամ փոքր տարածություն։ Ճեղքերի կրկնակի բացում տեղի է ունեցել որոշ տեղամասերում և ոչ բոլոր ճեղքերն են բացվել ու լայնացել, դեռ ավելին, նույնիսկ միենույն ճեղքը իր ոչ ամբողջ երկարությամբ է արձագանքել ճեղքառաջացման նոր պրոցեսին։

7. Երակային ճեղքերի ձևավորման պուլսացիոն բնույթը փոխանցվել է նաև հանքայնացման պրոցեսին։ Հանքաբեր լուծույթները մուտք են գործել հանքաբաշտ երակաբառե ժամանակամիջոցում և ընդմիջումներով. այդ լուծույթների ներհոսքը վերսկսվել է ճեղքառաջացման ամեն մի նոր բռնկումից հետո։ Դրանով էլ բացատրվում է մի քանի գեներացիաների հանքանյութերի առկայությունը Կոմսոմոլի հանքում, ընդորում միներալիզացիայի

ֆազերը և նրանց տված հանքանյութերը սովորաբար բարդվել են իրար փրա:

Միներալիզացիայի ամեն մի ֆազ բնորոշվում է միներալների տրուցն կօմպլիքով. այդ հանդամանքը խոսում է ժամանակի ու տարածության մեջ հանքը սնող հիդրոթերմերի քիմիզմի, չերմության ու այլ հատկանիշների փոփոխման մասին: Կոմսոմոլի հանքի սահմաններում տեղի է ոնեցել միներալիզացիայի 6 ֆազ:

8. Կոմսոմոլի հանքի և առհասարակ հանքավայրի համար բնորոշ են համեմատաբար ոչ մեծ չափերի (մինչև 250—300 մ տարածման, 150—200 մ անկման ուղղություններով և 15—30 սմ հաստությամբ), բայց պղնձի բարձր պարունակություն ունեցող խիստ զարիթափ երակներ, որոնց մեջ գերակշռում են լայնակի տարածում ունեցողները:

Ցանավոր հանքայնացումը դիտվում է միայն մինչհանքային խոշոր խախտումներին հարող առանձին երակների թերում և իր առաջացմամբ պարտական է բեկորատված, հիդրոթերմերով համարյա ամրողապես փոփոխված ապառների քիմիական տեղակալմանը: Հիդրոթերմերը թափանցել են հիշյալ մինչհանքային խախտումների զոնաները փոքր ճեղքերով, ծերպերով ու ծակոտիներով և շարժվել են երակային ճեղքերից դեպի նրանք:

9. Կոմսոմոլի հանքի հանքանյութերը իրենց կազմությամբ դասակարգվում են 4 տիպի՝ ծծումբերուշեդանային, պղինձ-ծծումբերուշեդանային, պղինձկոլշեդանային և բորնիտացին: Երկրորդ տիպի հանքանյութերը ճնշող գերակշռություն են կազմում և հանդիսանուած են հանույթի հիմնական օբյեկտ:

Հանքանյութերի համար նշվում է հիմնականում բյուրեղային և կոլլոմորֆ ստրոկտուրաներ. կոլլոմորֆ ստրոկտուրան խիստ կերպով գերակշռում է և առաջացել է բյուրեղային ստրոկտուրաներից ավելի ուշ:

10. Օքսիդացման զոնան կոմսոմոլի հանքում, ինչպես նաև ամբողջ հանքավայրում շատ թույլ է արտահայտված:

11. Կոմսոմոլի հանքը աղքատ է գետնաջրերից, սակայն վերջիններս սնցնելով հանքաբեր ապառներով և հանքամարմինների ժողով, իրենց լուծում են երակթի ու պղնձի միացություններ և ձեռք են բերում այնպիսի առանձնահատկություններ (թթվու-

թյուն, մետաղների պարունակություն և այլն), որոնք կարող են օգտակար լինել նոր հանքամարմիններ որոնելու տեսակետից:

12. Ջափանի հանքավայրն ամենայն հավանականությամբ գինետիկորեն կապված է Երոդիայով դեռ նոր մերկացվող երրորդական գրանողիորշատային (?) ինտրուզիայի հետ, որի դերիվատներն են հանքադաշտում նշվող ալբիտոֆիբրների, քվարցային պորֆիրների ու այլ ապառների մասն ինտրուզիաները:

13. Ջափանի հանքավայրն իր յուրատեսակ առանձնահատկություններով նմանատիպ հանքավայրերի շարքում գրավում է իր որույն տեղը: Իրենց նմանությամբ որոշ չափով Ջափանին մոտենուած են Հայկական ՍՍՌ Չաղիձորի, Շահալի-Ելիարի (երակային մաս), Ալավերդու և Շամլուզի (միայն հանքանյութերի տիպով) հանքավայրերը, Մերիսիի հանքավայրը Աշարական ԱՍՍՌ-ում, նշանավոր Բայթ հանքավայրերն Ամերիկայում և այլն:

ЛИТЕРАТУРА

1. Апресов С. М. Перспективы медной промышленности на Кавказе, 1919. «Нефтяное дело» № № 3-4 и 5-6.
2. Ванюшин С. С. и Прокопенко Н. М. Геологические материалы к промышленной оценке старых рудников Хазна-Гюней и Чеймазиди-Пагалты в Зангезурском месторождении. Рукопись, фонд Кафанской ГРП, 1942.
3. Германов А. И. Краткий отчет за 1946 г. по теме «Гидрохимия медноколчеданных месторождений Малого Кавказа, как поисково-разведочный критерий». Москва, МГРИ.
4. Горный промысел на Кавказе в 1889 и 1890 г. г. «Горный журнал», 1890 и 1893.
5. Григорьев И. Ф. Медные и свинцово-цинковые месторождения района с. с. Мериси и Вайо в Аджаристане. Изв. Геолкома, 1929, т. X-XIII, № 1.
6. Грушевский В. Г. Краткий очерк металлогенеза Закавказья «Проблемы советской геологии» № 10, 1935.
7. Грушевский В. Г. Алaverдское медное месторождение в Закавказье (его породы, руды и генезис). Труды Института цветных металлов, 1930.
8. Додин А. А. Геологическое строение и рудоносность Зангезурского района (Армения). Труды ЕСГЕИ, вып. 133, 1940.
9. Карапетян О. Т. Краткий очерк развития горного дела на Кавказе. «Кавказский вестник», № 1, 1901.

10. Иессен А. А. К вопросу о древнейшей металлургии меди на Кавказе. Изв. Гос. Ак. истории материальной культуры, вып. 120, 1935.
11. Коншин А. Отчет об исследовании медных месторождений Зангезурского уезда, Елизаветпольской губернии (Материалы для геологии Кавказа, серия 2, кн. 4, 1899).
12. Конюшевский Л. К. Отчет о геологических исследованиях месторождения медных руд в Зангезурском уезде Елизаветпольской губернии. «Материалы для геологии Кавказа», серия 3, кн. 10, 1911.
13. Котляр В. Н. Структура Зангезурского рудного поля «Изв. АН СССР» серия геологич. № 2, 1938.
14. Котляр В. Н. и Додин А. Л. Зангезур (Зангезурское медное месторождение в Армении), 1936. Фонд Ин-та геол. наук АН Арм. ССР.
15. Փայտրյան Ա. Ե. Ղափանի հանքավայրի Կոմիտեի հանքի սպրուկտուրայի մասին: Հայկական ՍՍԻ ԳԱ «Տեղեկագրեր», № 2, 1946:
16. Курмаков Н. Н. и Иванов Д. В. Карадагские рудные месторождения, 1902. Изд. Горно-промышлен. т-ва, инж. Горяйнов А. М. и Енакиев Ф. Е.
17. Линдгрен В. Минеральные месторождения, вып. I и III, 1935.
18. Магакян И. Г. Отчет о шлиховой съемке и поисковых работах на редкие металлы в северных районах Арм. ССР, 1945. Фонд Ин-та геол. наук АН Арм. ССР.
19. Меллер В., Денисов и др. Полезные ископаемые и минеральные руды Кавказского края. Вып. 1, 1917. Изд. Кавк. горн. управл.
20. Минералы СССР. т. II под ред. А. Г. Бетехтина, 1933.
21. Писсян Г. А. Отчет по Шагали-Элиарскому месторождению за 1933 г. Фонд Арм. ГГУ.
22. Прокопенко Н. М. Геохимическая характеристика Зангезурского медно-полиметаллического месторождения. 1943. Рукопись, фонд Арм. ГГУ.
23. Русаков М. П., Грушевой В. Г. Зангезур, его геолого-промышленное лицо и перспективы. «Разведка недр» № 19 и 20, 1934.
24. Шутлив В. Ф. Зангезурское медно-полиметаллическое месторождение Армении. Труды МГРИ, т. 20, 1940.
25. Эри А. Геологическое исследование Катар-Кавартского месторождения медных руд Закавказского уезда Елизаветпольской губернии. «Матер. для геол. Кавказа», серия III, кн. 9, 1910.

А. Е. КОЧАРЯН

КОМСОМОЛЬСКИЙ РУДНИК КАФАНСКОГО МЕСТОРОЖДЕНИЯ
МЕДИ

Резюме

Кафанское месторождение находится в юго-западной части Армянской ССР, в Кафанском районе и расположено в междуречьях среднего течения р. Вахчи и ее левого притока р. Халадж. Комсомольский рудник расположен в 3 км к северу от гор. Кафан и занимает северную часть рудного поля.

Комсомольский рудник является одним из наиболее крупных на месторождении и об'единяет в себе 2 рудника — № 5 и № 6.

Оруденение Кафанского месторождения и Комсомольского рудника в частности приурочено к северо-восточному крылу Вахчи-Хотананской антиклинальной складки, сложенный нижнеюрской вулканогенной толщей, трансгрессивно перекрываемой породами среднеюрского возраста.

Рудные тела развиты преимущественно в верхних горизонтах нижнеюрской вулканогенной толщи, представленной кварцевыми и плагиоклазовыми порфиритами, их туфами и туфобрекчиями, причем нигде они не встречаются в участках, непосредственно прилегающих к границе нижне- и среднеюрской толщ. Рудовмещающие породы очень часто почти напело гидротермально изменены.

Толща вулканогенно-осадочных пород рудного поля Кафанского месторождения прорвана мелкими интрузиями кварцевых диоритов, габбродиоритов, кварцевых порфиров, кварцевых альбитофоров, долеритов, дайками диабазов послерудного возраста и др. пород.

В районе месторождения местами наблюдаются аллювиально-делювиальные отложения и базальтовые лавы четвертичного возраста.

Основными структурными элементами Кафанского месторождения являются:

1. Вокчи-Хотананская антиклинальная складка, ось которой простирается на СЗ 320–340° и проходит по западной части рудного поля. Северо-восточное крыло ее падает под углом 15–35°, а юго-западное под углом, варьирующим в пределах от 30–40 до 70°;

2. Диз'юнктивные нарушения дорудного, интрапрудного и послерудного возрастов. Дорудные нарушения взбросового и сбросо-сдвигового характеров разбили рудное поле на ряд блоков, внутри которых развилась система более мелких трещин. Зоны или плоскости крупных дорудных разломов ограничивали развитие жильных трещин и распространение рудоносных растворов внутри отдельных блоков, обусловив образование участков с благоприятными для рудоотложения структурами.

Интрапрудные и особенно послерудные нарушения в формировании месторождения играли подчиненную роль.

Из крупных дорудных нарушений в строении Комсомольского рудника участвуют:

а) Северо-восточный взброс—резко ограничивает распространение рудных жил рудника № 6 на северо-восток, простирается на СЗ 300–335°, падает на СВ 25–45°.

б) Восточно-Саяндашский взброс—протягивается от рудника № 7–10 до рудника № 1–2; простирается на СЗ 330–345°, падает на СВ 35–85°. Этот взброс для локализации оруденения рудника № 7 играл роль экрана. Однако, его экранирующее воздействие к юго-востоку постепенно ослабело, рудоносные растворы проникли через него и в висячем боку образовали промышленные концентрации меди (жила № 2 bis —9 рудника № 5).

в) Башкендский разлом—с северо-запада ограничивает жилы рудников № № 3, 4 и 5. По данным В. Н. Котляра этот разлом проходит восточнее с. Башкенд, на северо-востоке доходит до Башкендского ручья и скрещивается с Мец-Магаринским разломом. К юго-западу Башкендский разлом протягивается до рудника № 10. Он простирается на СВ 55–75°, падает на СЗ 18–40°.

г) Каварт-дашский разлом—с юго-востока ограничивает жилы рудника № 6; сопровождается широкой зоной раздробленных и нацело гидротермально измененных пород, содержащих прожилково-вкрашенное медное оруденение. Разлом этот начинается у Кавартского верхнего родника, проходит через вершину Каварт-даш и доходит до отрога Кейвани-замы. Каварт-дашский разлом простирается на СВ 30–70° с направлением падения то на ЮВ, то на СЗ. Угол падения обычно крутой.

д) Мец-Магаринский разлом—протягивается от гор.

Кафан почти до Норашеникской гряды. В пределах Комсомольского рудника он ограничивает развитие жильных трещин, следовательно, и жил рудника № 5 на восток. Мец-Магаринский разлом имеет близмеридиональное простиранье и крутое падение на восток.

«Восточный шов» Мец-Магаринского разлома — преградил путь циркулировавших в пределах рудника № 6 рудоносных растворов на запад. «Восточный шов» представляет собой систему трещин, простирающихся на СЗ 315—360° с падением на восток и северо-восток. Угол падения их варьирует в пределах 50—90°, в среднем же он порядка 60°. Разлом этот на северо-западе, за пределами рудника № 6, соединяется с Мец-Магаринским разломом.

Помимо вышеуказанных, в пределах рудного поля Кафанско-го месторождения имеется ряд других нарушений, которые не-посредственного участия в строении Комсомольского рудника не принимают. Среди них наиболее крупными являются Кавартсуй-ский и Кавартский взбросы. Первый проходит вдоль рч. Каварт, а второй — к северо-востоку от с. Каварт.

Жильные трещины, являющиеся трещинами растяжения, также имеют дорудный возраст, однако их раскрытие происходило в период минерализации и имело довольно сложный, пульсирующий характер. Формирование жильных трещин продолжалось долго, вплоть до затухания гидротермальной деятельности. Рудо-отложения всецело подчинялись динамике развития жильных трещин.

В Комсомольском руднике наблюдаются две системы жильных трещин — близширотные и меридиональные. Последние играют подчиненную роль и развиты только в руднике № 6.

Из послерудных нарушений наиболее крупным является Комсомольский разлом, проходящий почти на границе рудников № № 5 и 6; под острым углом он пересекает зоны Мец-Магаринского разлома и его «Восточного шва». Комсомольский разлом простирается на СЗ 340—360°, падает на восток—северо-восток, нередко на запад под углом 80—90°; угол падения иногда снижается до 50° (уровень Капитальной штольни).

Помимо этого разлома, в руднике № 5 имеется ряд послерудных нарушений сравнительно мелкого масштаба. Мелких трещин послерудного возраста очень много, они скуют рудные жилы, местами смешают их обычно на 0,5—6 м, только в руднике № 5 по жиле № 4, по данным В. Н. Котляра, наблюдается одно крупное нарушение с амплитудой 24 м в горизонтальном направлении.

Кафанская месторождение считается классическим типом

жильных месторождений. Однако, следует отметить, что выявленные за последние годы значительные запасы промышленных прожилково-вкрапленных руд (рудник № 7–10 и др.) несколько расширяют понятие о морфологическом типе месторождения.

Для Кафанского месторождения типичны крутопадающие жилы сравнительно небольшого размера (до 250–300 м по простиранию, 150–200 м по падению и в среднем 0,15–0,30 м по мощности), но с высоким содержанием меди. Эти жилы представляют собой рудные тела типа «заполнения трещин», обладают обычно резкими, но далеко не прямолинейными границами.

Рудные жилы перед крупными дорудными разломами, сопровождающимися зоной нацело гидротермально измененных и раздробленных пород, сильно разветвляются, разбиваются на целый ряд жилок и прожилков и, в конечном итоге, приводят к образованию прожилково-вкрапленных руд. Жилы нередко соединяются между собой как по простиранию, так и по падению, или скрещиваются и образуют отдельные рудные узлы (рудный узел по жиле № 29 рудника № 6).

Минералогический состав жил Комсомольского рудника: халькопирит, пирит, борнит и теннантит. В незначительном количестве встречаются также сфалерит, энаргит, галенит и ряд вторичных минералов (халькозин, ковеллин, лимонит и др.). Из жильных минералов встречаются кварц и кальцит.

В Комсомольском руднике выделены 4 типа руд: сернокоаченный, медно-серноколчеданный, медноколчеданный и борнитовый; последний, в свою очередь, делится на 3 подтипа – пирит-борнитовый, борнит-халькопирит-теннантитовый и борнит-энаргитовый. Наибольшее значение имеют медно-серноколчеданный и медно-колчеданный типы руд.

По текстуре руды подразделяются на массивные, продольнополосчатые, вкрапленные и брекчиивидные.

По структуре различаются колломорфные и кристаллические руды.

Рудоподводящие каналы были расположены внутри блоков, ограниченных крупными дорудными разломами и ими являлись наиболее значительные жильные трещины, через которые происходил подъем рудоносных растворов, выполнивших как сами «материнские» трещины, так и другие, сопряженные с ними.

Крупные дорудные разломы существенной роли в качестве рудоподводящих каналов не играли, а через Мец-Магаринский разлом, вопреки взглядам предшествующих исследователей Кафанского месторождения, по крайней мере в пределах Комсомольского рудника, рудоносные растворы не поднимались.

В Комсомольском руднике имели место 6 фаз минерализации, тесно связанные с фазами трещинообразования. Каждая фаза характеризуется своеобразным комплексом минералов, так как гидротермальные растворы подвергались сильным изменениям как во времени, так и в пространстве. Первые перции гидротерм имели сравнительно высокую температуру, большую подвижность и отличались небольшим содержанием рудных компонентов; с течением времени гидротермы становились более вязкими, коллоидными и обогащались металлами, последние же порции их содержали незначительное количество рудных компонентов, поэтому промышленных концентраций меди не образовали.

Для Комсомольского рудника главными фазами являются III и IV, давшие в основном колломорфные медно-серноколчеданные, медноколчеданные и борнитовые руды.

Кафанское месторождение генетически связано с гранитоидами, не вскрытыми в пределах рудного поля эрозией (интрузия переходная от криптобатолитовой к акробатолитовой области), сателлитами которых являются кварцевые диориты, габбро-дисериты, кварцевые порфиры, кварцевые альбитофиры и др., обнажающиеся на поверхности.

Судя по аналогии с Конгуро-Алангезским интрузивом, существо Кафанскоего месторождения имеет возраст не древнее эоценена и не моложе плиоцена.

По парагенезису минералов месторождение относится к переходному от мезотермального к эпитетермальному типу гидротермальных месторождений.

По сочетанию исключительного богатства руд медью с классической морфологией трещинных жил и зонами прожилковово-вкрашенных руд Кафанскоое месторождение является уникальным и не имеет аналогов.

По морфологии трещинных жил оно близко к знаменитым месторождениям Вито в США, а по особенностям минералогического состава — к некоторым месторождениям Алавердской группы в Арм. ССР.



ՑԱՆԿ

Հեղինակի կողմից	3
I. Նախաբան	5
II. Կոմսոմոլի հանքի տեղամասի գեոլոգիական կառուցվածքը	8
Ա. Ստրատիգրաֆիա և լիթոլոգիա	8
Բ. Ստրուկտուրա	26
III. Հանքամարմինների մորֆոլոգիան	46
IV. Հանքանյութերի տիպերը, նրանց ստրուկտուրան և աեքստուրան	64
V. Հանքանյութերի միներալոգիական բնութագիրը	72
VI. Դափանի հանքավայրի և կոմսոմոլի հանքի գենեզիսը	87
VII. Դափանի հանքավայրի համեմատությունը ուրիշ նույնատիպ հանքավայրերի հետ	103
VIII. Կոմսոմոլի հանքի հետանկարները և հետախուզական աշխատանքների ուղղությունը	109
IX. Հիմնական եղբակացություններ Քրականություն	114 118
Резюме	120



ՏԵԽՆԻԿԱԿԱՆ ԽՄԲԱԳԻՐ՝ Ա. ԿԱՓԼԱՆՅԱՆ
ՍՐԲԱԳՐԻԶ՝ Ա. ԱՐԶԱՔԱՆՅԱՆ

Հանձնված է արտադրության 27/1 1948 թ., սոսուրագըրված է տպելու 26/1V
1948 թ., վ. 02786, պատվեր 55, հրատ. 514, տիրաժ 1000, 3 տպագր,
մամուլ, մեկ մամ. 36480 տպանիշ

Հայկական ՍՍԲԴ ԳԱ տպարան, Երևան, Աբովյան 104



ԳԱԱ Հիմնարար Գիտ. գրադարան



FL0010915

ԳԻՒԾ 6 Ա. 604.

A — ¹¹
15608